

TERAS ÇATI DÖŞEMELERİNDE BETON,
DUVAR, YALITIM MALZEMESİ ISI
İLETKENLİKLERİNİN DEĞİŞİMİNİN ISI
KÖPRÜSÜ DAVRANIŞINA ETKİSİ
Adem BAKİŞ
Yüksek Lisans Tezi
İnşaat Mühendisliği Anabilim Dalı
Danışman: Yrd. Doç. Dr. Güler GAYGUSUZOĞLU

2011

T.C.

NAMIK KEMAL ÜNİVERSİTESİ

FEN BİLİMLERİ ENSTİTÜSÜ

YÜKSEK LİSANS TEZİ

TERAS ÇATI DÖŞEMELERİNDE BETON, DUVAR, YALITIM MALZEMESİ İSİL
İLETKENLİKLERİNİN DEĞİŞİMİNİN ISI KÖPRÜSÜ DAVRANIŞINA ETKİSİ

Adem BAKIŞ

İNŞAAT MÜHENDİSLİĞİ ANABİLİM DALI

DANIŞMAN: Yrd. Doç. Dr. Güler GAYGUSUZOĞLU

TEKİRDAĞ-2011

Her hakkı saklıdır

Yrd. Doç. Dr. Güler GAYGUSUZOĞLU danışmanlığında, Adem BAKİŞ tarafından hazırlanan bu çalışma aşağıdaki juri tarafından. İnşaat Mühendisliği Anabilim Dalı'nda Yüksek Lisans tezi olarak kabul edilmiştir.

Juri Başkanı : Yrd. Doç. Dr. Güler Gaygusuzoglu, İmza :

Üye : Yrd. Doç. Dr. Esma Mihlayonlar

İmza :

Üye : Yrd. Doç. Dr. Zehriye Aydin

İmza :

Üye :

İmza :

Üye :

İmza :

Günay
SSC
Atayay

Fen Bilimleri Enstitüsü Yönetim Kurulunun tarih ve sayılı
kararıyla onaylanmıştır.

.....
Enstitü Müdürü

ÖZET

Yüksek Lisans Tezi

TERAS ÇATI DÖŞEMELERİNDE BETON, DUVAR, YALITIM MALZEMESİ İSİL İLETKENLİKLERİNİN DEĞİŞİMİNİN ISI KÖPRÜSÜ DAVRANIŞINA ETKİSİ

Adem BAKIŞ

Namık Kemal Üniversitesi
Fen Bilimleri Enstitüsü
İnşaat mühendisliği Anabilim Dalı

Danışman: Yrd. Doç. Dr. Güler GAYGUSUZOĞLU

Bu çalışmada, betonarme iskelet taşıyıcı sistemin kullanıldığı binaların teras katlarında duvar-döşeme-kiriş birleşimlerinin oluşturduğu ısı köprülerinin davranışları, betonun, duvarın ve yalıtmının ısil iletkenliği katsayısı olan λ değerleri değiştirilerek, incelenmiştir. Bu amaçla sonlu elemanlar metodunu kullanan, QuickField 5.1 programında duvar-kiriş-döşeme birleşimlerinde sıcaklık ve ısı akısı dağılımları, değişik yalıtım durumlarında, birinci derece gün bölgesi için sıvalı durum göz önüne alınarak hesaplamalar yapılmıştır.

Bölüm 2'de ısı iletim çeşitleri ve ısı köprüleri ile ilgili genel bilgiler verilmiştir. Bölüm 3'te TS 825 Binalarda Isı Yalıtım Kuralları Standardında açıklanan hesap metodu hakkında bilgi verilmiştir. Bölüm 4'te ise hesaplamalarda kullanılacak QuickField paket programı hakkında bilgi verilmiş ve teras katlar için kesitlerin tanıtımı yapılarak hesaplamalara geçilmiştir. Sonraki bölümde ise hesap sonuçları ve değerlendirmesi yapılmıştır. Sonuç ve öneriler ise en son bölümde verilmiştir. Teras kat döşemelerinde beton, duvar ve yalıtmının ısil iletkenliklerinin değişimleri durumunda ısı köprüsüne ait parametrelerin hesaplanması için kullanılan çizelgeler ise Ekler bölümünde verilmiştir.

Bu çalışmanın sonuçları ile, teras katlarda, betonun, duvarın ve yalıtmının ısil iletkenlik değerlerindeki değişimin ısı köprülerinde gösterdiği davranışların iki boyutlu halde nasıl değiştiği görülmektedir.

Anahtar kelimeler: Isı köprüsü, teras kat, ısı parametrelerinin değişimi, ısı akısı

ABSTRACT

Master's Thesis

PAVEMENT ROOF TERRACE CONCRETE, WALLS, INSULATION HEAT MATERIAL
CHANGE CONDUCTIVITIES EFFECT OF THERMAL BEHAVIOUR OF BRIDGE

Adem BAKIŞ

Namık Kemal University
Graduate School of Natural and Applied Sciences
Department of Civil Engineering

Consultant: Assist. Prof. Güler GAYGUSUZOĞLU

In this study, the structural system of reinforced concrete skeleton using terrace floors wall-floor-beam combinations and the heat produced by the behavior of bridges, concrete, wall insulation and thermal conductivity coefficient of the values are examined.

To this end using the finite element method QuickField 5.1 program wall-beam-floor combinations of temperature and heat flux distributions, cases of different insulation, calculations were made by taking first-degree days for the region by taking plastered into consideration. In chapter 2, information has given about the types of heat conduction and thermal bridges. In chapter 3, information about standard rules of thermal insulation in buildings and its method of accounting is given. In chapter 4, information about the calculations used by QuickField package program and the introduction of the floor terrace sections are given and have been added to the calculations.

In the next section calculations and its evaluation is given. Conclusions and recommendations are given in the last section. Terrace floor concrete floors, walls and insulation in case of changes in heat conductivity and the heat of the bridge tables are used for the calculation of the parameters is given in the "extras" section.

With the results of this study, terrace floors, concrete, wall insulation and thermal conductivity values of the behaviors and the change of thermal bridges two-dimensional case is shown.

Key words: Thermal bridge, terrace floor, parameters the heat exchange, heat flux

ÖNSÖZ

Yüksek lisansa başlamamda ve tezimin hazırlanması esnasında bana her konuda yardımcı olan değerli öğretmenim Sayın Yrd. Doç. Dr. Güler GAYGUSUZOĞLU' na ve Yrd. Doç. Dr. Esma MIHLAYANLAR' a sonsuz teşekkürlerimi bir borç bilerek, hayatımda en önemli yere sahip olan eşim Songül BAKIŞ' a, Sevimliliği ve tatlılığıyla neşe kaynağım oğlum Enes Kemal BAKİŞ' a, manevi desteklerini esirgemeyen aileme ve tezimin hazırlanmasında emeği geçen herkese teşekkür ederim.

İÇİNDEKİLER

ÖZET	i
ABSTRACT	ii
ÖNSÖZ	iii
İÇİNDEKİLER	iv
ŞEKİL DİZİNİ.....	V
ÇİZELGELER DİZİNİ.....	Vii
EKLER DİZİNİ	Viii
SİMGELER VE KISALTMALAR DİZİNİ	X
1.GİRİŞ.....	1
2.GENEL BİLGİLER	4
2.1. Binalarda ısı yalıtımı	5
2.2. Isı İletim ve Kazançları	7
2.2.1. Kondüksiyonla Isı İletimi	8
2.2.2. Konveksiyonla Isı İletimi	9
2.2.3. Radyasyonla Isı İletimi	9
2.2.4. Buharlaşma-Yoğunlaşma İle Isı İletimi	10
2.3. Isı İletim Rejimleri	10
2.4. Isı Köprüleri	13
2.4.1. Elemanın Geometrisinden Kaynaklanan Isı Köprüleri	14
2.4.2. Farklı Isı İletkenliğine Sahip Malzemelerin Yan Yana Getirilmesiyle Oluşan Isı Köprüleri	15
3.TS 825 “ BİNALARDA ISI YALITIM KURALLARI ” STANDARDINA GÖRE HESAP METODU	19
4. HESAPLAMALAR VE QUICKFIELD 5.1 PROGRAMI	21
4.1. QuickField 5.1 Programına Veri Girişi	22
4.2. Kesitlerin Tanıtımı Ve Değiştirilen Malzeme Özellikleri	24
4.3. Teras Kat Döşemesinde QuickField 5.1 Programında Kesitlerin İncelenmesi	30
5. HESAP SONUÇLARI VE DEĞERLENDİRİLMESİ	33
6. SONUÇ VE ÖNERİLER	48
7. KAYNAKLAR	52
EKLER	56
ÖZGEÇMİŞ.....	71

ŞEKİLLER DİZİNİ

Şekil 2.1. Yüzey sıcaklıklarının ortam sıcaklığına etkisi.....	6
Şekil 2.2. Yapıda bölgelere göre ısı kayıplarını ve kazançları	7
Şekil 2.3. Sabit rejim şartlarında çok katmanlı elemanda kesit içinde sıcaklık değişimi.....	12
Şekil 2.4. Elemanın köşe noktalarında oluşan ısı köprüleri	14
Şekil 4.1. Yalıtımsız durum için QuickField 5.1'de incelenen “mesh” durumu.....	25
Şekil 4.2. Yalıtımsız durumda sıcaklık ve ısı akısı dağılımı	25
Şekil 4.3. Yalıtımsız durum için QuickField 5.1'de incelenen “mesh” durumu.....	25
Şekil 4.4. Yalıtımsız durumda sıcaklık ve ısı akısı dağılımı	25
Şekil 4.5. Dışardan yalıtımlı durum için QuickField 5.1'de incelenen “mesh” durumu.....	26
Şekil 4.6. Dışardan yalıtım durumunda sıcaklık ve ısı akısı dağılımı	26
Şekil 4.7. Dışardan ve teras üstü yalıtım için QuickField 5.1'de incelenen..... “mesh” durumu	26
Şekil 4.8. Dışardan ve teras üstü yalıtım durumunda sıcaklık ve ısı akısı dağılımı	26
Şekil 4.9. İçerden ve teras üstü yalıtım için QuickField 5.1'de incelenen“mesh” durumu..	27
Şekil 4.10. İçerden ve teras üstü yalıtım durumunda sıcaklık ve ısı akısı dağılımı.....	27
Şekil 4.11. İçerden yalıtım durumu için QuickField 5.1'de incelenen “mesh” durumu	27
Şekil 4.12. İçerden yalıtım durumunda sıcaklık ve sı akısı dağılımı.....	27
Şekil 4.13. Çift duvar arası yalıtım için QuickField 5.1'de incelenen “mesh” durumu.....	28
Şekil 4.14. Çift duvar arası yalıtım durumunda sıcaklık ve ısı akısı dağılımı.....	28
Şekil 4.15. Çift duvar arası ve teras yalıtımı için QuickField 5.1'de incelenen	28
“mesh” durumu	
Şekil 4.16 Çift duvar arası ve teras yalıtımlı durumda sıcaklık ve ısı akısı dağılımı	28
Şekil 4.17. Çift duvar arası, teras üstü ve kiriş iç yüzü içeren yalıtım için	29
QuickField 5.1'de incelenen“mesh” durumu	
Şekil 4.18. Çift duvar arası, teras üstü ve kiriş iç yüzü içeren yalıtım durumunda..... sıcaklık ve ısı akısı dağılımı	29

Şekil 4.19. QuickField 5.1 programında kontur oluşturulması	30
Şekil 4.20. QuickField 5.1 programında kontur oluşturulması	31
Şekil 4.21 QuickField 5.1 programında kontur oluşturulması	31
Şekil 4.22 Tüm kiriş kesitinde ve farklı dilimlerde hesaplanan ısı akısı detay gösterimi	32

ÇİZELGELER DİZİNİ

Çizelge 5.1. Duvarın ısı iletkenliğinin değişiminin U_{IK} değerine etkisi	36
Çizelge 5.2. Duvarın ısı iletkenliğinin değişiminin ξ değerine etkisi	37
Çizelge 5.3. Duvarın ısı iletkenliğinin değişiminin U_f değerine etkisi	38
Çizelge 5.4. Yalıtım Isı İletkenliğinin değişmesinin U_{IK} Değerine Etkisi.....	40
Çizelge 5.5. Yalıtım Isı İletkenliğinin değişmesinin ξ Değerine Etkisi.....	41
Çizelge 5.6. Yalıtım Isı İletkenliğinin değişmesinin U_f Değerine Etkisi.....	42
Çizelge 5.7. Beton Isı İletkenliğinin değişmesinin U_{IK} Değerine Etkisi.....	44
Çizelge 5.8. Beton Isı İletkenliğinin değişmesinin ξ Değerine Etkisi.....	45
Çizelge 5.9. Beton Isı İletkenliğinin değişmesinin U_f Değerine Etkisi	46

EKLER DİZİNİ

Ek 1.1. Teras kat dösemelerinde betonun ıslı iletkenliği 1,2 W/mK, duvar ıslı iletkenliği 0,15 W/mK ve yalıtım ıslı iletkenliğinin 0,03 W/mK olması durumunda ıslı köprüsüne ait parametrelerin hesaplanması.....	56
Ek 1.2. Teras kat dösemelerinde betonun ıslı iletkenliği 1,2 W/mK, duvar ıslı iletkenliği 0,30 W/mK ve yalıtım ıslı iletkenliğinin 0,03 W/mK olması durumunda ıslı köprüsüne ait parametrelerin hesaplanması.....	57
Ek 1.3. Teras kat dösemelerinde betonun ıslı iletkenliği 1,2 W/mK, duvar ıslı iletkenliği 0,30 W/mK ve yalıtım ıslı iletkenliğinin 0,04 W/mK olması durumunda ıslı köprüsüne ait parametrelerin hesaplanması.....	58
Ek 1.4. Teras kat dösemelerinde betonun ıslı iletkenliği 1,2 W/mK, Duvar ıslı iletkenliği 0,30 W/mK ve yalıtım ıslı iletkenliğinin 0,05 W/mK olması durumunda ıslı köprüsüne ait parametrelerin hesaplanması.....	59
Ek 1.5. Teras kat dösemelerinde betonun ıslı iletkenliği 1,2 W/mK, Duvar ıslı iletkenliği 0,45 W/mK ve yalıtım ıslı iletkenliğinin 0,03 W/mK olması durumunda ıslı köprüsüne ait parametrelerin hesaplanması.....	60
Ek 1.6. Teras kat dösemelerinde betonun ıslı iletkenliği 1,5 W/mK, duvar ıslı iletkenliği 0,15 W/mK ve yalıtım ıslı iletkenliğinin 0,03 W/mK olması durumunda ıslı köprüsüne ait parametrelerin hesaplanması.....	61
Ek 1.7. Teras kat dösemelerinde betonun ıslı iletkenliği 1,5 W/mK, duvar ıslı iletkenliği 0,30 W/mK ve yalıtım ıslı iletkenliğinin 0,03 W/mK olması durumunda ıslı köprüsüne ait parametrelerin hesaplanması.....	62
Ek 1.8. Teras kat dösemelerinde betonun ıslı iletkenliği 1,5 W/mK, duvar ıslı iletkenliği 0,30 W/mK ve yalıtım ıslı iletkenliğinin 0,04 W/mK olması durumunda ıslı köprüsüne ait parametrelerin hesaplanması.....	63
Ek 1.9. Teras kat dösemelerinde betonun ıslı iletkenliği 1,5 W/mK, duvar ıslı iletkenliği 0,30 W/mK ve yalıtım ıslı iletkenliğinin 0,05 W/mK olması durumunda ıslı köprüsüne ait parametrelerin hesaplanması.....	64
Ek 1.10. Teras kat dösemelerinde betonun ıslı iletkenliği 1,5 W/mK, duvar ıslı iletkenliği 0,45 W/mK ve yalıtım ıslı iletkenliğinin 0,03 W/mK olması durumunda ıslı köprüsüne ait parametrelerin hesaplanması.....	65
Ek 1.11. Teras kat dösemelerinde betonun ıslı iletkenliği 2,1 W/mK, duvar ıslı iletkenliği 0,15 W/mK ve yalıtım ıslı iletkenliğinin 0,03 W/mK olması durumunda ıslı köprüsüne ait parametrelerin hesaplanması.....	66
Ek 1.12. Teras kat dösemelerinde betonun ıslı iletkenliği 2,1 W/mK, duvar ıslı iletkenliği 0,30 W/mK ve yalıtım ıslı iletkenliğinin 0,03 W/mK olması durumunda ıslı köprüsüne ait parametrelerin hesaplanması.....	67

Ek 1.13. Teras kat dösemelerinde betonun ıslı iletkenliği 2,1 W/mK, duvar ıslı iletkenliği 0,30 W/mK ve yalıtım ıslı iletkenliğinin 0,04 W/mK olması durumunda ısı köprüsüne ait parametrelerin hesaplanması.....	68
Ek 1.14. Teras kat dösemelerinde betonun ıslı iletkenliği 2,1 W/mK, duvar ıslı iletkenliği 0,30 W/mK ve yalıtım ıslı iletkenliğinin 0,05 W/mK olması durumunda ısı köprüsüne ait parametrelerin hesaplanması.....	69
Ek 1.15. Teras kat dösemelerinde betonun ıslı iletkenliği 2,1 W/mK, duvar ıslı iletkenliği 0,45 W/mK ve yalıtım ıslı iletkenliğinin 0,03 W/mK olması durumunda ısı köprüsüne ait parametrelerin hesaplanması.....	70

BÜYÜKLÜKLER, SİMGELER BİRİMLER

Büyüklük	Simge	Birim
Isı akısı (birim alandan birim zamanda iletilen ısı enerjisi miktarı)	q	W/m ²
Isıl iletkenlik katsayısı	λ	W/mK
Sıcaklık gradyanı (sıcaklık değişim eğrisinin eğimi)	$\frac{dT}{dx}$	K/m
Sıcaklık	T	°C,K
Kalınlık	x	m
Yayınım katsayısı	α	λ/qc
Özgül ısı	c	J/(kg/m ³)
Yoğunluk	ρ	kg/m ³
Yıllık ısıtma enerjisi ihtiyacı	Q _{yıl}	Joule
Aylık ısıtma enerjisi ihtiyacı	Q _{ay}	Joule
Binanın özgül ısı kaybı	H	W/K
Kazançlar için aylık ortalama kullanım faktörü	η _{ay}	-
Aylık ortalama iç kazançlar(sabit alınabilir)	Φ _{i.ay}	W
Aylık ortalama güneş enerjisi kazancı	Φ _{s.ay}	W
Zaman	t	sn
Yapı elemanın alanı	A	m ²
Yapı elemanın ısı geçirgenliği	U	W/m ² K
Isı köprüsünün uzunluğu	l	m
Isı köprüsünün genişliği	b	m
Isı köprüsünü ısı geçirgenlik katsayısı	U _{IK}	W/m ² K
Dış duvarın ısı geçirgenlik katsayısı	U _D	W/m ² K
Dış duvar alanı	A _D	m ²
Pencerenin ısı geçirgenlik katsayısı	U _P	W/m ² K
Pencere alanı	A _P	m ²
Tavanın ısı geçirgenlik katsayısı	U _T	W/m ² K
Tavanın alanı	A _T	m ²
Zemine oturan tabanın ısı geçirgenlik katsayısı	U _t	W/m ² K
Zemine oturan tabanın alanı	A _t	m ²
Dış hava ile temas eden duvarın ısı geçirgenlik katsayısı	U _d	W/m ² K

Dış hava ile temas eden duvarın alanı	A_d	m^2
Aylık ortalama iç ortam sıcaklığı	θ_i	$^{\circ}C$
Aylık ortalama dış ortam sıcaklığı	θ_e	$^{\circ}C$

1. GİRİŞ

Yapılarda ortalama ısı geçirgenliğinden daha yüksek ısı geçirgenliğine ve sınırlı alana sahip bölgelere ısı köprüsü adı verilmektedir.

Ancak betonarme yapılarda ısı köprülerinin oluşmasının kaçınılmaz olduğu bilinmesine ve bunların çözümünün büyük oranda mümkün olmasına rağmen, ülkemizde halâ yalıtımın bir lüks olarak görülmesi bu sorunların uzun bir süre daha karımıza çıkacağının bir göstergesidir.

İsı köprülerinin önemi, bu bölgelerde meydana gelen fazladan ısı kayıplarıdır. Bu kayıpların sebebi ise, elemanın geometrisi olabileceği gibi, çoğunlukla farklı ıslı iletkenliğe sahip malzemelerin birlikte kullanılmasıdır. Bu açıdan, ülkemizde büyük bir kullanım payına sahip olan betonarme elemanlar etkin birer ısı köprüleri oluşturmaktadır. Isı köprülerindeki fazladan ısı kayıplarının diğer sebebi, bu bölgelerde farklı ıslı iletkenlikler sebebiyle oluşan kesite paralel yöndeki farklı sıcaklıkların etkisinde meydana gelen iki boyutlu ısı iletimiştir. Bu bölgelerde sıcaklık ve ısı akısı dağılımının, en düşük iç yüzey sıcaklıklarının belirlenmesi ve iki boyutlu ısı iletimi meydana gelen bölgelerde bileşke ısı kayıplarının hesaplanabilmesi, binanın enerji verimliliği açısından önemlidir (Dilmaç 2006). Binalarda ısı kayıplarının hesaplanmasında gerçek değer ile hesaplanan değer arasında tutarsızlıklar söz konusu olmaktadır. Hesaplamların istenilen faydayı sağlayabilmesi için gerçek durumu yeterli doğrulukla ifade eden yaklaşımın kullanılması gereklidir (Theodosiou ve ark. 2008). Bu konuda yapılan ulusal ve uluslararası çalışmalar, bu hesapların yeterli doğrulukla yapılabilmesi için ısı köprülerinin sebep olduğu fazladan ısı kayıplarının dikkate alınması gerektiğini göstermiştir (Mao 1997).

Uluslararası standartlar da bu yönde geliştirilmiştir (Anon, TS 10211-1). Hesaplamlarda karşılaşılan en önemli sorun, ısı köprülerinde ısı iletiminin iki boyutlu meydana gelmesine karşılık, standart ve yönetmeliklerde özellikle kış şartları için ısı kaybının tek boyutlu ısı iletimi denklemleri ile hesaplanmasıdır. Halbuki ısı köprülerinde, farklı ıslı iletkenliğe sahip malzemelerin sınırlı alanda yan yana gelmesi ile önemli miktarda yanal kayıplar meydana gelmektedir ve dolayısıyla bu bölgelerde iki boyutlu ısı iletimi mevcuttur.

Günümüzdeki birçok çalışma, ısı köprülerindeki iki boyutlu ısı akımının, tek boyutlu genel denklemler içine entegre edilmesi üzerinedir. Bunlardan Salgon ve Neveu (1987) , Hassid (1989) ve Hassid (1990) ve Kosny ve Christian (1995) Kararlı haldeki ısı iletimi denkleminin çözümü için nümerik yaklaşım önermişlerdir. Daha ileri çalışmalarda ise ısı köprülerinin

meydana geldiği bölgelerde hem iki boyutlu hem de değişken rejim şartları için modellemeler yapılmıştır. Bunlardan Clarke (2001) iki ve üç boyutlu ısı iletimi denklemini sonlu elemanlar metodunu kullanarak çözen bir bilgisayar programı yapmışlardır. Kosny ve Kossecka (2002)'nin çalışmalarında da çok boyutlu ısı transferi denkleminin bir bilgisayar programı yardımcı ile çözümesine çalışılmıştır. Larbi (2005)'in çalışmasında da ısı köprülerinin iki boyutlu istatistiksel bir modeli yapılmaya çalışılmıştır. Gao ve ark. (2008) ısı köprüleri için üç boyutlu çözüm yapan bir bilgisayar programı yardımcı ile çözmeye çalışmışlardır.

Çok daha yakın zamanda ise Martin ve ark. (2011) binalarda ısı köprülerinden meydana gelen ısı kayıplarını doğru hesaplamak için bir boyutlu ısı iletimi denklemini göz önüne alan, ancak zamana bağlı dinamik bir model geliştirmiştirlerdir.

Yurt dışında taşıyıcı sistem olarak betonarme iskelet sistem kullanımı Türkiye'deki kadar yaygın değildir. Isı köprüsü ile ilgili uluslararası yaynlarda, kırıslı betonarme döşeme detayı, çok az incelenen bir ısı köprüsü detayı olmaktadır (İCTAG-I242, 2005).

Türkiye'de ısı köprüleri ile ilgili çalışma sayısı çok azdır. Var olan çalışmalarda da ısı köprülerinin ısil davranış konusunda bir model geliştirilmesi konusu hiç incelenmemiştir. Isı köprüleri ile ilgili ülkemizde doktora tezi bulunamamıştır, ancak üç adet yüksek lisans tezi vardır. Bunların ilkinde ısı köprüleri hakkında özet bilgi verilmekte ve iki ve üç boyutlu ısı köprüleri için sıcaklık dağılımı hesaplanmaktadır (Ersoy, 1991). Diğer tezde köşelerde ısı köprülerinin etkisi dikkate alınmaktadır (Nakıoğlu 1997). Üçüncü tezde ise EN ISO 10211'in açıklaması yapılarak ısı köprülerinde sıcaklık dağılımlarını hesaplayan bir bilgisayar programı verilmiştir (Bulut, 1999).

EN ISO 10211-1 ve EN ISO 10211-2 standartlarında ısı köprüleri iki veya üç boyutlu olarak değerlendirilmektedir ve hesaplanan büyüklükler diğer EN ISO standartlarında kullanılarak binanın enerji ihtiyacı hesaplanmaktadır. Ancak bu standartlardaki büyüklükler TS 825'de binaların ısıtma enerjisi ihtiyacı ile ilgili hesap metodunda kullanılan büyüklüklerden farklıdır. Isı köprülerinden meydana gelen ısı kayıplarının hesaplanmasımda karşılaşılan en önemli sorun, ısı iletimin iki boyutlu meydana gelmesine karşılık, standart ve yönetmeliklerde özellikle ısıtma periyodu için ısı kaybının tek boyutlu ısı iletim denklemleri ile hesaplanmasıdır. Isı kaybı hesaplarında kabul edilebilir hata sınırları içinde önemli zaman ve emek kazandıran tek boyutlu ısı iletim denklemlerinin basitliğini ve güvenilirliğini bozmadan, ısı köprülerindeki iki boyutlu ısı iletiminin tek boyutlu denklemere ilave edilmesi "Döşemelerde Yanal Isı Kayıplarının

Hesaplanması İçin Parametrelerin Belirlenmesi” isimli Tübitak Projesinde (2005) mümkün olmuştur. Yine bu proje kapsamında farklı yalıtım sistemlerinde ısı köprülerinin ısı davranışı Dilmaç ve ark., (2004), Dilmaç ve ark.,(2004) ve Cihan ve ark., (2004) tarafından incelenmiş ve ısı köprülerinde kullanılan temel yaklaşımların karşılaştırılması ise Akgün ve Dilmaç (2005) tarafından yapılmıştır.

Bu çalışmada da ısı köprüleri proje çalışmasında modellendiği şekilde ele alınmış ve ısı köprüleri üzerine beton, duvar ve yalıtım malzemelerinin değişiminin etkileri incelenmiştir. Meydana gelen iki boyutlu ısı iletiminin mertebesi ara kat ve teras kat dösemelerinde farklı sonuçlar verdiği için ayrı ayrı incelenmek durumundadır. Bu çalışmada teras katlar incelenmiştir. Betonarme kiriş ve döşeme ile duvarların birleşimlerinde sıcaklık ve ısı akısı dağılımları üzerine, kullanılan duvar malzemesi ile yalıtım sistemi ve yalıtım malzemesinin özellikleri etkili olmaktadır. Bu çalışmada, betonarme iskelet taşıyıcı sistemin kullanıldığı binaların teras katlarında duvar-döşeme-kiriş birleşimlerinin oluşturduğu ısı köprülerinin davranışları, betonun, duvarın ve yalıtımın ısı iletkenliği katsayısı olan λ değerleri değiştirilerek, incelenmiştir. Bu amaçla sonlu elemanlar metodu kullanan, QuickField 5.1 programında duvar-kiriş-döşeme birleşimlerinde sıcaklık ve ısı akısı dağılımları, değişik yalıtım durumlarında, birinci derece gün bölgesi için sıvalı durum göz önüne alınarak hesaplamalar yapılmıştır.

Bölüm 2’de ısı iletim çeşitleri ve ısı köprüleri ile ilgili genel bilgiler verilmiştir. Bölüm 3’te TS 825 Binalarda Isı Yalıtım Kuralları Standardında açıklanan hesap metodu hakkında bilgi verilmiştir. Bölüm 4’te ise hesaplamalarda kullanılacak QuickField paket programı hakkında bilgi verilmiş ve teras katlar için kesitlerin tanıtımı yapılarak hesaplamalara geçilmiştir. Sonraki bölümde ise hesap sonuçları ve değerlendirmesi yapılmıştır. Sonuç ve öneriler ise en son verilmiştir. Teras kat dösemelerinde beton, duvar ve yalıtımın ısı iletkenliklerinin değişimleri durumunda ısı köprüsüne ait parametrelerin hesaplanması için kullanılan çizelgeler ise Ekler bölümünde verilmiştir.

Bu çalışmanın sonuçları ile, teras katlarda, betonun, duvarın ve yalıtımın ısı iletkenlik değerlerindeki değişimin ısı köprülerinde gösterdiği davranışların iki boyutlu halde nasıl değiştiği görülmektedir.

2. GENEL BİLGİLER

Isıl konfor, bir insanın sağlıklı ve üretken olabileceği ıslı parametrelerin sağlanması ıslı konfor olarak tanımlanmaktadır. Aynı zamanda ıslı konfor, bir insanın kaybettiği ve kazandığı enerjilerin vücut sıcaklığını 37°C ’de tutmasına yetecek düzeyde olduğu durumdur. ıslı konforun sağlanması bununla birlikte az enerji tüketiminin gerekli olması sistemin ıslı performansının uygunluğunu gösterir. Binalarda ısı yalıtıminin bulunmayışı veya yetersiz olması sonucu ıslı konforun (kullanıcıların sağlıklı ve üretken olmaları için gerekli ıslı şartlar) sağlanabilmesi için çok yüksek yakıt tüketimi gereklidir. Çoğunlukla da bu tüketime ekonomik sebeplerle ulaşılamaz ve

- Kullanıcıların sağlığının bozulmasının yanında
- Binanın iç yüzeylerinde terleme (havanın içindeki su buharının iç yüzeylerde yoğunlaşması veya kükük oluşumları görülür).
- Bu olumsuzluklara ilave olarak yüksek faturaları ödenir (Mihlayanlar 2009).

Bu sorunların giderilmesinin tek yolu ısı yalıtım uygulanmasıdır (Dilmaç 2006). Ancak ısı yalıtımı doğru malzeme, detay ve uygulama ile gerçekleştirildiği zaman faydalıdır.

Isıl performansın değerlendirilmesinde kullanılan iki önemli terim ısı ve sıcaklıktır. Isı, iletim halindeki enerjidir; birbirleriyle temas eden iki sistem arasında kütle alışverişi olmaksızın sıcaklık farkı sebebiyle meydana gelir. Sisteme ait bir özellik değildir, bu nedenle madde ve maddeler topluluğunun ısısından bahsedilemez ancak sıcaklık farkı olan madde ve/veya ortamlar arasında iletilen ısı ve ısı alışverişinden bahsedilebilir. SI birim sisteminde Isı enerjisinin birimi Joule’ dır.

Sıcaklık, ısı iletimine sebep olan, sisteme ait ve sistemin kütlesinden bağımsız bir özelliği. Sistemi meydana getiren atomların kinetik enerjilerinin yanı titreşim hızlarının bir ifadesidir. SI birim sisteminde birimi K veya $^{\circ}\text{C}$ olarak kullanılmaktadır.

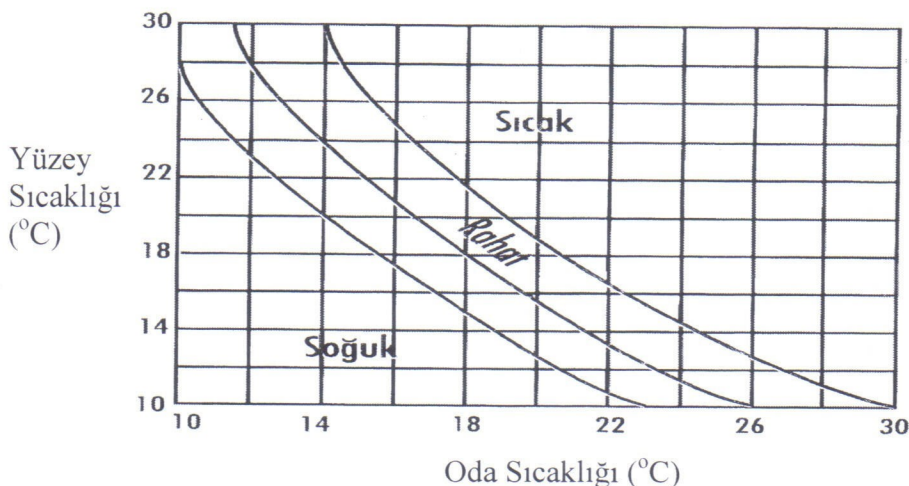
Çevremizden kazandığımız ısının %40’ı hava sıcaklığından, %60’ı yüzey sıcaklıklarından sağlanır. Ortam sıcaklığının, giyim tarzı ve çalışma düzeyine göre $20^{\circ}\text{C} - 25^{\circ}\text{C}$ arasında tutulması uygun olur (ideal sıcaklık 22°C). Bağlı nem ideal oranı ise %40-60 mertebelerindedir (Dilmaç 2006).

2.1 Binalarda Isı Yalıtımı

Yapıların uzun yıllar boyunca değerini koruması ancak yapı iyi tasarlanmışsa, iç ve dış etkenlerden doğru biçimde korunmuşsa gerçekleştirilebilir. Yapıların iç ve dış etkenlerden doğru biçimde korunması; yalıtım ile sağlanabilir. Yalıtım sistemlerinin esas amacı; yapı bileşenleri ve taşıyıcı sistemi dış etkenlerden koruyarak; kullanım amacına uygun sağlık ve konfor şartlarının yapı içerisinde hükmü sürmesini sağlamaktır. Bina içerisinde konforlu yaşam koşullarının oluşturulması insan sağlığı için ne kadar önemli ise yapının dış etkenlere karşı korunması da; içerisinde yaşadığımız, sağlam ve uzun ömürlü olmasını beklediğimiz yapılar için aynı öneme sahiptir (Dilmaç 2006).

Dünya üzerindeki birincil enerji kaynaklarının hızla tükenmesi üzerine gelişmiş ülkeler başta olmak üzere tüm ülkeler enerji ihtiyaçlarını kontrol altına alma ve enerjiyi etkin kullanma yöntemleri geliştirmişlerdir. Ülkemizde de; başta sanayi ve konut sektörlerinde olmak üzere, enerji tüketimleri her geçen yıl artmaktadır. Konutlarda kullanılan enerjinin büyük bir kısmı ısıtma ve soğutma amaçlı olarak tüketilmektedir. Söz konusu bu enerjinin; etkin kullanılması, ısı yalıtımı ile sağlanabilir. Bina zarfi, binanın iç ortamını dış ortamdan ayıran yapı elemanlarını kapsar. Duvarlar, pencereler, kapılar, döşeme, tavan ve çatı, bina zarfini oluşturur. Sağlıklı yaşam koşullarının yaratılması, yakıt tüketimlerini azaltarak kullanıcının düşük yakıt masrafları ile sistemini işletmesinin ve dolayısıyla hava kirliliğinin azaltılmasının sağlanması binanın iç ve dış etkenlerden korunarak ömrünün uzatılması amacıyla yapı bileşenleri üzerinden, farklı sıcaklıklı iki ortam (dış hava–yaşanan mahaller) arasındaki ısı geçişini azaltmak için yapılan işlemlere **ısı yalıtımı** denir (Dilmaç 2006). Binalarda uygulanan ısı yalıtımının iki önemli faydası vardır. Birinci ısıl direnç artacağından ısıl kaybin artması, diğer ise iç yüzey sıcaklıklarının yükselmesidir. İç yüzey sıcaklıklarının artması en az ısıl kaybinin azalması kadar önemlidir. Çünkü iç yüzey sıcaklıklarını artınca, kullanıcıların kendilerini konforda hissetmekleri ortam sıcaklığı düşmekte ve böylece ısıtma enerjisi ihtiyacı kendiliğinden azalmaktadır (Mıhlayanlar 2009).

Ortam sıcaklığının artırılması kullanıcıların kendilerini rahat hissetmeleri için yeterli çözüm değildir. Çünkü insan gıdalardan elde ettiği büyük bir bölümünü, ısıl ışınlarla kaybeder. Vücut sıcaklığını sabit tutabilmek için kaybettiği enerjinin geri kazanılması sırasında da, yaklaşık %60'ını yine ısıl ışınlarla elde etmek ister. Bunu sağlayan odanın hava sıcaklığının yükseltilmesi değil iç yüzey sıcaklığının artırılmasıdır.



Şekil 2.1 Yüzey sıcaklıklarının ortam sıcaklığına etkisi (Anonim 1996).

Şekil 1' e göre eğer duvar iç yüzey sıcaklıkları 18°C ise, kişiler kendilerini 18°C 'lik ortam sıcaklığında da konforda hissedebilmektedirler. Halbuki iç yüzey sıcaklıkları $12\text{-}14^{\circ}\text{C}$ 'a düşerse, yalıtımsız duvarlar için beklenen değerlerdir, kişilerin kendilerini aynı derecede rahat hissedebilmeleri için ortam sıcaklığının $22\text{-}24^{\circ}\text{C}$ 'a çıkması gereklidir. Ortam sıcaklığının artması ise, yakıt tüketimin ve dolayısıyla yakıt faturasının artması demektir. Isı yalıtımlı uygulanan binalarda iç yüzey sıcaklıkları yüksek olur (Dilmaç 2006).

Normal bir tuğla duvarda, “Trakya bölgesi için yalıtımlı ve yalıtımsız durumlarda iç yüzey sıcaklıklarının değişimi hesaplandığında, normal yatay delikli tuğla duvarın (ısı iletkenliği 0.45 W/nK olan) kalınlığı 13.5 cm , dış sıvanın (ısı iletkenliği 0.87 W/mK olan) kalınlığı 2 cm ve iç sıvanın kalınlığı 1 cm olsun. İç ortam sıcaklığı 20°C alalım; Ocak ayında dış hava sıcaklığı ise ilgili standartta (TS 825) 3.3°C olarak verilmektedir. Bu durumda ocak ayında, yukarıda duvar kesitine sahip yalıtımsız bir binada duvar iç yüzey sıcaklığı 15.7°C iken doğru malzeme, detay ve işçilikle uygulanmış 5 cm ısı yalıtımları (ısı iletkenliği 0.04 W/mK olan) bulunan duvarda 18.8°C dir. Dolayısıyla yalıtımsız binada oturan kullanıcıların rahat olabilmeleri için oda sıcaklığının mutlaka 20°C 'ye çıkarılması gereklidir; yalıtımlı binalardaki kullanıcılar aynı rahatlığı $17\text{-}18^{\circ}\text{C}$ oda sıcaklığında da elde edebileceklerdir” (Mıhlayanlar 2009).

Duvarlar: Enerji verimliliği için ısı kaybeden duvarlara ısı yalıtımlı yapılmalıdır. Duvarlarda yalıtılmış içten (duvarın iç yüzünden), çift duvar arası veya dıştan (duvarın dış yüzünden) yapılabilir. Bunun için çeşitli ısı yalıtımları ve detayları uygulanabilir.

Pencereler: Pencerelerde ısı kaybı açısından en önemli özellik, ısı geçirgenlik katsayılarıdır. (U değeri). Binalarda kullanılacak pencerelerin ısı geçirgenlik katsayıları TS 825'e uygun olmalıdır. Pencereler, kış mevsiminde güneşin mahal içerisine girişini artırmalı, yaz

mevsiminde azaltmalıdır. Bunun için pencere sistemlerinde çift camlar, low-e kaplı çift camlar, güneş kontrol kaplamalı camlar ile yalıtımlı doğramalar kullanılmalıdır.

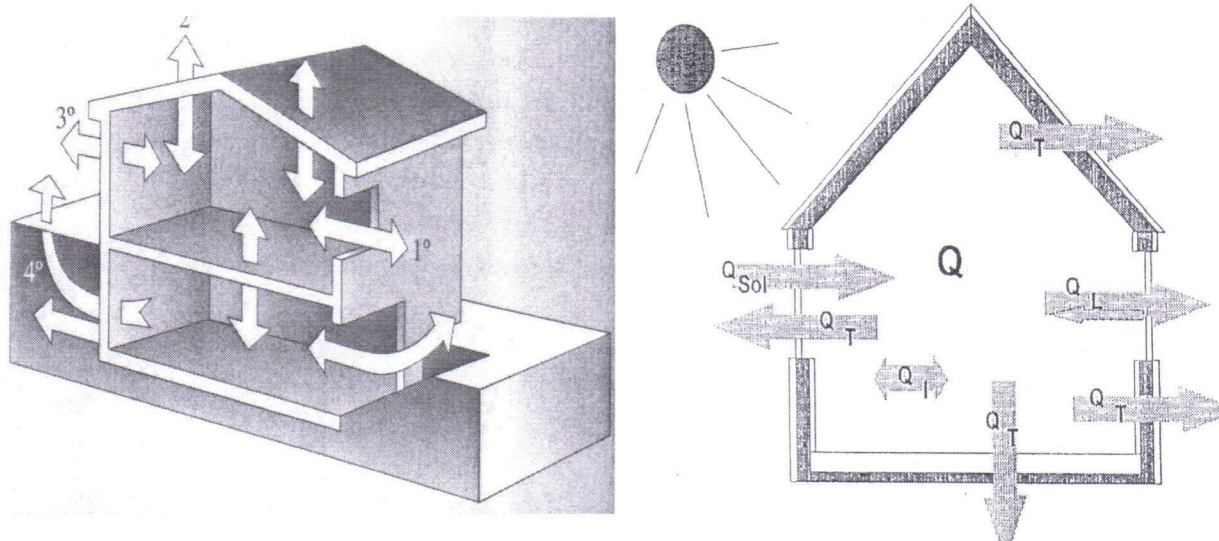
Tavan/çatı ve dösemeler: Binalarda duvarlar ve pencerelerden sonra en fazla ısı kaybı/kazancı olan bölümler, tavan/çatı ve dösemelerdir. Bu bölümlere de ısı yalıtımı yapılmalıdır. Bunun için çeşitli ısı yalıtım malzemeleri ve detayları uygulanabilir.

Binalarda ısı yalıtımı uygulanması ile;

- Çatı, duvar ve dösemelerde teknigue uygun ısı yalitim malzemeleri kullanılmasi ile ısıtma ve soğutma amaçlı tüketilen yakit miktarının azalması,
 - Hava kirliliği azalması,
 - Sağlıklı ve konforlu bir ortam olması sonucunda sağlık giderlerinin azalması,
 - Yapı bileşenlerinin yoğunlaşma sonucu korozyona uğraması önlenecek binanın korunması sağlanır.

2.2. Isı İletim ve kazançları

İş enerjisinin kaynağından başlayarak, bir ortamdan diğer ortama geçmesi ‘ısı geçışı (akışı)’ olarak tanımlanmaktadır. Doğal bir dengeye ulaşma gürümüyle ısı yüksek sıcaklığındaki bileşenlerden, düşük sıcaklığındaki bileşenlere doğru yayılır. Bu yayılma durdurulamaz fakat kontrol altına alınabilir. İşi iletimi engellenemez fakat yavaşlatılabilir (Dilmaç 2006).



Şekil 2.2. Yapıda bölgelere göre ısı kayipları ve kazançları (Dilmac 2001).

İsı iletimi aşağıdaki şekilde grupperlabilir (Dilmaç 2006).

- Kondüksiyonla (iletimle)
- Konveksiyonla (taşınılma)
- Radyasyonla (ışınımla)
- Buharlaşma ve yoğunlaşma ile ısı iletimi (Binalarda önem kazanır)

2.2.1. Kondüksiyonla (İletimle) Isı İletimi

Kondüksiyonla ısı iletimi, bir cismi meydana getiren atomların bulundukları konumda gerçekleştirdikleri titreşim hareketleri sırasında birbirleriyle çarpışmaları sonucu gerçekleşen enerji alışverişidir. Yüksek sıcaklıktaki bölgede atomların kinetik enerjileri, dolayısıyla titreşim hızları da yüksektir (Cihan ve Dilmaç 2003). Bu atomlar düşük sıcaklıktaki (hızları daha düşük) atomlarla çarpışıklarında, bu atomların kinetik enerjilerinin (titreşim hızlarının) artmasına sebep olurken; kendi enerjilerinden de bir miktar kaybederler. Böylece ardışık çarpışmalar sonucu enerji iletilir. Sıcaklığın yüksek olduğu bölgedeki atom veya moleküllerin ortalama kinetik enerjisi daha düşük sıcaklıktaki moleküllerin ortalama kinetik enerjilerinden fazladır. Dolayısıyla yüksek enerjili atomlar daha yüksek hızda titreşirler ve komşu atomlarla çarpışmaları sonucu onların enerjilerini, dolayısıyla hızlarını arttırırlar. Ardışık çarışma sonucu kütledeki tüm atom/molekül hızları (sıcaklıkları) eşit olunca ısı iletimi durur (Meral 2005).

Kondüksiyonla ısı iletimi, atom ve/veya moleküllerin bulunduğu her ortamda gerçekleşir. Ancak atomların daha sık bulunduğu ortamlarda tabiatıyla daha fazla gerçekleşir. Bu sebeple kondüksiyonla ısı iletimi en fazla katılarda, daha sonra sıvılarda meydana gelir. Gazlarda atomlar arası mesafe çok fazla olduğundan kondüksiyonla ısı iletimi çok küçük olur ve pek çok durumda ihmal edilir (Dilmaç 2006).

Katı malzemelerin atomsal dizilişleri, sıvı ve gazlarınbine oranla çok daha sıktır. Katılar içerisinde en yüksek ısı iletimine sahip malzemeler metallerdir. Bunun nedeni metallerin serbest elektronlara sahip olmalarıdır. İletim, yüksek enerjili (yüksek sıcaklıktaki) elektronların, düşük enerjili (düşük sıcaklıktaki) bölgeye hareketi ile gerçekleşir. Serbest elektronlarla ısı enerjisinin iletimi, atomların çarpışmaları ile olan iletimden 10 veya 100 kat fazla olabilir (Cihan ve Dilmaç 2003).

Kelvin teorisine göre malzeme moleküllerinin mutlak hareketsizlik noktasına ulaştığı sıcaklık derecesi -273.16°C ’dır. Isısal enerjileri birbirinden farklı olan malzemeler birbirleriyle temas ettiğinde enerji iletimi sağlanmakta ve her iki malzeme atomlarının enerjileri eşit olunca (sıcaklıklar eşit olunca) ısısal denge kurulmuş olmaktadır (Yıldız 1998).

2.2.2. Konveksiyonla (Taşınımıla) Isı İletimi

Konveksiyonla ısı iletimi akışkan malzemelerde (sıvı ve gazlarda) görülür. Katılarda meydana gelmez (Dilmaç 2006). Atom veya moleküllerin uzak mesafeli hareketleri sebebiyle meydana gelir. Akışkanın bulunduğu hacim çok küçülürse (gözenek çapı $\leq 4\text{ mm}$) konveksiyonla ısı iletimi gerçekleşmez; gözenek çapı $\leq 6\text{ mm}$ olduğunda konveksiyonla ısı iletimi ihmal edilir (Skochdopole, 1961) Doğal akım çok basit bir şekilde gerçekleşir. Isınan hava genleşir ve soğuk havaya nazaran daha hafifler. Hafifleyen sıcak hava yükselir ve soğuk hava onun yerine geçer. **Isı taşınımı** kısaca, isınan kütle parçacıklarının pozisyonlarını değiştirmeleri şeklinde tanımlanabilir (Yıldız 1998).

Isı akımı engellendiğinde hava çok iyi bir yalıtım katmanı oluşturur. Aslında birçok yalıtım malzemesi de bu özelliğe sahiptir. Örneğin plastik köpükler havayı bulunduğu yere küçük hava kabarcıkları şeklinde hapsederler (Dilmaç 2006).

2.2.3. Radyasyonla (Işınımıla) Isı İletimi

Radyasyonla ısı iletimi, elektromanyetik dalgalarla gerçekleşen ısı iletimidir. Elektromanyetik dalgalar, birbirine dik iki düzlemde sinüzoidal olarak ilerleyen elektrik ve manyetik alanlar ile bu dalgalara eşlik eden kütlesiz enerji parçacıklarından (foton) oluşur (Cihan ve Dilmaç 2003). Isı ışınımı gazları ısıtmadan geçerler. Isı ışınımı sayesinde dünyamız yaşam için gerekli ısını **Güneş**’ten sağlar. Enerjinin elektromanyetik dalgalarla iletilmesine radyasyonla **ısı iletimi** denir. Bu şekilde iletim için arada madde olması gerekmez. İletim boşlukta da gerçekleşebilir (Meral 2005).

İki farklı sıcaklıklı cisim, birbirlerini görüyorlarsa, ışınımı enerji iletimi başlar. Soğuk cisme ulaşan ışınlama enerjisinin bir bölümü cisme vardığında kısmen emilir, kısmen geri yansıtılır. Bu olaylar yapılarda sık sık meydana gelen olaylardır (Yıldız 1998).

2.2.4. Buharlaşma-Yoğuşma İle Isı İletimi

Hava bir gaz karşısındır ve bu karışımın içinde su buharı bulunmaktadır. Hava taşıyabileceği maksimum su buharı miktarı hacimce % 4' ü geçemez fakat bu değer sabit değildir (Tezcan 1970). Bütün maddeler buharlaşma sırasında çevreden enerji alırlar, sıvı fazda geçenken de bu enerjiyi çevreye verirler. Bu şekilde bir ısı döngüsü oluşur. Buharlaşma ısısı, 1 kg maddeyi buharlaştmak için gerekli ısı miktarıdır. Suyun buharlaşma ısısı $2,5 \cdot 10^6$ Joule'dür. Bina kabuğunda yer alan küçük gözeneklerdeki nemin, sıcak ve soğuk yüzeyler arasında buharlaşma-yoğuşması sonucu önemli miktarda ısı iletimi gerçekleşir. Kapalı yüzme havuzları vb. büyük miktarlarda su kütelerinin bulunduğu hacimlerde de, bu yolla enerji iletimi önem kazanır (Dilmaç 2006).

Bina kabuğunda meydana gelen ısı iletimi, kabuğun bünyesindeki malzemelerin kalınlığına (d) ve malzemelerin iç yapı özelliğlerine bağlı ısisal iletkenlik katsayısına (λ) bağlıdır. Isı iletkenlik katsayı (λ), homojen bir malzemenin denge şartları altında, iki yüzeyi arasındaki sıcaklık farkı 1 K olduğu zaman, 1 saatte 1m^2 kalınlıktan geçen ısı miktarıdır. Birimi W/mK 'dır (Yıldız 1998).

2.3. Isı İletim Rejimleri

Isı iletimi zamanla değişen bir büyüklüktür ve zamanla gösterdiği değişime göre farklı rejimler tanımlanır. Bu rejimler iki şekilde gruplandırılır:

- Sabit rejim (kararlı rejim)
- Değişken rejim

Sabit rejim, sabit sıcaklıklar etkisinde meydana gelen ısı iletimidir. Bu rejimin en önemli özelliği herhangi iki çeşit zaman aralığında iletilen ısı miktarı aynıdır.

Değişken rejim ise değişken sıcaklıklar etkisinde meydana gelen ısı iletimidir. Herhangi iki eşit zaman aralığında iletilen ısı miktarı değişkendir. Binalarda yaz aylarında terasların ve dış duvarların güneş yönündeki konumlarına göre dış yüzeylerinin sıcaklıkları dış hava sıcaklığından oldukça fazla olur. Sıcaklık yükselmeleri ve düşüşleri de aynı oranda büyütür. Binalarda, değişken rejimin bir alt grubu olan periyodik rejim esas alınır. Bu rejimden sıcaklığın 24 saatlik periyotla ve sinüzoidal bir değişim gösterdiği kabul edilir. İç ortam sıcaklığı da bu değişimi belirli bir genlik azalması ve faz kayması ile takip eder. Her yapının dış duvarlarının

etkisi altında bulunduğu periyodik ısınma ve soğuma olaylarının değişimi ise periyodik rejimde ısı iletimi ile incelenir.

Sabit rejim şartlarında sadece elemanın ısı iletimine karşı gösterebildiği ısı direnç önemlidir. Bu direnç üzerine ise o elemanı oluşturan katmanlardaki malzemelerin ısı iletkenlik değerleri (λ) ve katman kalınlığı (d) etkendir. Her katmanın ısı direnci “ d/λ ” büyülüğu ile belirlenir ve bunların toplamları elemanın sıcak ve soğuk yüzeyleri arasındaki toplam ısı direncini verir. Tabakaların sıralanmasının elemanın davranışını üzerine bir etkisi yoktur. Bu yaklaşımla sadece elemandan iletilen ısı enerjisi miktarı ve kesit sıcaklıklarını hesaplanır.

Sabit rejim şartlarında, homojen bir malzemedeki ısı akısı en genel haliyle (1) nolu eşitlik ile ifade edilir (Anonim 2008).

$$q = -\lambda * \frac{d T}{d x} \quad (1)$$

Eşitlik (1)'de;

q : Isı akışını (birim alandan birim zaman da iletilen ısı enerjisi miktarı) (W/m^2),

λ : Isı iletkenliği (W/mK),

$\frac{dT}{dx}$: Sıcaklık gradyanını (sıcaklık değişim eğrisinin eğimi) (K/m),

T : Sıcaklığı ($^{\circ}C$, K),

x : Kalınlığı (m) göstermektedir.

d kalınlığında, iki yüzü arasındaki sıcaklık farkı ($\theta_e - \theta_i$) olan homojen bir elemanda ısı akısı ise (2) nolu denklemle hesaplanabilir:

$$q = \frac{\lambda}{d} * (\theta_e - \theta_i) \quad (2)$$

d kalınlığında, çok tabakalı ve ayırdığı ortamlar arasındaki sıcaklık farkı ($\theta_e - \theta_i$) olan elemanda ise ısı akısı (3), (4) ve (5) nolu eşitliklerden faydalılarak hesaplanır.

$$q = U \cdot (\theta_e - \theta_i), \quad (3)$$

$$U = \frac{1}{R_i + R + R_e}, \quad (4)$$

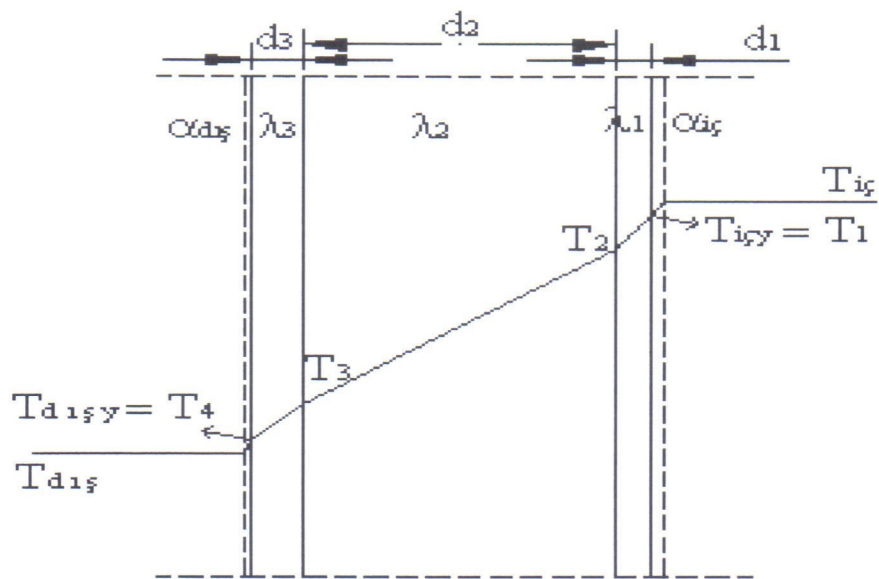
$$R = \sum \frac{d}{\lambda} \quad (5)$$

Kesit sıcaklıklarını (6) nolu, iç yüzey ve dış yüzey sıcaklıklarını ise sırasıyla (7) ve (8) nolu eşitlikler ile belirlenir (Şekil 1):

$$T_n = T_{n-1} - q \cdot (R) \quad (6)$$

$$T_{\text{iqy}} = T_{\text{iq}} - q \cdot (R_i) \quad (7)$$

$$T_{\text{disy}} = T_{\text{disy}} - q \cdot (R_e) \quad (8)$$



Şekil 2.3 Sabit rejim şartlarında çok katmanlı elemanda kesit içinde sıcaklık değişimi.

Sabit rejim şartlarında (kış şartlarında) binaların ısıl performansının incelenmesi TS 825'deki kurallara göre yapılmaktadır. TS 825 ile ilgili detaylı açıklamalar ilerleyen bölümlerde verilmiştir.

Sabit rejimde yapılan kabuller gerçeklerden önemli sapmalar gösterir. Ancak hesaplamalar basittir. Dolayısıyla gerçek şartlardan olan bütün farklılığa rağmen, uzun süre ısı akımı hesaplarında bu rejim kullanılmış ve halen kullanılmaktadır.

Değişken rejim şartlarında ise elemanın ısıl direncinin yanında, elemandan ısının geçiş hızı ve elemanda ısının depolanabilme kapasitesi de önemlidir. Bu özellikler üzerinde, elemanı oluşturan malzemelerin ısıl iletkenliğinin yanında özgül ısların ve yoğunlukların da büyük önemi vardır. Ayrıca elemanın davranışları üzerinde, katmanların sıralanışı da etkilidir. Bu yaklaşımda ısı iletimi miktarı ve kesit sıcaklıklarının yanında ortam sıcaklıkları değişim genliklerinin oranı ve dış sıcaklığın iç ortamı etkilemesi için geçen süre de hesaplanır (Cihan 2005).

$$\text{Değişken rejim şartlarında } \frac{dT}{dt} = \alpha \frac{d^2 T}{dx^2} \quad (9)$$

formülü kullanılır. Formülde, $\alpha = \lambda/qc$: yayınım katsayısı, λ :ısıl iletkenliği (W/mK), ρ :yoğunluk (kg/m^3), c :özgül ısı ($\text{J/(kg/m}^3\text{)}$) dır.

Bu formüle göre herhangi bir kesitteki sıcaklığın zamana göre değişimi, sıcaklığın x' e göre değişiminin ikinci türevi ile orantılıdır. α Katsayısını da incelediğimizde sıcaklığın zamana göre değişimi malzeme üzerinde malzemelerin ısıl iletkenliği ile doğru, özgül ısı ve yoğunluk ile ters orantılı olarak etkilenmektedir. İkinci derecede türev bulunduran bu denklem çözümündeki zorluklardan dolayı, bu yaklaşım standart ve yönetmeliklerde ancak yaz konforunun incelenmesi amaçlandığı zaman tercih edilmektedir.

2.4. Isı Köprüleri

Isı köprüleri ortalama ısı iletiminden çok daha yüksek ısı iletiminin olduğu bölgelerdir. Yüksek ısı iletimi, ya farklı ısı iletimine sahip malzemelerin yan yana getirilmesi yada elemanın geometrisinden (köşeler, balkon–duvar dösemelerinin kenarları) meydana gelmektedir.

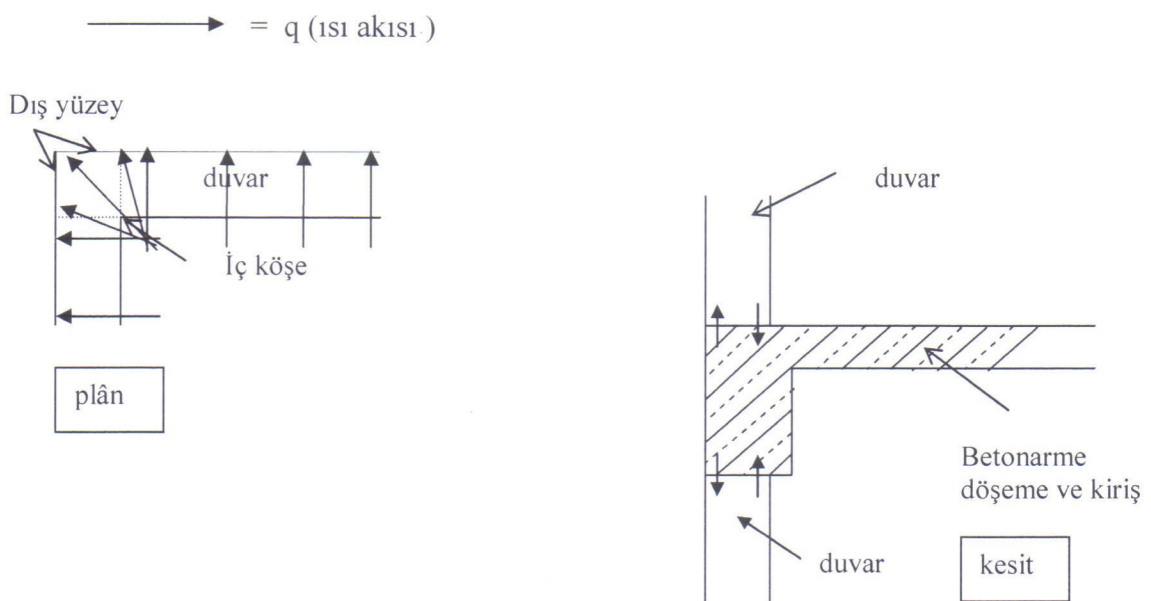
Elemanın geometrisinden kaynaklanan ısı köprüleri, kaçınılması oldukça zor olan ve ancak mimari biçimlendirme ile çözülebilecek problemlerdir. Buna karşılık farklı ısıl iletkenliğine sahip malzemelerin yan yana getirilmesi sonucu meydana gelen ısı köprülerinin olumsuz etkileri, uygulama detaylarının doğru seçilmesi ile önemli ölçüde azaltılabilir. Isı köprülerinde ısı iletiminin fazla olmasının iki nedeni vardır:

- Isı köprüsü oluşturan malzemelerin ısı iletkenliğinin yüksek olması,
- Yan yana gelen farklı ısı iletkenliğine sahip malzemeler arasında, yüzey normaline paralel ısı akımlarına ilave olarak, yüzey normaline dik yanal ısı akımlarının da meydana gelmesi.

Isı köprülerinden kaynaklanan sorun sadece enerji kaybı değildir. Bu kayıplar sebebiyle, ısı köprülerinin azalan iç yüzey sıcaklığı ile oda içindeki konfor üzerinde de olumsuz etkisi vardır ve bu durum yoğunlaşma, nem, küflenme, çatlama vs gibi başka problemlere de yol açabilir. Sonuç olarak ısı köprülerinin doğru olarak projelendirilmesi ve uygun bir şekilde yalıtımı önemli yararlar sağlar. Ayrıca, ısı kaybı hesaplarında da bu olumsuzlukların dikkate alınması gerekmektedir.

2.4.1. Elemanın Geometrisinden Kaynaklanan Isı Köprüleri

Yapı elemanlarının köşe noktalarında düşük sıcaklığa sahip dış yüzey miktarı yüksek sıcaklıktaki çizgisel iç yüzeye oranla çok fazla olduğu için bu bölgelerde fazladan ısı kayıpları gerçekleşir. Bu kayıpları önlemek mümkün değildir, ancak sürekli ısı yalıtımı ile azaltılabilir (Dilmaç 2006).



Şekil 2.4. Elemanın köşe noktalarında oluşan ısı köprüleri (Dilmaç 2006).

2.4.2. Farklı İsıl İletkenlige Sahip Malzemelerin Yan Yana Getirilmesiyle Oluşan Isı Köprüleri

İnşaat sektöründe en çok yapılan hatalardan biri farklı ısı iletkenliğine sahip malzemelerin yan yana kullanılmasıdır. Bazen montaj için kaçınılmaz olan bu durum, çoğunlukla bilgi eksikliğinden kaynaklanmaktadır.

3. TS 825 “ BİNALARDA ISI YALITIM KURALLARI ” STANDARDINA GÖRE HESAP METODU

Bu çalışma, döşeme ve kırışlerden oluşan ısı köprülerinin ve tek boyutlu hesaplarda dikkate alınabilmesinin değerlendirilmesi amacıyla yönelik olduğundan, öncelikle tek boyutlu ısıtma enerjisi ihtiyacının hesaplandığı denklemelerle ilgili açıklamalar verilmiştir. Bu hesap metodu ise TS 825’de açıklanmaktadır (Anonim 2008).

Tek Bölge İçin Yıllık Isıtma Enerjisi İhtiyacının Hesabı:

Yapılarda tek bölge için yıllık ısıtma enerjisi ihtiyacı aşağıdaki formülle bulunur.

$$Q_{yu} = \sum Q_{ay} \quad (10)$$

$$Q_{ay} = [H(\theta_i - \theta_e) - \eta_{ay}(\varphi_{i,ay} + \varphi_{g,ay})] \cdot t \quad (11)$$

Bu formülde;

$Q_{yıl}$: Yıllık ısıtma enerjisi ihtiyacı (Joule),

Q_{ay} : Aylık ısıtma enerjisi ihtiyacı (Joule),

H : Binanın özgül ısı kaybı (W/K),

θ_i : Aylık ortalama iç ortam sıcaklığı ($^{\circ}\text{C}$, K),

θ_e : Aylık ortalama dış ortam sıcaklığı ($^{\circ}\text{C}$, K),

η_{ay} : Kazançlar için aylık ortalama kullanım faktörü (-),

$\varphi_{i,ay}$: Aylık ortalama iç kazançlar(sabit alınabilir) (W),

$\varphi_{g,ay}$: Aylık ortalama güneş enerjisi kazancı (W),

t : Zaman (bir ay = 86400×30) (sn).

Not: (11) no' lu formülde köşeli parantez içindeki ifadenin pozitif olduğu aylar için toplama yapılacaktır. Negatif olan aylar dikkate alınmaz.

Binanın Özgül Isı Kaybının Hesabı (H):

Binanın özgül ısı kaybı (H), iletim yoluyla gerçekleşen ısı kaybı (H_T) ve havalandırma yoluyla gerçekleşen ısı kaybının (H_v) toplanması ile bulunur.

$$H = (H_T + H_v) \quad (12)$$

İletim yoluyla Gerçekleşen Isı Kaybının Hesabı:

İletim yoluyla gerçekleşen ısı kaybı (13) numaralı formülle hesaplanır. Bu formülde yapı elemanlarının bünyesinden iletilen ısı kaybına, varsa ısı köprülerinden iletilen ısı kaybı eklenir. Isı köprüsü, bitişik yüzeye göre kompozisyonu değişik, ısı kaybı binanın ortalama ısı kaybından daha yüksek ve kışın kararlı durum için iç yüzey sıcaklığının, daha düşük olduğu bölümdür.

$$H_T = \sum A U + \ell \cdot U_\ell \quad (13)$$

A : Yapı elemanın alanı (m^2),

U : Yapı elemanın ısıl geçirgenliği (W/m^2K),

ℓ : Isı köprüsünün uzunluğu (m),

U_ℓ : Isı köprüsünün doğrusal ısıl geçirgenliği (W/mK).

Isı köprüsünün doğrusal ısıl geçirgenliği (U_ℓ), ısı köprüsünün U değerinin ısı köprüsünün genişliği ile çarpımına ξ faktörünün eklenmesiyle (14) nolu eşitlikteki gibi hesaplanır (Cihan 2004). Dilmaç ve Kesen (2003) yapılan çalışmada U değerinin Q_{yil} üzeindeki etkisi görülebilir. (13) ve (14) nolu eşitliklerde görüldüğü üzere, ısı köprüsü ile ilgili hesaplamlarda yüzeye dik doğrultudaki bir boyutlu ısı iletimine ilave olarak yanal kayıplar da dikkate alınmaktadır.

$$U_\ell = b \cdot U_{IK} + \xi \quad (14)$$

b : Isı köprüsünün genişliği (m),

U_{IK} : Isı köprüsünün U - değeri (W/m^2K),

ξ : Isı köprüsüne bağlı bir faktör (W/mK).

$$\sum AU = A_D \cdot U_D + A_P \cdot U_P + U_k \cdot A_k + 0,8 \cdot A_T \cdot U_T + 0,5 \cdot A_t \cdot U_t + A_d \cdot U_d + 0,5 \cdot A_{dsic} \cdot U_{dsic} \quad (15)$$

Burada;

U_D : Dış duvarın ısıl geçirgenlik katsayısı (W/m^2K),

A_D : Dış duvar alanı (m^2),

U_p : Pencerenin ıslı geçirgenlik katsayısı ($\text{W}/\text{m}^2\text{K}$),

A_p : Pencere alanı (m^2),

U_T : Tavanın ıslı geçirgenlik katsayısı ($\text{W}/\text{m}^2\text{K}$),

A_T : Tavanın alanı (m^2),

U_k : Dış kapının ıslı geçirgenlik katsayısı ($\text{W}/\text{m}^2\text{K}$)

A_k : Dış kapının alanı (m^2)

U_t : Zemine oturan tabanın ıslı geçirgenlik katsayısı ($\text{W}/\text{m}^2\text{K}$),

A_t : Zemine oturan tabanın alanı (m^2),

U_d : Dış hava ile temas eden duvarın ıslı geçirgenlik katsayısı ($\text{W}/\text{m}^2\text{K}$),

A_d : Dış hava ile temas eden duvarın alanı (m^2),

U_{dsic} : Düşük sıcaklıktaki hava ile temas eden yapı elemanlarının ıslı geçirgenlik katsayısı ($\text{W}/\text{m}^2\text{K}$),

A_{dsic} : Düşük sıcaklıktaki hava ile temas eden yapı elemanlarının alanı (m^2).

Not: Çatı döşemesi doğrudan dış hava ile temas ediyorsa formülde yer alan 0,8 katsayısı 1 olarak alınır.

Havalandırma Yoluyla Gerçekleşen Isı Kaybının Hesabı:

Havalandırma yoluyla gerçekleşen ısı kaybı şu şekilde hesaplanır:

$$H_h = \rho \cdot c \cdot V' = \rho \cdot c \cdot n_h \cdot V_h = 0.33 \cdot n_h \cdot V_h \quad (16)$$

Burada;

ρ : Havanın birim hacim kütlesi (kg/m^3),

c : Havanın özgül ısısı (J/kgK),

V' : Hacimsel hava değişimi debisi (m^3/h),

n_h : Hava değişim sayısı (h^{-1}),

V_h : Havalandırılan hacim ($V_h=0,8 \times V_{brüt}$) (m^3).

“ ρ ” ve “ c ” sıcaklık ve basınçla bağlı olarak az da olsa değişir, fakat aşağıdaki denklemde bu durum ihmal edilmiştir. Alınan değerler 20°C ve 100 kPa içindir. Giren ve çıkan hava arasındaki entalpi artışı ihmal edilmiştir. 0,33 katsayısının hesabında kullanılan eşitlik yukarıda verilmiştir.

Aylık Ortalama İç Kazançların Hesabı ($\phi_{i,ay}$):

İç kazançlar aşağıdaki verileri kapsar:

- İnsanlardan kaynaklanan metabolik ısı kazançları
- Sıcak su sisteminden kaynaklanan ısı kazançları
- Yemek pişirme işleminden kaynaklanan ısı kazançları
- Aydınlatma sisteminden kaynaklanan ısı kazançları
- Binalarda kullanılan muhtelif elektrikli cihazlardan kaynaklanan ısı kazançları

Ortalama değerler ile çalışılması halinde, aydınlatma dışındaki değerler yıl boyunca sabit kabul edilir. TS 825 te aydınlatmadan kaynaklanan kazançlar da sabit kabul edilmiştir. Bu değer;

$$\text{Konutlarda : } \phi_{i,ay} \leq 5 \times A_n \text{ (W)} \quad (17)$$

$$\text{Ticari Binalarda : } \phi_{i,ay} \leq 10 \times A_n \text{ (W)} \quad (18)$$

Aylık Ortalama Güneş Enerjisi Kazançları ($\phi_{s,ay}$):

Bu madde pencerelerden direk güneş ışınımını tarif etmektedir. Aylık ortalama güneş enerjisi kazancı aşağıdaki şekilde hesaplanır:

$$\Phi_{s,ay} = \sum r_{i,ay} \times g_{i,ay} \times I_{i,ay} \times A_i \quad (19)$$

Burada;

$r_{i,ay}$: i yönünde saydam yüzeylerin aylık ortalama gölgelenme faktörü (-),

$g_{i,ay}$: i yönündeki saydam elemanların güneş enerjisi geçirme faktörü (-),

$I_{i,ay}$: i yönündeki dik yüzeylere gelen aylık ortalama güneş ışınım şiddeti (W/m^2),

A_i : i yönündeki toplam pencere alanı (m^2).

“i” yönüne bakan saydam elemanların aylık ortalama güneş enerjisi geçirme faktörü ($g_{i,ay}$), laboratuar şartlarında ölçülen ve yüzeye dik gelen ışınlar için güneş enerjisi geçirme faktörü (g_{\perp})’nın %80’i alınarak hesaplanır:

$$g_{i,ay} = 0.80 \cdot g_{\perp} \quad (20)$$

Standard, “r” ve “g” değerlerinin aylar arasında veya yönler arasında değiŞebileceğini kabul etmiştir. Ancak gerçek şartlara uygun olduğunda, sabit alınmasında da bir mahzur yoktur. Bu değerler için üçer farklı durum tanımlanmıştır. “ $r_{i,ay}$ ”, ayrik (müstakil) ve az katlı (3 kata kadar) binaların bulunduğu yerleşim bölgeleri için 0.8, ağaçlardan kaynaklanan gölgelenmeye maruz kalan yerleşim bölgelerinde 0.6, bitişik nizam ve/veya çok katlı binaların bulunduğu yerleşim bölgeleri için 0.5 olarak verilmektedir. “ g_{\perp} ” ise, tek cam için 0.85, çok katlı cam (berrak) için 0.75, ıslı geçirgenlik değeri $2 \text{ W/m}^2\text{K}$ olan ısı yalıtılmış birimleri için 0.50 olarak verilmektedir.

Kazanç Kullanım Faktörü (η_{ay}):

İç kazançlar ve güneş enerjisi kazançlarının toplamının, ısıtma enerjisi ihtiyacının azaltması açısından faydalı enerji olarak kabul edilmesi her zaman uygun olmaz. Çünkü ısı kazançlarının yüksek olduğu sürelerde, kazançlar anlık kayiplardan fazla olabilir veya kazançlar ısıtmanın gerekmeyeceği zamanlarda gelebilir. Bu nedenle iç kazançlar belirli bir yararlanma faktörü ile azaltılır. Bu faktörün büyülüğu, kazançların ve kayıpların bağıl büyülüğüne ve binanın ıslı kütlesine bağlıdır. Aylık ortalama kazanç faktörü aşağıdaki gibi hesaplanır:

Aylık ortalama kazanç kullanım faktörü, aşağıda verildiği gibi hesaplanmalıdır:

$$\eta_{ay} = 1 - e^{(-1/KKO_{ay})} \quad (21)$$

Burada;

KKO_{ay} , Kazanç / Kayıp oranı olup, aşağıda verildiği gibi hesaplanmalıdır.

$$KKO_{ay} = (\phi_{i,ay} + \phi_{s,ay}) / H(\square_{i,ay} - \square_{e,ay}) \quad (22)$$

$\theta_{i,ay}$: Aylık ortalama iç ortam sıcaklığı ($^{\circ}\text{C}$),

$\theta_{e,ay}$: Aylık ortalama dış ortam sıcaklığı ($^{\circ}\text{C}$).

Birden Fazla Bölge İçin Yıllık Isıtma Enerjisinin Hesaplanması:

Binadaki birimler içerisinde sıcaklık farkı $4 \text{ } ^{\circ}\text{C}$ den büyük ortamlar ise, farklı ısıtma bölgelerinin sınırları belirlenmeli ve hesaplar aşağıdaki verilenlerden birine göre yapılmalıdır.

- İç sıcaklık θ_i , binadaki ortalama sıcaklık olarak alınmalı ve tek bölgeli hesap metodu uygulanmalıdır.
- Ortalama sıcaklık hesabında tavan yüksekliği 3 m ve altında ise döşeme alanı ağırlıklı, 3 m ’den yukarı ise hacim ağırlıklı ortalama değer kullanılmalıdır.

- Tek bölgeli hesap metodu, farklı sıcaklıklı her bölge için ayrı ayrı uygulanmalı ve her bölgedeki ısıtma enerjisi ihtiyacı toplanmalıdır (Anonim 2008).

4. HESAPLAMALAR VE QUICKFIELD 5.1 PROGRAMI

Betonarme binalarda kolon, kiriş ve dösemeler etkin şekilde ısı köprüleri oluşturmaktadır. Kolon-duvar birleşimlerinde meydana gelen fazladan ısı kayıplarının TS 825'de açıklanan H büyülüüğünde ne şekilde hesaplara dahil edileceği TS EN 10211-1'de açıklanmıştır. Ancak döseme ve kirişlerle duvarların oluşturduğu ısı köprülerinde meydana gelen fazladan ısı kayıplarının ne şekilde hesaplara katılacağı tanımlı değildir. Daha önce yapılan çalışmalarda, kiriş ve dösemelerin bina içindeki konumunun sonuçları önemli derecede etkilediği tespit edilmiştir. Bu sebeplerle kiriş ve dösemelerin teras kat ve ara katlar için ayrı ayrı değerlendirilmesi gereklidir. Bu çalışmada teras katlar incelenmiştir. Isı köprülerinin ısıl davranışını etkileyen diğer parametreler aşağıda belirtilmiştir (Dilmaç ve ark. 2004);

- Isı iletkenlikleri
 - Isı köprülerinin
 - Duvarın
 - Isı yalıtım malzemesinin
 - Kalınlıklar
 - Duvarın
 - Isı yalıtım malzemesinin
 - Isı köprüsünün
 - Döşemenin
- ve

Farklı yalıtım kesitlerine göre U_{ℓ} , U_{IK} ve ξ değerlerinin malzeme özelliklerinin değişimine göre incelenmesi yapılmış;

- a) Betonun ısı iletkenliğinin ve duvarın ısı iletkenliğinin sabit olması durumunda yalıtım ısıl iletkenliğinin değişimi
- b) Betonun ısı iletkenliğinin ve yalıtım ısı iletkenliğinin sabit olması durumunda duvar ısıl iletkenliğinin değişimi
- c) Duvar ısıl iletkenliğinin ve yalıtım ısıl iletkenliğinin sabit olması durumunda beton ısıl iletkenliğinin değişimleri incelenmiştir. Tablolar haline getirilerek karşılaştırmaları yapılmıştır.

Daha sonra bu sonuçlardan faydalananarak, U_{ℓ} değerinin hesaplanması sırasında U_{IK} değerinin hesaplanması ve ξ' nin belirlenmesi ile ilgili hesaplamalar yapılmıştır. Sıcaklık ve ısı akılarının belirlenmesi için sonlu elemanlar metodunu kullanan QuickField 5.1 paket programından faydalanyılmıştır.

4.1. QuickField 5.1 Programına Veri Girişi

İlk olarak yalıtmın ve ısı köprülerinin bulunduğu kesitler programa ölçekli olarak grafik şeklinde girilmiştir. Kesit elemanlarının ısı iletimi değerleri, dış ortam ve iç ortam sıcaklıklarını belirtmiş, eksenler ise $q_n = 0$ seçeneğiyle tanımlanmıştır.

Program iki boyutlu ısı iletimi çizimi yapmaktadır. Sonuç grafiklerde ısı akısı doğrultuları ve eş sıcaklık eğrileri belirtilmektedir. Kesitte istenilen çizgi veya kapalı alan için, sıcaklık ve ısı akısı ile ilgili büyüklükleri belirlemek mümkündür. Programdan elde edilen tablo değerleri Excel programına aktarılarak istenilen grafiklerin çizilmesi mümkün olmaktadır.

QuickField 5.1 programı ısı iletimi ile ilgili olarak aşağıdaki formülleri kullanmaktadır;

Düzlemsel halde lineer problemler için ısı-iletimi denklemi:

$$\frac{\partial}{\partial x} \left(\lambda_x \frac{\partial T}{\partial x} \right) + \frac{\partial}{\partial y} \left(\lambda_y \frac{\partial T}{\partial y} \right) = -q - c\rho \frac{\partial T}{\partial t} \quad (23)$$

Düzlemsel halde lineer olmayan problemler için ısı-iletimi denklemi:

$$\frac{\partial}{\partial x} \left(\lambda(T) \frac{\partial T}{\partial x} \right) + \frac{\partial}{\partial y} \left(\lambda(T) \frac{\partial T}{\partial y} \right) = -q(T) - c(T)\rho \frac{\partial T}{\partial t} \quad (24)$$

T- sıcaklık ,

t- zaman ,

λ_x - katmanların ısıl iletkenliği,

$\lambda(T)$ - sıcaklık değerinin bir fonksiyonu olan ısıl iletkenliği,

$q(T)$ - ısı kaynaklarının güç değeri,

$c(T)$ - belirli ısı, özgül ısı,

ρ - malzemenin yoğunluğu.

Lineer hallerde, modelin her bloğu için parametrelerin hepsi değişmezdir.

Bölgelin dahili ve harici sınırları aşağıdaki sınır durumlarıyla belirtilir.

Bilinen sıcaklık durumu, modelin köşesindeki veya kenarındaki bilinen bir T_0 sıcaklık değeri belirtilir. Bu çalışmada kullanılmamıştır.

İsı akısı sınır durumu, aşağıdaki denklemlerle tanımlanır:

$$F_n = -q_s \quad \text{- dışa doğru sınırlarda,}$$

$$F_n^+ - F_n^- = -q_s \quad \text{- içe doğru durumlarda,}$$

Burada F_n ısı akısı yoğunluğunun normal doğrultudaki değeridir “+” ve “-” değerleri sınırın sol ve sağ tarafındaki miktarları belirtir.

İncelenen kesitlerde, kesitin gerçekte devam ettiği çizgi boyunca $q_n=0$ olarak kullanılmıştır.

Konveksiyon sınır durumu, konvektif ısı iletimini tanımlar ve aşağıdaki denklemle açıklanır:

$$F_n = \alpha(T - T_0) \quad (25)$$

Burada α değeri yüzeysel iletim değeri ve T_0 temas halindeki akışkan ortamın sıcaklığıdır.

Bu çalışmada iç ve dış ortamlarla ilgili olarak bu şart kullanılmıştır.

Radyasyon sınır durumu, radyasyon ısı iletimini açıklar ve aşağıdaki denklemle tanımlanır:

$$F_n = k_{SB} \beta (T^4 - T_0^4), \quad (26)$$

Burada k_{SB} değeri Stephan-Boltsman sabitidir, β bir yayma katsayısı, T_0 ortamın radyan sıcaklığıdır. Bu çalışmada kullanılmamıştır.

4.2. Kesitlerin Tanıtımı ve Değiştirilen Malzeme Özellikleri

Bu çalışmada teras kat dösemelerinde farklı yalıtm durumlarının uygulandığı dokuz ana kesit üzerinde (Şekil 4.1-4.2...4.18), duvarın ve ısı köprüsünün ısı iletkenliklerinde yapılan değişimler sonucu meydana gelen ısı akısı ve sıcaklık alanları iki boyutta hesaplanmıştır.

Hesaplamalar TS 825'in belirlediği dört farklı derece gün bölgesindeki iklim verilerine göre yapılmış, ancak hesaplamaların derece gün bölgeleri ile değişmediği görülmüştür. Malzemelerin ısı iletkenlik değerlerinin değişimi yapılarak karşılaştırmalar yapılmıştır.

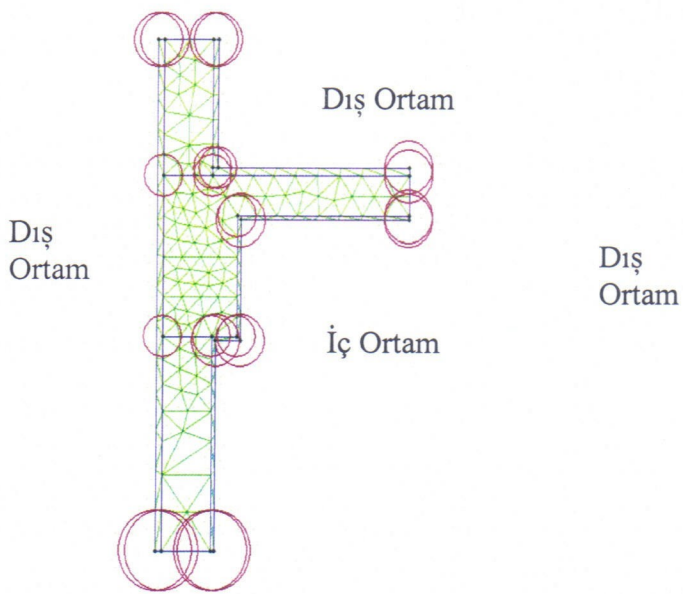
Aşağıda incelenen kesitlerle ilgili olarak kapsamlı açıklamalar yer almaktadır.

Kesitlerin Tanıtımı:

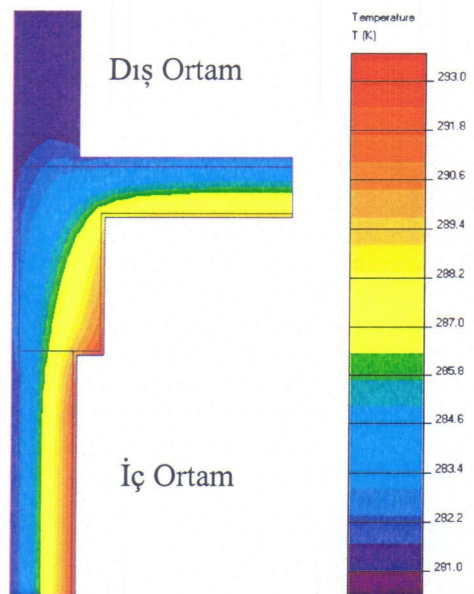
Betonarme döşeme ve kiriş ile dış duvardan oluşan kesitlerde, kiriş iç yüzünden itibaren döşemenin uzunluğu 70 cm, kiriş alt yüzeyinden itibaren duvarın uzunluğu 80 cm, kiriş üst yüzeyinden itibaren duvarın uzunluğu 50 cm'dir. Kiriş kalınlığı 30 cm, duvar kalınlığı 20 cm, döşeme kalınlığı 15 cm, kiriş ve döşeme toplam yüksekliği 60 cm dir.

Kesitler, farklı ısı iletkenlik değerlerine ($\lambda_{yalitim} = 0,03 \text{ W/mK}$, $\lambda_{yalitim} = 0,04, \text{ W/mK}$, $\lambda_{yalitim} = 0,05 \text{ W/mK}$, $\lambda_{beton} = 2,1 \text{ W/mK}$, $\lambda_{beton} = 1,5 \text{ W/mK}$, $\lambda_{beton} = 1,2 \text{ W/mK}$, $\lambda_{beton} = 0,9 \text{ W/mK}$, $\lambda_{duvar} = 0,45 \text{ W/mK}$, $\lambda_{duvar} = 0,30 \text{ W/mK}$, $\lambda_{duvar} = 0,15 \text{ W/mK}$) göre incelenmiştir. Kesitlerle ilgili kapsamlı açıklamalar ve iki boyutlu analiz sırasında kullanılan "mesh" (Şekil 4.1-4.3-4.5...4.17) arasında gösterilmiştir ve ısı akısı ve sıcaklık eğrileri $\lambda_{beton} = 2,1 \text{ W/mK}$ ve $\lambda_{duvar} = 0,45 \text{ W/mK}$ malzeme özelliklerine sahip, 1. derece gün bölgesi kesitlerinden elde edilmiştir. Kesitlerin yalıtm durumlarına göre dış siva ve iç siva ısı iletkenlik değerleri hazırlanan Excel çizelgelerinde verilmektedir (Ek1-Ek2....Ek15).

Kesit 11: Yalıtımsız Durum (parapet tuğla)

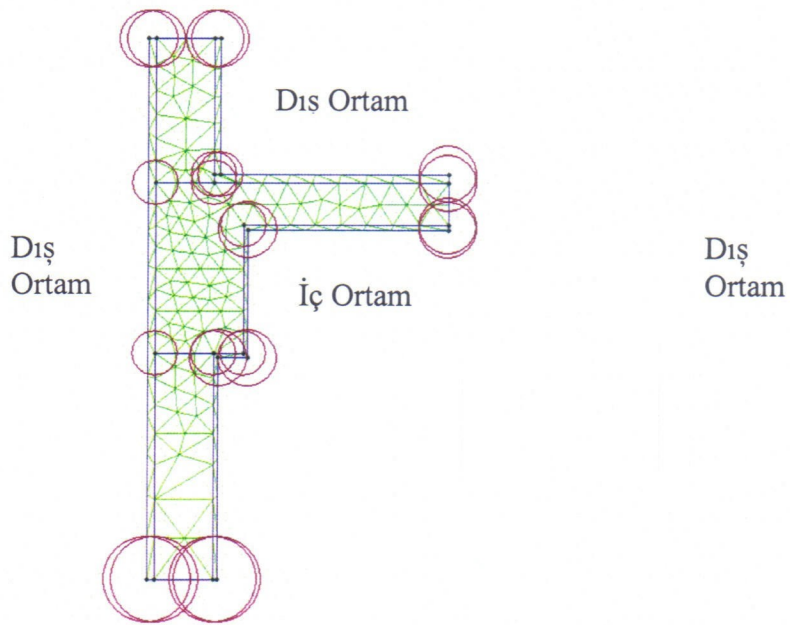


Şekil 4.1.Yalıtımsız durum için
QuickField 5.1'de incelenen "mesh" durumu
(“Node” sayısı 182)

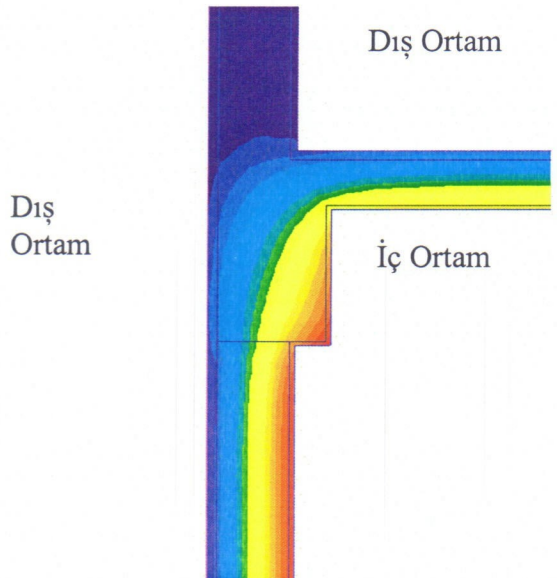


Şekil 4.2.Yalıtımsız durumda sıcaklık dağılımı

Kesit 12: Yalıtımsız Durum (parapet betonarme)

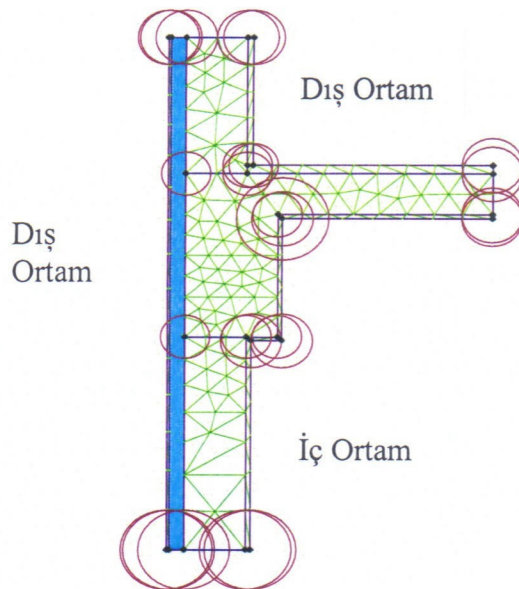


Şekil 4.3.Yalıtımsız durum için
QuickField 5.1'de incelenen "mesh" durumu
(“Node” sayısı 182)

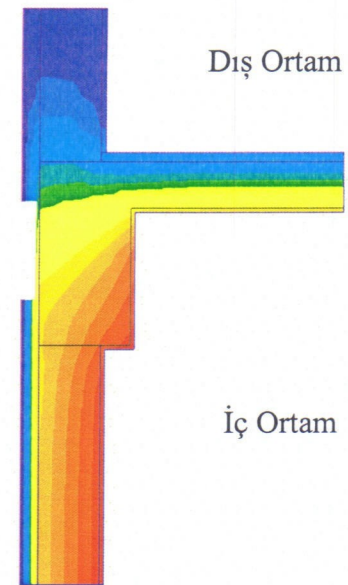


Şekil 4.4.Yalıtımsız durumda sıcaklık dağılımı

Kesit 13: Dışarıdan Yalıtımlı

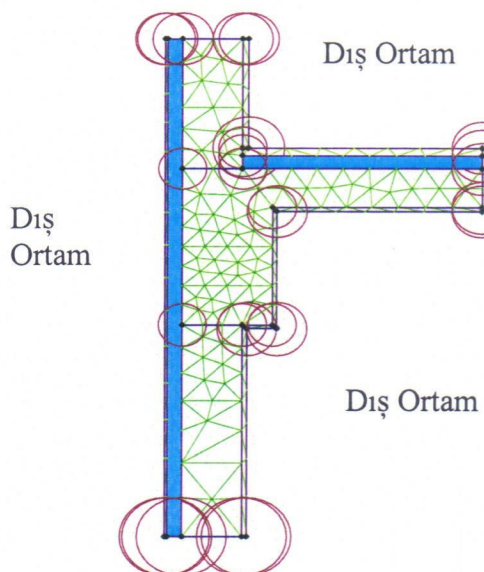


Şekil 4.5. Dışarıdan yalıtımlı durum için QuickField 5.1'de incelenen "mesh" durumu ("Node" sayısı 190)

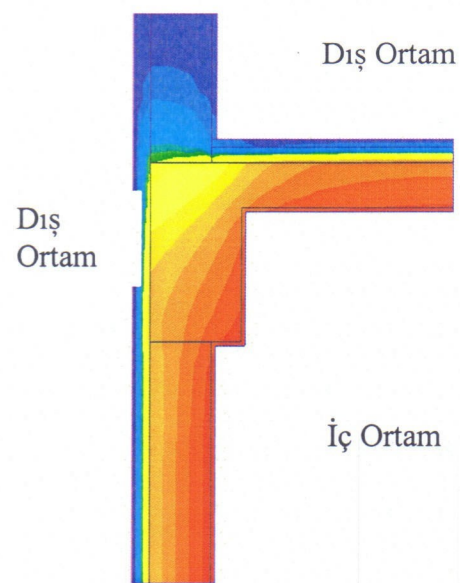


Şekil 4.6. Dışarıdan yalıtım durumunda sıcaklık dağılımı

Kesit 14: Dışarıdan Ve Teras Üstü Yalıtımlı

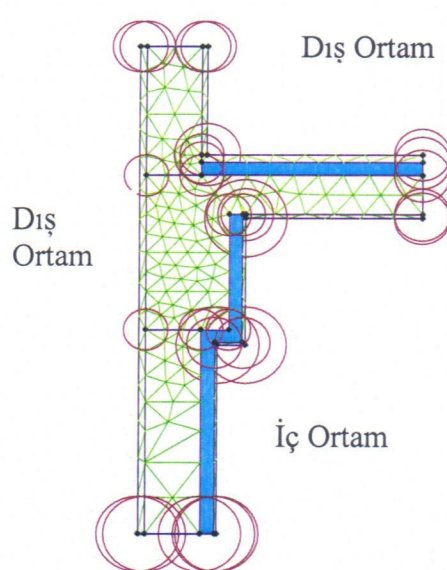


Şekil 4.7. Dışarıdan ve teras üstü yalıtım için QuickField 5.1'de incelenen "mesh" durumu ("Node" sayısı 197)

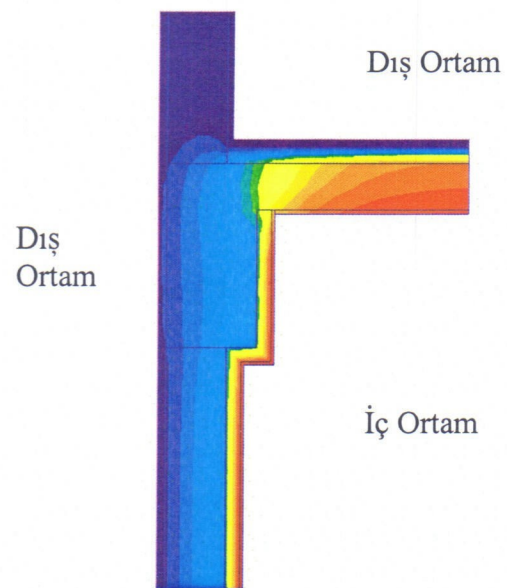


Şekil 4.8. Dışarıdan ve teras üstü yalıtım durumunda sıcaklık dağılımı

Kesit 15: İçerden Ve Teras Üstü Yalıtımlı

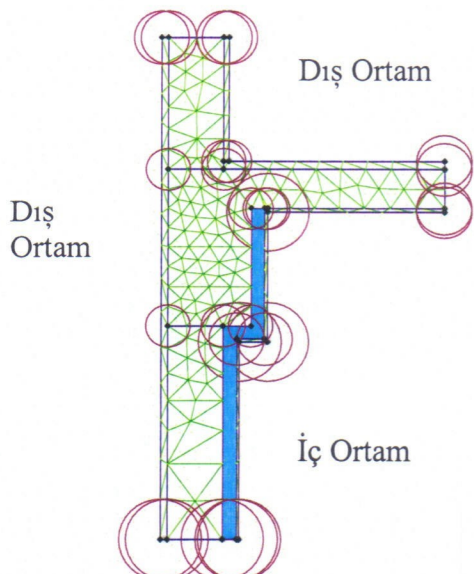


Şekil 4.9 İçerden ve teras üstü yalıtım için QuickField 5.1'de incelenen "mesh" durumu ("Node" sayısı 199)

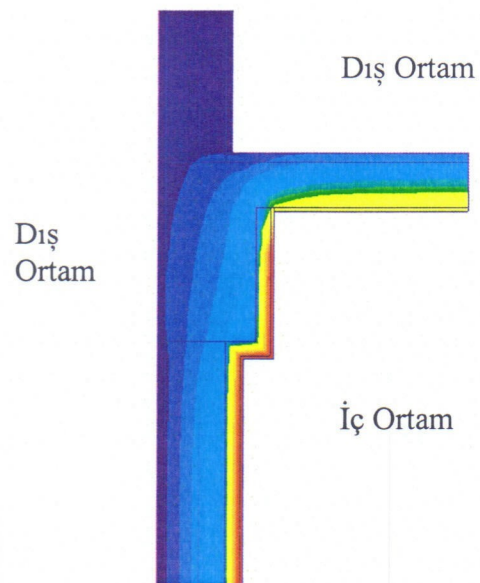


Şekil 4.10. İçerden ve teras üstü yalıtım durumunda sıcaklık dağılımı

Kesit 15-2: İçerden Yalıtım

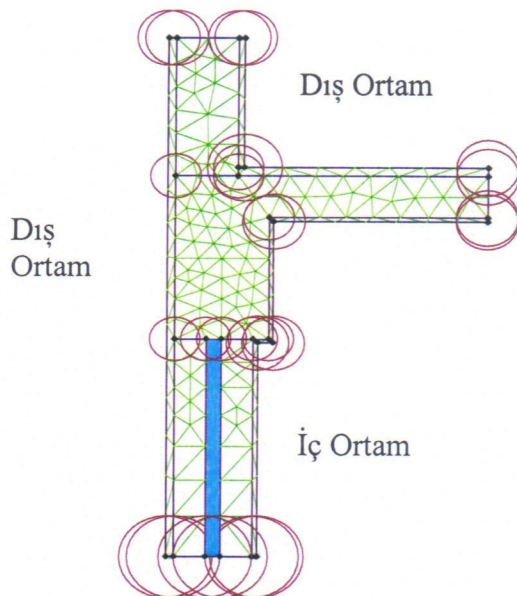


Şekil 4.11.İçerden yalıtım durumu için QuickField 5.1'de incelenen "mesh" durumu ("Node" sayısı 191)

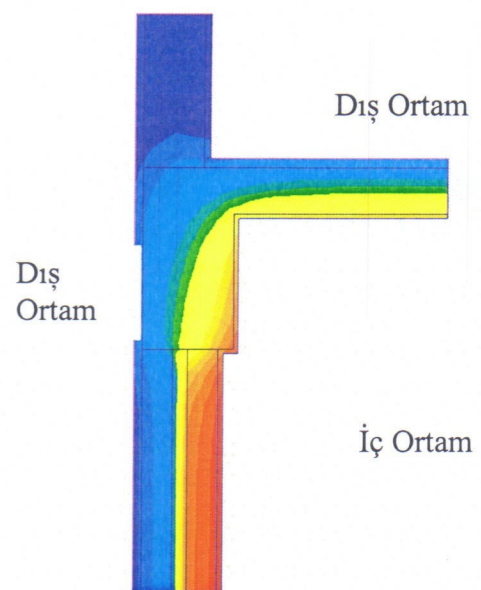


Şekil 4.12.İçerden yalıtım durumunda sıcaklık ve dağılımı

Kesit 16: Çift Duvar Arası Yalıtım

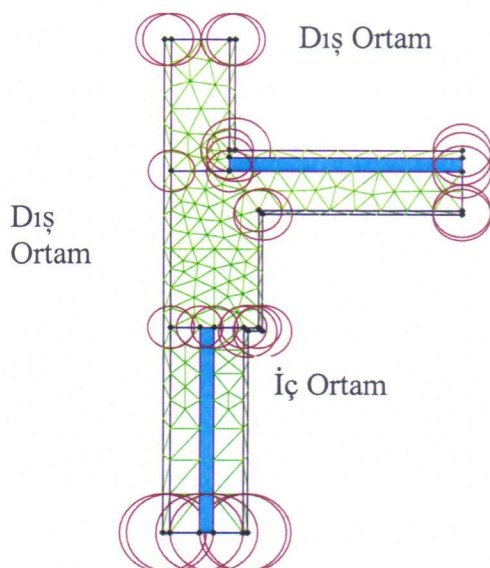


Şekil 4.13. Çift duvar arası yalıtılm için QuickField 5.1'de incelenen "mesh" durumu ("Node" sayısı 190)

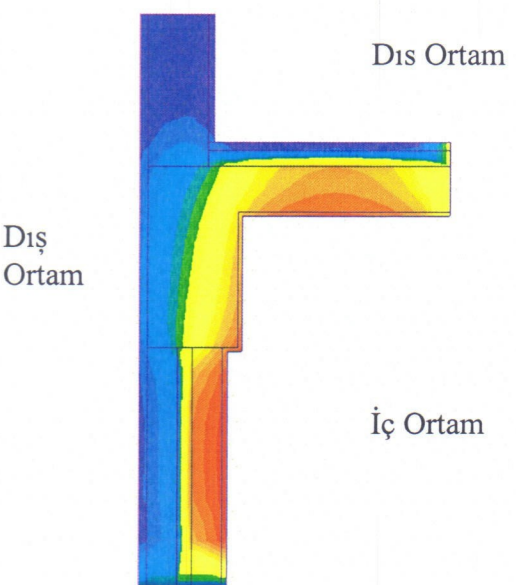


Şekil 4.14. Çift duvar arası yalıtılm durumunda sıcaklık dağılımı

Kesit 16-2: Çift Duvar Arası Ve Teras Yalıtımlı

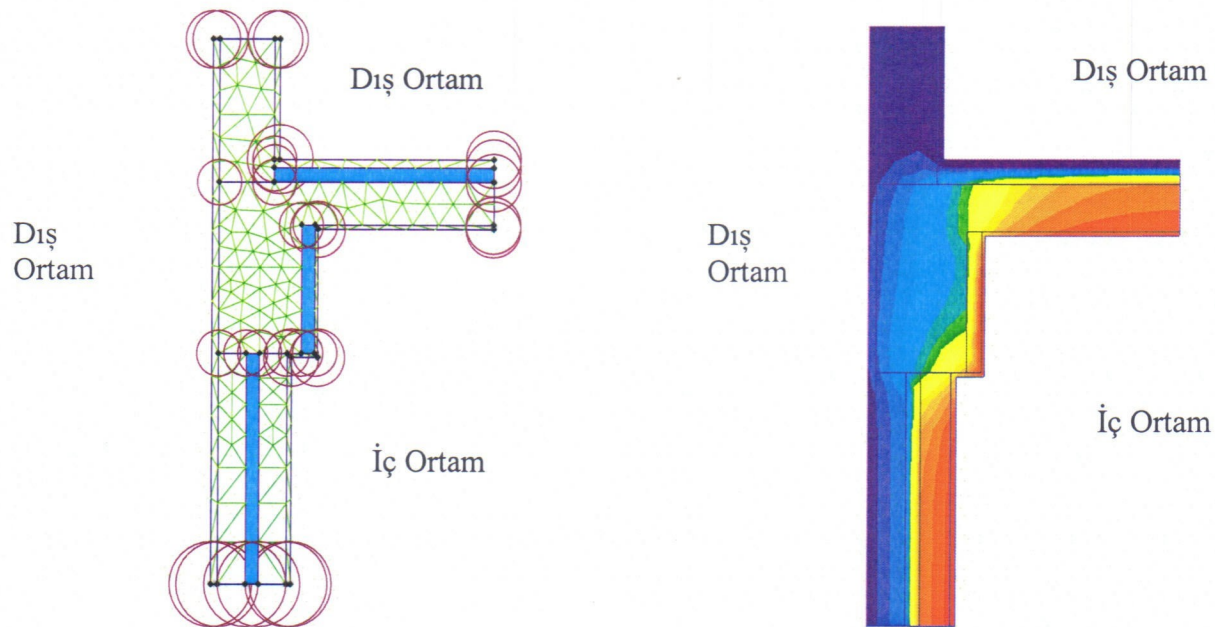


Şekil 4.15. Çift duvar arası ve teras yalıtımlı için QuickField 5.1'de incelenen "mesh" durumu ("Node" sayısı 202)



Şekil 4.16. Çift duvar arası ve teras yalıtımlı durumda sıcaklık dağılımı

Kesit 17: Çift Duvar Arası, Teras Üstü Ve Kiriş İç Yüzü İçerden Yalıtımlı



Şekil 4.17.Çift duvar arası, teras üstü ve kiriş iç yüzü içerdiden yalıtım için QuickField 5.1'de incelenen "mesh" durumu ("Node" sayısı 197)

Şekil 4.18.Çift duvar arası, teras üstü ve kiriş iç yüzü içerdiden yalıtım durumunda sıcaklık dağılımı

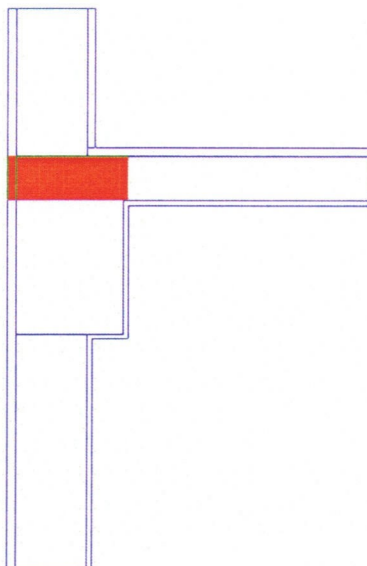
4.3. Teraskat Döşemesinde Quick Field 5.1 Programında Kesitlerin İncelenmesi

Bu bölümde verilen kesitler üzerinde istenilen malzeme özellikleri değiştirilerek sistem QuickField 5.1 programında gerçekleştirilen analiz sonrası, ısı köprüsü bölgesi üç kısımda incelenmek koşuluyla Şekil 4.19, 4.20 ve 4.21'de, her bir bölgede meydana gelen bileşke q_a , yatay q_x , düşey q_y ısı akısı değerleri ile ϕ bileşke ısı akısı açısı, ' $\int ds$ ' bölümüne girilip 'Average volume heat flux density' bölümünden alınmıştır. Bu işlem için ısı köprüsünün incelenen her bir parçasında kapalı konturlar oluşturulmuştur. Bunun için belirlenen sıfır noktasından başlanılarak saat yönünün tersine doğru bir çevrim yapılmış ve tekrar başlangıç noktası olan sıfır noktasına dönülgerek kapalı bir blok kontur elde edilmiştir. İlk bölge için sıfır noktası ilk blok konturun sağ alt köşesi seçilerek çevrim gerçekleştirilmiştir. Üçüncü bölge de aynı işlemler uygulanarak kontur bloğu belirlenmiştir. Isı köprüsünü oluşturan kiriş ve döşeme kısmında iç yüzey ve dış yüzey sıcaklıkları bu yüzeylerde oluşturulan doğrusal konturlar ile hesaplandıktan sonra 'Excel' programına aktarılarak ortalama iç ve dış yüzey sıcaklıklarını hesaplanmıştır.

Aşağıda genel bir örnek olarak, malzeme özellikleri verilen kesitte QuickField 5.1 programına göre kesit incelemesi yapılmış ve elde edilen q_a , q_x , q_y ve ϕ değerleri gösterilmiştir.

11. Kesit (Sıvalı) Yalıtımsız Durumda : $\lambda_{\text{beton}} = 2,1 \text{ W/mK}$, $\lambda_{\text{duvar}} = 0,45 \text{ W/mK}$
 $\lambda_{ds} = 0.87 \text{ W/mK}$, $\lambda_{is} = 0.87 \text{ W/mK}$

Girilen Kontur Koordinatları



X= 11,5	X=-22,5	X=-22,5	X= 11,5	X=11,5
Y= 0	Y= 0	Y=-15	Y= -15	Y= 0

q_a , q_x , q_y ve ϕ Değerleri

$$q_a = 22,882 \text{ w/m}^2$$

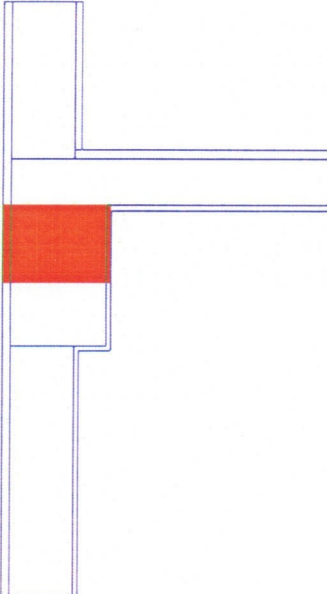
$$q_{ax} = -14,828 \text{ w/m}^2$$

$$q_{ay} = 17,427 \text{ w/m}^2$$

$$\phi = 130,39^\circ$$

Şekil 4.19. QuickField 5.1 programında kontur oluşturulması.

Girilen Kontur Koordinatları



X= 11,5	X= -22,5	X=-22,5	X= 11,5	X=11,5
Y=-15	Y= -15	Y=-40	Y= -40	Y= -15

q_a , q_x , q_y ve φ Değerleri

$$q_a = 31,861 \text{ w/m}^2$$

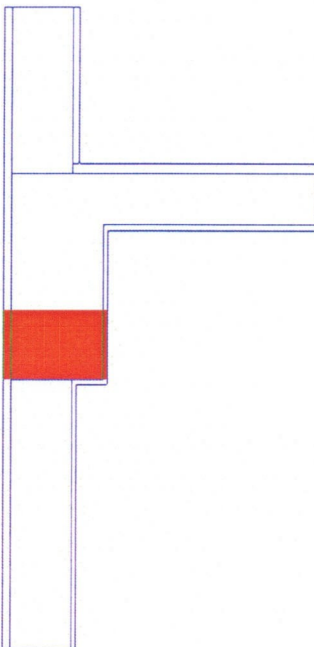
$$q_{ax} = -29,356 \text{ w/m}^2$$

$$q_{ay} = 12,384 \text{ w/m}^2$$

$$\varphi = 157,13^\circ$$

Şekil 4.20. QuickField 5.1 programında kontur oluşturulması.

Girilen Kontur Koordinatları



X= 11,5	X= -22,5	X=-22,5	X= 11,5	X=11,5
Y=-40	Y= -40	Y=-60	Y= -60	Y= -40

q_a , q_x , q_y ve φ Değerleri

$$q_a = 38,496 \text{ w/m}^2$$

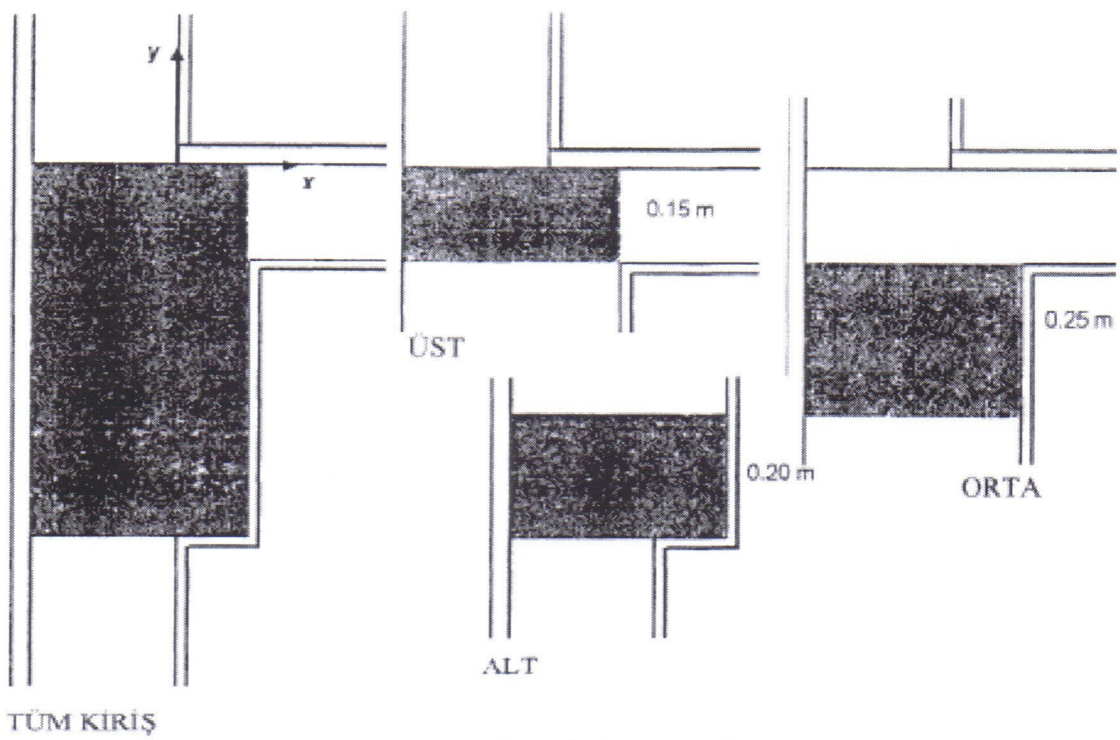
$$q_{ax} = -37,405 \text{ w/m}^2$$

$$q_{ay} = 9,1005 \text{ w/m}^2$$

$$\varphi = 166,33^\circ$$

Şekil 4.21. QuickField 5.1 programında kontur oluşturulması.

Bu incelemelerden sonra, her kesit için iç yüzey ve dış yüzey sıcaklıkları (T_{iy} , T_{dy}) aynı analiz için çizilen konturlardan tablo halinde elde edilmektedir. Tablo değerleri Excel sayfasına taşınarak ortalamaları hesaplanmaktadır. Şekil 4.19, 4.20 ve 4.21' de görülen kesit için hesaplanan yüzey sıcaklıkları aşağıda örnek olarak belirtilmiştir: $T_{dy}=9 \text{ }^\circ\text{C}$, $T_{iy}= 15.5 \text{ }^\circ\text{C}$



Şekil 4.22. Tüm kiriş kesitinde ve farklı dilimlerde hesaplanan ısı akısı detay gösterimi (Dilmaç ve ark. 2004).

5. HESAP SONUÇLARI VE DEĞERLENDİRİLMESİ

Binaların ısıtma amaçlı enerji ihtiyacını sınırlayan ve kullanılacak hesap metodunu açıklayan TS 825'de, ısı köprülerinin dikkate alınması için lineer ıslı iletkenliği (U_f) tanımlanmaktadır. U_f değerlerinin hesaplanması için ise, TS EN 10211-1'de tanımlanan metodun kullanılması istenmiştir. Fakat TS EN 10211-1 sadece kolon-duvar birleşimleri için U_f değerinin hesap metodunu belirlemektedir; U_f değerinin döşeme duvar birleşimleri için nasıl hesaplanacağı tanımlı değildir.

TÜBİTAK-İÇTAG (2005) tarafından desteklenen "Dösemelerde Yanal Isı Kayıplarının Hesaplanması İçin Parametrelerin Belirlenmesi" başlıklı proje kapsamında, döşeme-kiriş-duvar birleşimlerinde ısı kaybı ve sıcaklık alanının belirlenmesi ve bu birleşimlerde TS 825'de tanımlanan U_f değeri için gerekli parametreler belirlenmiştir. QuickField 5.1 programında incelenen kesitlere ait grafiklerde q_x simbolü ile yatay doğrultuda oluşan ısı akıları gösterilmektedir. q_x değerinin (-) işaretli olması ısı kaybının sağdan sola olduğunu belirtmektedir. Yatay q_x bileşeni kesitlerde içeren dışarıya doğru olduğundan bütün kesitlerde yatay bileşenin değeri (-) dir. Düşey q_y bileşeni ise, yukarıda aşağıya doğru ise (-), aşağıdan yukarıya doğru ise (+) olarak gösterilmiştir. QuickField 5.1 programında teras kat dösemelerinde incelenen 9 farklı kesitte, ısı köprüsünün üç ayrı bölgede incelenmesi sonucunda elde edilen q_x , q_y bileşenleri, iç yüzey ve dış yüzey ortalama sıcaklıklarını Excel tablolarına aktararak incelemeler yapılmıştır.

Malzeme özellikleri değiştirilerek, bu değişimlerin ısı köprüleri üzerindeki etkileri ısı köprüsü boyunca meydana gelen yanal ve düşey kayıplar göz önünde bulundurularak iki boyutlu ısı kayıpları hesaplanmıştır.

Hazırlanan Excel tablolarında R_i ve R_e , ısı köprüsü kalınlığı ve ıslı iletkenliği, iç ve dış sıva kalınlıklarıyla ıslı iletkenlik değerleri ve yalıtm malzemesinin kullanıldığı durumlarda yalıtm malzemesi kalınlığı ve ıslı iletkenliği kullanılmıştır. QuickField 5.1 programından elde edilen değerler tablolara aktarılarka ΔT "iç ve dış yüzeyler arasındaki sıcaklık farkı", yatay doğrultuda ıslı geçirgenlik değeri U_{IK} , düşey doğrultuda ıslı geçirgenlik değeri ve buna bağlı olarak ξ

değerleri hesaplanarak ısı köprülerinde meydana gelen ısı kayıpları iki boyutlu olarak hesaplanmıştır.

Isı köprüsünü oluşturan elemanlarda malzeme özelliklerindeki değişim sonucunda da ısıl iletkenlik değerlerindeki artışın ΔT üzerindeki etkileri Eklerdeki çizelgelerde görülmektedir.

Yatay ve düşey ısı akılarındaki değişim üzerinde yalıtımın şeclinin, ısı köprüsünü oluşturan elemanların ısıl iletkenliklerinin etkisi görülmektedir. Isı köprüsünü oluşturan elemanlarda ısıl iletkenliğin azaltılması sonucunda aynı yalıtım uygulamalarında, yatayda bileşke ısı akısı ve düşeyde toplam ısı akısı değerlerinde, dolayısıyla ısı enerjisi kayıplarında azalmalar gözlenirken, duvar elemanlarında ısıl iletkenlik değerlerinin azaltılıp ısı köprüsünü oluşturan elemanlarda sabit tutulması sonucunda ısı köprülerinde oluşan ısı akısı değerlerinde küçük artışlar gözlenmektedir. Bunun nedeni olarak ısı kayıplarının belli bir değerin altına düşürmek mümkün olmadığından diğer elemanların ısıl iletkenliklerindeki azalmaların, ısı köprüsüyle bu elemanın birleşim noktalarında daha fazla zorlanmalara yol açarak ısı köprüsünde mevcut kayıpların artmasına neden olmasıdır.

Isı köprüsünde oluşan toplam kayıplar iki boyutlu olarak ele alınmalıdır. Yanal kayıplara ilave olarak bu bölgelerde mevcut düşey ısı akısı kayıplarının değeri ihmali edilemeyecek boyutlara ulaşabilir. TS 825' de belirtilen formülasyonda:

$$U_{\ell} = b \cdot U_{IK} + \xi \quad \text{şeklinde hesaplanır.}$$

Isı köprüsünün doğrusal geçirgenliği U_{ℓ} , "x" ekseni doğrultusundaki kayıplara bağlı olarak hesaplanan U_{IK} 'nin ısı köprüsü genişliğiyle çarpımı, "y" ekseni doğrultusundaki kayıplara bağlı olarak hesaplanan ξ 'nin eklenmesi sonucu bulunmuştur. U_{IK} hesaplanırken:

$$U_{IK} = \frac{1}{\frac{1}{R_i} + \frac{1}{R_e} + \frac{\sum d}{\sum \lambda}} \quad \text{formülü kullanılmıştır.}$$

Döseme plâğı ve kırışlarından oluşan ısı köprülerinde U_{IK} 'nın hesaplanması sırasında döseme plâğının kalınlığının hangi değer alınacağı sorun oluşturmaktadır. Hesapların basitleştirilmesi için döseme plâğının kırış kalınlığında kesildiği farz edilmiştir. Ancak döseme plâğının içeri doğru uzaması sebebiyle meydana gelen fazladan ısı kayıplarının U_{IK} hesabında dikkate

alınması gerekmektedir. Bu sebeple gerçek durumdaki ısı iletimini ifade etmek için, kiriş kalınlığına indirgenen kesitin ısıl direncinin fazladan ısı kayıplarını dengeleyecek şekilde azaltılması (tek boyutlu ısı iletimi şartları için kullanılan klasik U_{IK} bağıntısında yalıtım kalınlığının azaltılması) gerekmektedir. Bunun için QuickField 5.1 programının iki boyutlu analizi sonucu her dilim için belirlenen q_x değerleri aşağıdaki denklem kullanılarak ısı köprüsü için ortalama bir q_x elde edilmiştir.

$$q_x = \frac{0.15 * q_{x\text{üst}} + 0.25 * q_{x\text{orta}} + 0.20 * q_{x\text{alt}}}{0.60} \quad (27)$$

q_x 'in aşağıdaki bağıntıyı sağlayacağı bilinen bir durumdur:

$$q_x = 1/R * (T_{iy} - T_{dy}) \quad (28)$$

QuickField 5.1 programında her kesit için iç yüzey ve dış yüzey sıcaklıklarını (T_{iy} , T_{dy}) aynı analiz için çizilen konturlardan tablo halinde elde edilmektedir. Tablo değerleri Excel sayfasına taşınarak ortalamaları hesaplanmaktadır. Paket programdan elde edilen sonuçlar (28) nolu denklem de yerine konularak q_x 'i sağlayan ısıl geçirgenlik Λ hesaplanmış ve iki boyutlu analiz sonucunda belirlenen q_x 'lerden elde edilmiş değer olduğunu ifade etmek amacıyla (Λ_{q_x}) olarak gösterilmiştir. Bu değerden hareketle bu geçirgenliği sağlayacak şekilde elemanlara ait kalınlıkların belirlenmesi yalıtımlı ve yalıtımsız durum için aşağıda belirtilen (29), (30) nolu denklemelere göre belirlenmiştir;

Yalıtımsız durumda $(\frac{1}{R_{q_x}} - \frac{d_{\text{çevre}}}{\lambda_{\text{çevre}}} - \frac{d_{\text{dışsiva}}}{\lambda_{\text{dışsiva}}}) \times \lambda_{\text{beton}} = d_{\text{Beton}}$ (29)

Yalıtımlı durumda $(\frac{1}{R_{q_x}} - \frac{d_{\text{beton}}}{\lambda_{\text{beton}}} - \frac{d_{\text{çevre}}}{\lambda_{\text{çevre}}} - \frac{d_{\text{dışsiva}}}{\lambda_{\text{dışsiva}}}) \times \lambda_{\text{yalıtım}} = d_{\text{Yalıtım}}$ (30)

U_{IK} değerleri malzeme özelliklerine ve malzeme kalınlıklarına bağlı olarak değişimler gösterir. Bu değişimler üzerinde ısı köprüsünün ısıl iletkenliğinin değişmesinin etkisi önemli ölçüdedir.

ξ değerleri QuickField 5.1 programından alınan değerlere göre hesaplanırken, ısı köprüsü kalınlığı, siva kalınlıkları ve yalıtım malzemesi mevcut ise yalıtım malzemesinin kalınlığına

bağlı olarak hesaplanır. ξ değerleri bulunur iken düşey ısı akılarının toplamı ile ısı köprüsünün var ise sıva ve yalıtım kalınlıklarına bağlı toplam kalınlığı ile çarpılarak, ısı köprüsünün iç ile dış yüzeyleri arası sıcaklık farkına bölümden elde edilir.

Çizelge 5.1. Duvar Malzemesinin ısil iletkenliğinin değişiminin U_{ik} değerine etkisi

		$(\lambda_{Beton}=1,5 \text{ W/mK} \quad \lambda_{Yalitum}=0,03 \text{ W/mK}$ sabit alınarak duvarın ısil iletkenliği değiştirilmiştir)				$(\lambda_{Beton}=2,1 \text{ W/mK} \quad \lambda_{Yalitum}=0,03 \text{ W/mK}$ sabit alınarak duvarın ısil iletkenliği değiştirilmiştir)		
YALITIM DURUMU		$\lambda_{Duvar}=0,15 \text{ W/mK}$	$\lambda_{Duvar}=0,3 \text{ W/mK}$	$\lambda_{Duvar}=0,45 \text{ W/mK}$	$\lambda_{Duvar}=0,15 \text{ W/mK}$	$\lambda_{Duvar}=0,3 \text{ W/mK}$	$\lambda_{Duvar}=0,45 \text{ W/mK}$	$\lambda_{Duvar}=0,3 \text{ W/mK}$
YALITIMSIZ (parapet tuğla)	2,15	2,15	2,40	2,40	2,40	2,79	2,79	2,79
YALITIMSIZ (parapet Beton)	2,15	2,15	2,40	2,40	2,40	2,79	2,79	2,79
Disarıdan Yalıtımlı	0,55	0,56	0,59	0,60	0,60	0,70	0,70	0,69
Disarıdan ve Teras Üstü Yalıtımlı	0,58	0,63	0,65	0,69	0,66	0,61	0,64	0,71
İçerden Yalıtımlı	0,95	0,94	0,93	1,05	1,06	1,06	1,25	1,25
İçerden ve Teras Üstü Yalıtımlı	0,71	0,71	0,71	0,75	0,77	0,77	0,89	0,89
Çift Duvar Arası Yalıtımlı	2,14	2,15	2,40	2,40	2,40	2,78	2,78	2,78
Çift Duvar Arası ve Teras Yalıtımlı	2,14	2,15	2,40	2,40	2,40	2,78	2,78	2,78
Çift Duvar Arası, teras ve Kiriş İç Yüzü Yalıtımlı	1,18	1,18	1,33	1,32	1,32	1,56	1,56	1,56

Çizelge 5.2. Duvar Malzemesinin ıslı iletkenliğinin değişiminin ξ değerine etkisi

		$(\lambda_{Beton}=1,5 \text{ W/mK} \lambda_{Yalitum}=0,03 \text{ W/mK} \lambda_{Yalitum}=0,03 \text{ W/mK} \lambda_{Duvar}=2,1 \text{ W/mK} \lambda_{Yalitum}=0,03 \text{ W/mK} \text{ sabit alınarak duvarın ıslı iletkenliği değiştirilmiştir})$					
		$(\lambda_{Beton}=1,5 \text{ W/mK} \lambda_{Yalitum}=0,03 \text{ W/mK} \lambda_{Duvar}=0,15 \text{ W/mK} \lambda_{Yalitum}=0,3 \text{ W/mK} \lambda_{Duvar}=0,45 \text{ W/mK} \lambda_{Yalitum}=0,3 \text{ W/mK} \lambda_{Duvar}=0,15 \text{ W/mK} \lambda_{Yalitum}=0,3 \text{ W/mK} \lambda_{Duvar}=0,45 \text{ W/mK})$					
YALITIM DURUMU		$\lambda_{Duvar}=0,15 \text{ W/mK}$	$\lambda_{Duvar}=0,3 \text{ W/mK}$	$\lambda_{Duvar}=0,45 \text{ W/mK}$	$\lambda_{Duvar}=0,15 \text{ W/mK}$	$\lambda_{Duvar}=0,3 \text{ W/mK}$	$\lambda_{Duvar}=0,45 \text{ W/mK}$
YALITIMSIZ (parapet tuğla)	1,06	1,14	1,20	1,12	1,36	1,43	1,66
YALITIMSIZ (parapet Beton)	1,15	1,20	1,24	1,16	1,45	1,50	1,81
Disardan Yalitimlu	1,14	1,25	1,27	1,33	1,41	1,46	1,66
Disardan ve Teras Üstü Yalitimlu	0,41	0,58	0,67	0,44	0,61	0,73	0,48
İçerden Yalitimlu	0,13	0,15	0,16	0,14	0,16	0,19	0,22
İçerden ve Teras Üstü Yalitimlu	0,38	0,38	0,38	0,39	0,39	0,39	0,40
Cift Duvar Arası Yalitimlu	0,94	0,98	0,98	1,12	1,16	1,20	1,42
Cift Duvar Arası ve Teras Yalitimlu	0,36	0,43	0,48	0,40	0,48	0,53	0,45
Cift Duvar Arası, teras ve Kiris İç Yüzü Yalitimlu	0,29	0,35	0,40	0,30	0,37	0,42	0,38

Çizelge 5.3. Duvar malzemesinin ıslı iletkenliğinin değişiminin U_t değerine etkisi

YALITIM DURUMU		$\lambda_{Beton}=1,2 \text{ W/mK}$ $\lambda_{Yalitum}=0,03 \text{ W/mK}$ sabit almarak duvarın ıslı iletkenliği değiştirilmiştir						$\lambda_{Beton}=1,5 \text{ W/mK}$ $\lambda_{Yalitum}=0,03 \text{ W/mK}$ sabit almarak duvarın ıslı iletkenliği değiştirilmiştir			$\lambda_{Beton}=2,1 \text{ W/mK}$ $\lambda_{Yalitum}=0,03 \text{ W/mK}$ sabit almarak duvarın ıslı iletkenliği değiştirilmiştir		
		$\lambda_{Duvat}=0,15 \text{ W/mK}$	$\lambda_{Duvat}=0,3 \text{ W/mK}$	$\lambda_{Duvat}=0,45 \text{ W/mK}$	$\lambda_{Duvat}=0,15 \text{ W/mK}$	$\lambda_{Duvat}=0,3 \text{ W/mK}$	$\lambda_{Duvat}=0,45 \text{ W/mK}$	$\lambda_{Duvat}=0,15 \text{ W/mK}$	$\lambda_{Duvat}=0,3 \text{ W/mK}$	$\lambda_{Duvat}=0,45 \text{ W/mK}$	$\lambda_{Duvat}=0,15 \text{ W/mK}$	$\lambda_{Duvat}=0,3 \text{ W/mK}$	$\lambda_{Duvat}=0,45 \text{ W/mK}$
YALITIMSIZ (parapet tuğla)	2,37	2,43	2,49	2,56	2,80	2,87	3,33	3,41	3,51				
YALITIMSIZ (parapet Beton)	2,44	2,49	2,53	2,60	2,90	2,95	3,49	3,58	3,66				
Dışarıdan Yalıtımlı	1,46	1,59	1,59	1,69	1,76	1,81	2,08	2,17	2,26				
Dışarıdan ve Teras Üstü Yalıtımlı	0,76	0,96	1,07	0,81	1,00	1,15	0,87	1,10	1,27				
İçerden Yalıtımlı	0,70	0,72	0,72	0,78	0,80	0,81	0,97	0,97	0,99				
İçerden ve Teras Üstü Yalıtımlı	0,81	0,81	0,80	0,86	0,86	0,86	0,93	0,94	0,95				
Çift Duvar Arası Yalıtımlı	2,24	2,26	2,26	2,56	2,61	2,64	3,10	3,15	3,20				
Çift Duvar Arası ve Teras Yalıtımlı	1,65	1,70	1,70	1,84	1,92	1,98	2,12	2,21	2,28				
Çift Duvar Arası, teras ve Kiriş İç Yüzü Yalıtımlı	1,00	1,06	1,13	1,10	1,16	1,22	1,22	1,32	1,38				

Çizelge 5.1. de görüldüğü gibi duvarın ıslı iletkenlik değerinin değişiminin U_{IK} değerine etkisinin dışarıdan ve teras üstü yalıtım durumunda çok az olduğu gözlenmiş ve diğer yalıtım durumlarında U_{IK} değerindeki fark ihmali edilebilecek durumda kalmıştır. Bu da bize ısı köprülerinde duvarın ıslı iletkenliğinin değişiminin “x” doğrultusundaki ısı kayıplarında çok etkin olmadığını göstermektedir

Çizelge 5.2. incelendiğinde duvarın ıslı iletkenliğinin değişiminde içeren ve teras üstü yalıtım durumunda ξ değerinin değişmediği gözlenmiştir. İçeren yalıtım durumu en az değişimin olduğu yalıtım çeşididir. Bunun nedeni ise betonarme kısmın yalıtılmaması sebebiyle düşey ısı akılarının azalmasıdır. En büyük ξ değerlerindeki fark yalıtımsız parapet betonda meydana gelmiştir.

Çizelge 5.3' te ıslı geçirgenlik katsayısı U_ℓ ' nin değişimi görülmektedir. Burada duvarın ıslı iletkenlik değerlerinin dışarıdan yalıtım ve dışarıdan ve teras üstü yalıtımda etkili olduğu diğer kesitlerde değişimin U_ℓ değerleri üzerinde anlamlı farklar ortaya çıkarmadığı görülmüştür. Bu sonuç bize duvarın düşük ya da yüksek ıslı iletkenlik değerine sahip olması durumunda dahi toplam ısı akısı üzerinde çok az değişime neden olacağını göstermektedir.

Beton ıslı iletkenlik değerlerinin artması ile elde edilen ξ değerler tablosuna bakıldığından artışların birbirleri arasında daha fazla olduğu, ancak duvarın ıslı iletkenlik değerlerinin artmasıyla elde edilen ξ değerler tablosunda ise artımların az olduğu gözlenmektedir.

Burada duvarın ıslı iletkenliğinin değişiminin ısı köprüsündeki etkisinin az olacağı, fakat duvar kalınlığının ısı köprüsüne etkisinin daha fazla olacağı açıktır.

Çizelge 5.4. Yalıtım Malzemesinin ıslı iletkenliğinin değişmesinin U_{lk} değerine etkisi

YALITIM DURUMU		$\lambda_{Beton}=1,2 \text{ W/mK}$ $\lambda_{Duvar}=0,30 \text{ W/mK}$ sabit alınarak yalıtım ıslı iletkenliği değiştirilmiştir				$\lambda_{Beton}=2,1 \text{ W/mK}$ $\lambda_{Duvar}=0,30 \text{ W/mK}$ sabit alınarak yalıtım ıslı iletkenliği değiştirilmiştir	
		$\lambda_{Yalitim}=0,03 \text{ W/mK}$	$\lambda_{Yalitim}=0,04 \text{ W/mK}$	$\lambda_{Yalitim}=0,05 \text{ W/mK}$	$\lambda_{Yalitim}=0,03 \text{ W/mK}$	$\lambda_{Yalitim}=0,04 \text{ W/mK}$	$\lambda_{Yalitim}=0,05 \text{ W/mK}$
YALITIMSIZ (parapet tuğla)	2,15	2,15	2,15	2,40	2,40	2,79	2,79
YALITIMSIZ (parapet Beton)	2,15	2,15	2,15	2,40	2,40	2,79	2,79
Disarıdan Yalıtımlı	0,57	0,69	0,70	0,60	0,65	0,73	0,70
Disarıdan ve Teras Üstü Yalıtımlı	0,63	0,72	0,80	0,66	0,76	0,84	0,71
İçerden Yalıtımlı	0,94	1,00	1,04	1,06	1,11	1,16	1,25
İçerden ve Teras Üstü Yalıtımlı	0,71	0,79	0,84	0,77	0,86	0,93	0,89
Cift Duvar Arası Yalıtımlı	2,14	2,14	2,14	2,40	2,40	2,78	2,78
Cift Duvar Arası ve Teras Yalıtımlı	2,14	2,14	2,14	2,40	2,40	2,78	2,78
Cift Duvar Arası,teras ve Kiriş İç Yüzü Yalıtımlı	1,17	1,20	1,23	1,32	1,35	1,38	1,56

Çizelge 5.5. Yalıtım Malzemesinin ıslı iletkenliğinin değişimlerinin ξ değerine etkisi

YALITIM DURUMU		$\lambda_{Beton}=1,2 \text{ W/mK}$ $\lambda_{Duvar}=0,30 \text{ W/mK}$ sabit alınarak yalıtım ıslı iletkenliği değiştirilmiştir				$\lambda_{Beton}=2,1 \text{ W/mK}$ $\lambda_{Duvar}=0,30 \text{ W/mK}$ sabit alınarak yalıtım ıslı iletkenliği değiştirilmiştir	
$\lambda_{Yalitum}=0,03 \text{ W/mK}$	$\lambda_{Yalitum}=0,04 \text{ W/mK}$	$\lambda_{Yalitum}=0,05 \text{ W/mK}$	$\lambda_{Yalitum}=0,03 \text{ W/mK}$	$\lambda_{Yalitum}=0,04 \text{ W/mK}$	$\lambda_{Yalitum}=0,05 \text{ W/mK}$	$\lambda_{Yalitum}=0,03 \text{ W/mK}$	$\lambda_{Yalitum}=0,04 \text{ W/mK}$
YALITIMSIZ (parapet tuğla)	1,14	1,14	1,14	1,36	1,36	1,74	1,74
YALITIMSIZ (parapet Beton)	1,20	1,20	1,20	1,45	1,45	1,91	1,91
Disaridan Yalitimlu	1,25	1,26	1,41	1,40	1,40	1,75	1,75
Disaridan ve Teras Üstü Yalitimlu	0,58	0,59	0,62	0,61	0,64	0,67	0,71
İcerden Yalitimlu	0,15	0,16	0,18	0,16	0,18	0,19	0,22
İcerden ve Teras Üstü Yalitimlu	0,38	0,44	0,49	0,39	0,46	0,52	0,48
Cift Duvar Arası Yalitimlu	0,98	0,99	1,16	1,17	1,18	1,47	1,48
Cift Duvar Arası ve Teras Yalitimlu	0,43	0,45	0,47	0,48	0,50	0,52	0,57
Cift Duvar Arası,teras ve Kiriş İç Yüzü Yalitimlu	0,35	0,38	0,40	0,37	0,40	0,43	0,39

Çizelge 5.6. Yalıtım Malzemesinin Isıl İletkenliğinin değişmesinin U_1 Değerine Etkisi

$\lambda_{Beton}=1,2 \text{ W/mK}$ $\lambda_{Duvvar}=0,30 \text{ W/mK}$ sabit alınarak yalıtmıştır		$\lambda_{Beton}=1,5 \text{ W/mK}$ $\lambda_{Duvvar}=0,30 \text{ W/mK}$ sabit alınarak yalıtmıştır		$\lambda_{Beton}=2,1 \text{ W/mK}$ $\lambda_{Duvvar}=0,30 \text{ W/mK}$ sabit alınarak yalıtmıştır	
YALITIM DURUMU					
$\lambda_{Yalitum}=0,03 \text{ W/mK}$	$\lambda_{Yalitum}=0,04 \text{ W/mK}$	$\lambda_{Yalitum}=0,05 \text{ W/mK}$	$\lambda_{Yalitum}=0,03 \text{ W/mK}$	$\lambda_{Yalitum}=0,04 \text{ W/mK}$	$\lambda_{Yalitum}=0,05 \text{ W/mK}$
YALITIMSIZ (parapet tuğla)	2,43	2,43	2,43	2,80	2,80
YALITIMSIZ (parapet Beton)	2,49	2,49	2,49	2,90	2,90
Dışardan Yalıtlı	1,60	1,65	1,69	1,76	1,79
Dışardan ve Teras Üstü Yalıtlı	0,96	1,02	1,09	1,00	1,09
İçerden Yalıtlı	0,72	0,76	0,80	0,80	0,84
İçerden ve Teras Üstü Yalıtlı	0,81	0,91	1,00	0,86	0,98
Çift Duvar Arası Yalıtlı	2,27	2,28	2,28	2,61	2,62
Çift Duvar Arası ve Teras Yalıtlı	1,70	1,71	1,71	1,92	1,94
Çift Duvar Arası, teras ve Kiriş İç Yüzü Yalıtlı	1,06	1,10	1,14	1,16	1,21

Çizelge 5.4. incelendiğinde yalıtimın ıslı iletkenliğinin değişimi durumunda U_{IK} üzerindeki etkisi görülmektedir. Çizelgede kırmızı ile yazılmış olan satırlarda yalıtim ıslı iletkenliğin değişimi durumunda U_{IK} üzerinde bir etkisinin olmadığı görülmüştür. Özellikle çift duvar arası ve çift duvar arası ve teras yalıtımlı olan kesitlerde yalıtimın değişiminin etkisinin olmadığı görülmüştür. Bu durum bize çift duvar arası yalıtim yapılmasının neredeyse hiç etkisinin olmadığını göstermiştir. En düşük değerler dışarıdan yalıtim durumunda meydana gelmiştir. Yalıtimın ıslı iletkenlik değerinin değişimi U_{IK} üzerinde çok farklılıklar ortaya koymamıştır fakat ihmali edilecek değerler de değildir. Sonuç olarak U_{IK} değişimi üzerinde yalıtimın etkisi vardır ancak düşük düzeydedir.

Çizelge 5.5.' te ξ değerindeki değişimler görülmektedir. Yalıtımsız parapet beton, yalıtımsız parapet tuğla ve dışarıdan yalıtim durumları incelendiğinde bu kesitler için yalıtimın ıslı iletkenlik değerinin değişiminin ξ üzerinde etkisi olmadığı görülmektedir. Diğer yalıtim durumları incelendiğinde de farkların çok az olduğu hatta bazılarının neredeyse ihmali edilebilecek (çift duvar arası yalıtim gibi) durumda olduğu görülmektedir.

Çizelge 5.6 da U_ℓ değişimleri gözlenmektedir. Yalıtim ıslı iletkenlik değerinin değişiminin ısı köprüsü üzerinde etkisi genel olarak görülmektedir. Yalıtımsız parapet tuğla, yalıtımsız parapet beton, çift duvar arası yalıtim ve çift duvar ve teras üstü yalıtim durumlarında değişim olmadığı görülecektir. U_ℓ ' deki değişim bu dört kesit (yalıtımsız parapet tuğla, yalıtımsız parapet beton, çift duvar arası yalıtim ve çift duvar ve teras üstü yalıtim) dışında büyük farklar oluşturmamıştır.

Burada yalıtimın ıslı iletkenlik değişiminin ξ , U_{IK} ve U_ℓ tablolarında büyük değişim yapmadığı görülmektedir.

Çizelge 5.7. Beton Malzemesinin Isıl İletkenliğinin değişmesinin U_{IK} Değerine Etkisi

YALITIM DURUMU	$(\lambda_{Duvar}=0,30 \text{ W/mK} \quad \lambda_{Yalitim}=0,03 \text{ W/mK})$ sabit alınarak beton isıl iletkenliği değiştirilmiştir)		
	$\lambda_{beton}=1.2 \text{ W/mK}$	$\lambda_{beton}=1.5 \text{ W/mK}$	$\lambda_{beton}=2.1 \text{ W/mK}$
YALITIMSIZ (parapet tuğla)	2,15	2,40	2,79
YALITIMSIZ (parapet Beton)	2,15	2,40	2,79
Dışarıdan Yalıtımlı	0,57	0,60	0,70
Dışarıdan ve Teras Üstü Yalıtımlı	0,63	0,66	0,71
İçerden Yalıtımlı	0,94	1,06	1,25
İçerden ve Teras Üstü Yalıtımlı	0,71	0,75	0,89
Çift Duvar Arası Yalıtımlı	2,14	2,40	2,78
Çift Duvar Arası ve Teras Yalıtımlı	2,14	2,40	2,78
Çift Duvar Arası, teras ve Kiriş İç Yüzü Yalıtımlı	1,17	1,32	1,56

Çizelgede 5.7. incelendiğinde betonun isıl iletkenliğinin değişiminde önemli ısı kayipları meydan getirmiştir.

Teras kat dösemelerinde, çift duvar arası yalıtımin uygulandığı kesitlerde U_{IK} değerlerinin yalıtımsız kesitlere yakın çıktıgı görülmüştür.

Yalıtımsız durumlar ile çift duvar arası yalıtımlı durumlar arasında inceleme yapıldığında bu iki yalıtım arasında çok fark olmadığı ve çift duvar arası yalıtımin ısı kayiplarını önlemeye etkisinin çok az olduğu gözlenmiştir.

Dışarıdan yalıtımlı kesit en verimli kesit ve "x" doğrultusunda en az kayipların olduğu kesittir. Betonun isıl iletkenlik değerindeki değişim arttıkça U_{IK} üzerinde anlamlı farklar ortaya çıkmış ve artımlar dışarıdan ve teras üstü yalıtım durumunda en düşük değerleri almıştır.

Çizelge 5.8. Beton malzemesinin ıslı iletkenliğinin değişmesinin ξ değerine etkisi

YALITIM DURUMU	$(\lambda_{\text{Duvar}}=0,30 \text{ W/mK} \quad \lambda_{\text{Yalitim}}=0,03 \text{ W/mK})$ sabit alınarak beton ıslı iletkenliği değiştirilmiştir)		
	$\lambda_{\text{beton}}=1.2 \text{ W/mK}$	$\lambda_{\text{beton}}=1.5 \text{ W/mK}$	$\lambda_{\text{beton}}=2.1 \text{ W/mK}$
YALITIMSIZ (parapet tuğla)	1,14	1,36	1,74
YALITIMSIZ (parapet Beton)	1,20	1,45	1,91
Dışarıdan Yalıtımlı	1,26	1,41	1,75
Dışarıdan ve Teras Üstü Yalıtımlı	0,58	0,61	0,67
İçerden Yalıtımlı	0,15	0,16	0,22
İçerden ve Teras Üstü Yalıtımlı	0,38	0,39	0,40
Çift Duvar Arası Yalıtımlı	0,98	1,16	1,47
Çift Duvar Arası ve Teras Yalıtımlı	0,43	0,47	0,54
Çift Duvar Arası,teras ve Kiriş İç Yüzü Yalıtımlı	0,35	0,37	0,39

Çizelge 5.8 de Beton ıslı iletkenlik değeri artıkça yanal ısı kayipları artmaktadır, yanal ısı kayiplarında en büyük fark yalıtımsız parapet betonda gelmiştir. İçerden ve teras üstü yalıtımlı durumda, ξ değerlerinin çok değişmediği, bunun betonarme kısmın yalıtımının dışında kalması nedeniyle meydana geldiği düşünülmektedir. En düşük ξ değeri içерden yalıtımlı durumda meydana gelmiştir. Yanal ısı kayiplarının hesaba katılmamasından dolayı ξ değerleri yalıtımsız parapet tuğla ve yalıtımsız parapet beton için farklı bulunmuştur.

Çizelge 5.9. Beton malzemesinin ıslı iletkenliğinin değişmesinin U_{ℓ} değerine etkisi

YALITIM DURUMU	$(\lambda_{\text{Duvar}}=0,30 \text{ W/mK} \quad \lambda_{\text{Yalitim}}=0,03 \text{ W/mK})$ sabit alınarak beton ıslı iletkenliği değiştirilmiştir)		
	$\lambda_{\text{beton}}=1.2 \text{ W/mK}$	$\lambda_{\text{beton}}=1.5 \text{ W/mK}$	$\lambda_{\text{beton}}=2.1 \text{ W/mK}$
YALITIMSIZ (parapet tuğla)	2,43	2,80	3,41
YALITIMSIZ (parapet Beton)	2,49	2,90	3,58
Dışarıdan Yalıtımlı	1,60	1,76	2,17
Dışarıdan ve Teras Üstü Yalıtımlı	0,96	1,00	1,10
İçerden Yalıtımlı	0,72	0,80	0,97
İçerden ve Teras Üstü Yalıtımlı	0,81	0,83	0,94
Çift Duvar Arası Yalıtımlı	2,27	2,60	3,15
Çift Duvar Arası ve Teras Yalıtımlı	1,71	1,90	2,21
Çift Duvar Arası, teras ve Kiriş İç Yüzü Yalıtımlı	1,06	1,16	1,32

Çizelge 5.9. incelendiğinde betonun ıslı iletkenlik değerinin artması ile U_{ℓ} değerinde büyük farklılıklar ortaya çıkmış bu sonuç bize ısı köprüsüne etki eden en büyük parametrenin betonun ıslı iletkenlik değeri olduğunu göstermiştir. Dışarıdan ve teras üstü yalıtılm durumlarında en az değişim gözlenmiştir. En düşük U_{ℓ} değeri içерden yalıtılm durumunda elde edilmiştir.

6. SONUÇ VE ÖNERİLER

Teras katlarda kiriş ve dösemelerden oluşan ısı köprülerinde meydana gelen fazladan ısı kayıplarının TS 825'de verilen denklemlerde dikkate alınabilmesi için “ ξ ”nin ilave edilmesi yeterli olmamaktadır. ξ ile yanal kayıplar dikkate alınmaktadır. Ancak, dösemelerin içeri doğru uzaması sebebiyle yine “x” doğrultusunda meydana gelen fazladan kayıpların dikkate alınması için, elemanın ısıl direnci olan “ $1/R$ ” değerinin azaltılması gerekmektedir. Bu durum özellikle yalıtımlı durumlar için önem kazanmaktadır.

Kiriş ve dösemelerde oluşan ısı köprülerinde, hem “x” ve hem de “y” doğrultularında ihmal edilemeyecek mertebelerde ısı kayıpları meydana gelmektedir.

Binalarda ısıl konforun daha az enerji harcanarak sağlanması için mevcut ısı kayıplarının en aza indirilmesi gereklidir. Bu sebeple ısı kayıpları hesaplanırken ısı köprülerinde meydana gelen fazladan ısı kayıpları iki boyutlu olarak hesaplanmalıdır.

Bu çalışmanın sonuçları ile teras katlarda, farklı beton, duvar ve yalıtım ısıl iletkenliği değerlerinde ısı köprülerinin gösterdiği davranışların iki boyutlu halde nasıl değiştiği görülmektedir.

Beton, duvar ve yalıtım elemanlarının ısıl iletkenlikleri değiştirilerek yapılan incelemede U_{ℓ} , U_{IK} ve ξ değerlerinde değişimler incelenmiştir.

Isı köprüsünü oluşturan elemanların ısıl iletkenliklerindeki artışa bağlı olarak hesaplanan U_{IK} ve ξ değerlerinde anlamlı artışlar meydana gelmiştir.

“ ξ ” de meydana gelen değişikliklerin üzerinde yalıtimın yeri ve ısı köprüsünün ısıl iletkenlik değerinin etkisinin önemi büyüktür.

Duvarın ıslı iletkenliğinin Değişmesi Durumunda;

- i. Duvarın ıslı iletkenlik değerinin değişiminin dışarıdan ve teras üstü yalıtım durumunda çok az etkili olduğu gözlenmiş ve diğer yalıtım durumlarında U_{IK} değerindeki fark ihmali edilebilecek durumda kalmıştır. Bu da bize yapıda ısı köprüsüne “x” doğrultusundaki ısı kayıpları bakımından duvarın ıslı iletkenliğindeki değişimin ihmali edilebilecek farklar yarattığını göstermiştir.
- ii. Duvarın ıslı iletkenliğinin değişiminde içерden ve teras üstü yalıtım durumunda ξ değerinin değişmediği gözlenmiştir. İçerden yalıtım durumu en az değişimin olduğu yalıtım çeşididir. Bunun nedeni ise betonarme kısmın yalıtım dışında kalması sebebiyle gerçekleşmektedir. Duvarın ıslı iletkenliğinin değişiminde en büyük ξ değerlerindeki fark yalıtımsız parapet betonda meydana gelmiştir.
- iii. Duvarın ıslı iletkenlik değerlerinin değişiminin U_f değerleri üzerinde anlamlı farklar ortaya çıkarmadığı görülmüştür. Bu sonuç bize duvarın düşük ya da yüksek ıslı iletkenlik değerine sahip olmasının toplam ısı akısı üzerindeki etkisinin çok az olduğunu göstermektedir.
- iv. Genel olarak bakıldığından duvarın ıslı iletkenliğindeki değişimin ξ üzerinde etkisi az olmaktadır, ancak ısı köprüsünün yalıtılması durumunda bu etkinin tamamen ortadan kalktığı görülmektedir. Dolayısıyla ξ değerlerinin (yanal kayıpların) belirlenmesi üzerinde kırış ve dösemelerin yalıtılmasının etkili olduğu görülmektedir.
- v. Duvarın ıslı iletkenliğindeki değişimin U_{IK} üzerinde etkili olmaması önemli bir sonuç olarak göz önüne alınması gerekmekte, sadece dışarıdan ve teras üstü yalıtım uygulamasında değişim göstermesi ise döşeme ve kırışın yalıtılmasından dolayı çıkmakta zorlanan ısının zayıf bir nokta bulmaya çalışması sonucu parapet kısmından yol bularak çıkmaya çalışmasıdır.
- vi. Duvarın ıslı iletkenliğindeki değişimin U_f üzerindeki etkisi göz önüne alındığında en az farkın dışarıdan ve teras üstü yalıtım uygulamasında olduğu görülmüştür. Bu iki gözlem bizi yalıtmının sürelilik gerektirdiği sonucuna götürmüştür.

Yalıtımın Isıl İletkenliğinin Değişmesi Durumunda;

- i. Yalıtımın ıslı iletkenliğinin değişimi durumunda çift duvar arası, çift duvar arası ve teras yalıtımlı, yalıtımsız parapet tuğla ve yalıtımsız parapet beton kesitlerinde yalıtım ıslı iletkenliğin değişimi durumunda U_{IK} üzerinde bir etkisinin olmadığı görülmektedir. Bu durumun bize çift duvar arası yalıtım yapılmasının neredeyse hiç etkisinin olmadığını göstermiştir. En düşük U_{IK} değerleri dışarıdan yalıtım durumunda meydana gelmiştir. Yalıtımın ıslı iletkenlik değerinin değişimi U_{IK} üzerinde çok farklılıklar ortaya koymamıştır ancak değerler de ihmali edilecek nitelikte değildir.
- ii. Yalıtımsız parapet beton, yalıtımsız parapet tuğla ve dışarıdan yalıtım durumları incelendiğinde yalıtımın ıslı iletkenlik değerinin değişiminin ξ üzerinde etkisi olmadığı gözlenmiştir. Diğer yalıtım durumları incelendiğinde de farkların çok az olduğu hatta bazlarının neredeyse ihmali edilebilecek (çift duvar arası yalıtım gibi) nitelikte olduğu görülmektedir.
- iii. Yalıtımsız parapet tuğla, yalıtımsız parapet beton, çift duvar arası yalıtım ve çift duvar ve teras üstü yalıtım durumlarında U_f farkların ortaya çıkmadığı görülmüştür. U_f deki değişim bu dört kesit (yalıtımsız parapet tuğla, yalıtımsız parapet beton, çift duvar arası yalıtım ve çift duvar ve teras üstü yalıtım) dışındaki kesitlerde büyük farklar oluşturmamıştır. Yalıtımın ıslı iletkenlik değişiminin ξ , U_{IK} ve U_f tablolarında büyük değişim yapmadığı görülmüştür.

Betonun Isıl İletkenliğinin Değişmesi Durumunda;

- i. Teras kat dösemelerinde, betonun ıslı iletkenliğinin değişiminde çift duvar arası yalıtımın uygulandığı kesitlerde U_{IK} değerlerinin yalıtımsız kesitelere yakın çıktıığı görülmüştür. Yalıtımsız parapet tuğla ve yalıtımsız parapet beton ile çift duvar arası yalıtım ve çift duvar ve teras üstü yalıtım durumları arasında inceleme yapıldığında bu iki yalıtım arasında çok fark olmadığı ve çift duvar arası yalıtımın ısı kayiplarını önlemeye etkisinin çok az olduğu gözlenmiştir.

- ii. Betonun ıslı iletkenlik değerlerinin değişiminde dışarıdan yalıtımlı kesit en verimli kesit ve “x” doğrultusunda en az kayıpların olduğu kesittir. Betonun ıslı iletkenlik değerinde değişim arttıkça U_{IK} üzerinde anlamlı farklar ortaya çıkmış. Dışarıdan ve teras üstü yalıtım durumunda U_{IK} en düşük değerleri almıştır.
- iii. Beton ıslı iletkenlik değerlerinin artması ile elde edilen ξ değerler tablosuna bakıldığından artışların birbirleri arasında daha fazla olduğu, ancak duvarın ıslı iletkenlik değerlerinin artmasıyla elde edilen ξ değerler tablosunda ise artımların az olduğu gözlenmiştir.
- iv. Beton ıslı iletkenlik değeri artıkça yanal ısı kayıpları artmaktadır, yanal ısı kayıplarında en büyük fark yalıtımsız parapet betonda meydana gelmiştir. İçerden ve teras üstü yalıtımlı durumda, ξ değerlerinin çok değişmediği, bunun sebebinin de betonarme kısmın yalıtımının dışında kalması sebebiyle olduğunu. En düşük ξ değeri içeren yalıtımlı durumda meydana gelmiştir. Yanal ısı kayıplarının hesaba katılmasıından dolayı ξ değerleri parapet tuğla ve parapet beton için farklı bulunmuştur.
- v. Betonun ıslı iletkenlik değerinin artması ile U_L değerinde büyük farklılıklar ortaya çıkmıştır. Betonun ıslı iletkenlik değeri ısı köprüsüne etki eden en büyük parametredir. Betonun ıslı iletkenlik değerinin değişmesi durumunda U_L değerlerinin dışarıdan ve teras üstü yalıtım durumunda en az değişim gösterdiği kesittir. Betonun ıslı iletkenlik değerinin değişimi sonucu toplam ısı kayıpları en fazla yalıtımsız parapet betonarme kesitte meydana gelmiştir. Betonun ıslı iletkenliğinin değişimi ısı köprüsü üzerinde önemli ısı kayıpları meydan getirmiştir.

Geleceğe dönük bir öneri olarak, burada teras katlar için yapılmış olan bütün hesaplamalar ve değerlendirmeler ara katlar için de malzeme özelliklerinin değişiminin ısı köprüsü davranışına etkileri incelendiğinde, daha genel sonuçlar elde edileceği açıklır. Aynı zamanda malzeme özellikleri değişiminin ısı köprüsü davranışına etkilerinin yanında malzemelerin kalınlık, yoğunluk gibi değerlerinin değişiminin de etkileri incelendiğinde çok daha genel sonuçlar elde edinilecektir.

7. KAYNAKLAR

Akgün G ve Dilmaç Ş (2005) Isı Köprüsü Problemlerinde Kullanılan Matematik Modellerin Karşılaştırılması. İTÜ Dergisi.5:3-16.

Anonim (2008). TS 825 Binalarda Isı Yalıtım Kuralları, Türk Standartları Enstitüsü, Ankara.

Anonim (1990). TS EN 10211-1 Isı Yalıtımı Hesaplama Metotları – Düzlem Yapı Yüzeylerinde Dikdörtgen Kesitli Isı Köprüleri, Türk Standartları Enstitüsü, Ankara.

Anonim (1996). İBB tarafından desteklenen proje kapsamında İnternorm Şirketinin sağladığı teknik doküman, İSTANBUL.

Anonim (2000). TS EN ISO 10221-1 Binalarda Isı Köprüleri – Isı akışları ve Yüzey Sıcaklıklar- Bölüm 1: Genel Hesaplama Metodları. Türk Standartları Enstitüsü, Ankara

Anonim ISO 10211-2. Thermal Bridges in Building Construction – Heat Flews and Surface Temperatures- Part 2: Lineer Thermal bridges, the International Organization fot Standardiztion, Geneve

Bulut Y (1999). Yapılarda Enerji Tüketiminin Azaltılması ve Enerji Tasarufu Üzerine Bir Çalışma. Trakya Üniversitesi. Makine Mühendisliği Bölümü. Edirne.

Cihan M (2004) . EPS Bloklu Çelik Donatılı Beton Taşıyıcı Duvarlı Binanın Isıl Performansı. Yüksek Lisans Tezi, Trakya Üniversitesi Fen Bilimleri Enstitüsü, Çorlu.

Cihan M T (2004). Düşey Delikli Hafif Tuğla ve EPS Yatay Delikli Duvarların Çift Duvar Arası Yalıtım İle Karşılaştırılması, Seminer Notları, ÇORLU.

Cihan M, Dilmaç Ş (2003). Duvarlar İçin Önerilen Yeni Yalıtım Uygulaması İle Çift Duvar Arası Yalıtımının Karşılaştırılması, Yalıtım 40:50-59.

Cihan M, Sezer F S ve Dilmaç Ş (2005). Ülkemizdeki Çift Duvar Arası Yalıtım Uygulamalarında Betonarme Kırışlerin Oluşturduğu Isı Köprülerinin Değerlendirilmesi. Uludağ Üniversitesi Mühendislik Mimarlık Fakültesi Dergisi.2:33-47.

Davies M G, The Termal Response of an Enclosure to Periodic Excitation, The CIBSE Approach, Building and Environment,29,217-235

Degue F, Ollivier F and Reux J J (2001). Effect of 2D Modeling of Thermal Bridges on the Energy Performance of buildings Numerical Application on the Matisse Apartment Energy and Buildngs.33:583-587.

Dilmaç Ş, Can A ve Kartal S (2004). Arakat Dösemelerinde Isıl Davranışın Üzerine İklim Şartlarının ve Yalıtım Sistemlerinin Etkisi. Tesisat Mühendisliği Dergisi,82.

Dilmaç Ş, Cihan M T ve Güner A (2004). Teras Çatıların Enerji Verimliliklerinin Araştırılması. Dizayn Konstrüksiyon.226:68-77.

Dilmaç Ş, Cihan M T ve Alamut Ö (2004). Teras Kat Dösemelerinde Isıl Davranışın Üzerine İklim Şartlarının Etkisi. Dizayn Konstrüksiyon.225:68-77.

Dilmaç Ş, Güner A, ve Sezer F S (2004). Ara Kat Kıraklı Dösemelerde İçerden ve Dışarıdan Yalıtım Uygulamalarının Enerji Verimliliklerinin Karşılaştırılması. Tesisat Mühendisliği Dergisi.80:7-20

Dilmaç Ş, Güner A, Alamut Ö (2004). Teras kat Dösemelerinin Isıl Davranışı Üzerine İklim Şartlarının Etkisi, Dizayn Konstrüksiyon, 225: 68-83.

Dilmaç Ş and Keser N (2003). A Comparison of New Turkish Termal Insulation Standart (TS 825), ISO 9164, EN 832 and German Regulation, Energy and Buildings, Vol. 35, No 2 161-174.

Dilmaç Ş (2001). Binalarda Isı Yalıtımı Seminer Notları, PÜD, İSTANBUL

Dilmaç Ş (2006). Trakya Üniversitesi Çorlu Mühendislik Fakültesi İnşaat Mühendisliği Bölümü, Yapıların Yalıtımı Ve Korunumu Dersi, Ders Notları.Çorlu.

- Dilmaç Ş (2006) Binalarda Isı Yalıtımı, TMMOB Yapı Tasarım Kursu, İstanbul.
- Ekinci C E (2003). Yalıtım Teknikleri, Atlas Yayıncıları, İstanbul,
- Ersoy G (1991). Bayındırlık ve İskan Bakanlığı'ının Tip Duvarlarında Simetrik Köşelerin Isı Köprüsü Etkilerinin İncelenmesi. Yüksek Lisans Tezi. İstanbul Teknik Üniversitesi. Mimarlık Fakültesi. İstanbul.
- Gao Y, Roux J J, Zhao L H and Jiong Y (2008). Dynamic Building Simulation: A Low Order Model for Thermal Bridges Losses. Energy and Buildings. 40:2236-2240.
- Kemaldere T (2005). Çift Duvar Arası Yalıtım Uygulamalarında Isı Köprülerinin Isıl Davranışı, Bitirme Ödevi, Trakya Üniversitesi Çorlu Mühendislik Fakültesi, İnşaat Mühendisliği Bölümü, Çorlu.
- Kosny J and Kossecka (2002). Multi-dimensıonal Heat Transver Through Coplex Building Envelope Assemblies in Hourly Energy Simulation programs. Energy and Buildings. 34:445-454.
- Larbi B A (2005). Statical Modeling of Heat Transfer for Thermal Bridges of Buildigs. Energy and Buildings. 37:945-951.
- Mao G and Johonnesson G (1997). Dynamic Colculation of Thermal Bridges. Energy Buildings. 26:233-240.
- Martin K, Erkoreka A, Flores I, Odriozola M and Sala J M (2011). Problems in the colculation of thermal bridges in dynamic conditions. Enerji and Building. 43:529-538.
- Meral Z (2005). İçerden Isı Yalıtım Uygulamalarında Isı Köprülerinin Sıcaklık Ve Isı Akısı Dağılımının Değişimi. Bitirme Ödevi, Trakya Üniversitesi Çorlu Mühendislik Fakültesi, İnşaat Mühendisliği Bölümü. Çorlu.
- Mıhlayanlar E (2009). Trakya Üniversitesi Mühendislik Mimarlık Fakültesi Mimarlık Bölümü “Yapıların Yalıtımı Ve Korunumu Dersi”, Yüksek Lisans Ders Notları, Edirne.

Nakioğlu O (1997). Isı Köprüleri. Yüksek Lisans Tezi. İstanbul Teknik Üniversitesi. Makina Fakültesi. İstanbul.

Skchedopole R E (1961). Thermal conductivity of Foamed Plastics, Foamed Organics

Tezcan Y (1970). Sıcak Yapı Elamanlarının Kondansasyon Kontrolü Hesaplarında Kullanılacak Dış Sınır Şartları ve Periyotlarının Belirlenmesi İçin Yeni Bir Metod, Doktora Tezi, İTÜ Mimarlık Fakültesi. İstanbul.

Theodosiou T G and Papadopoulos (2008) The Impact Of Thermal Bridges on the Energy demand of buildgs with Double brick Wall Construction. Energy and Buildings.40:2083-2089.

TÜBİTAK İÇTAG-I242 (2005). Döşemelerde Yanal Isı Kayıplarının Hesaplanması İçin Parametrelerin Belirlenmesi.

Yıldız A (1998). Dışarıdan Isı Yalıtımı Süreklliliğinin Sağlanması Üzerine Bir İnceleme. Yüksek Lisans Tezi, İstanbul Teknik Üniversitesi Fen Bilimleri Enstitüsü, İstanbul, 1998.

Ek 1.1. Teras kat dösemelerinde beton ıslı iletkenliği 1,2 W/mK, Duvar ıslı iletkenliğinin 0,15 W/mK olmasının 0,03 W/mK olması durumunda ısı köprüsüne ait parametrelerin hesaplamaması ($R_i = 0,13 \text{ m}^2\text{K/W}$, $R_e = 0,04 \text{ m}^2\text{K/W}$).

Teras kat	T_{by} K	T_{top} K	$\Delta T.$ °C	Yatay ıslı akışı, W/m ²		U _{IK} , W/m ² K	Formül	ξ , W/mK	U _t , W/mK									
				Üst	Orta	Alt	Bileşke	Deger		Üst	Orta	Alt	Toplam	Formül	b, m Değer			
Yalıtımsız, parapet tuğla	Sıvalı	290	281,41	8,59	-10,746	-23	-28,225	21,6	$\frac{1}{\alpha_i} + \frac{1}{\alpha_d} + \frac{d_{IK}}{\lambda_{IK}}$	$\frac{1}{a_i + \frac{1}{\alpha_d} + \frac{d_{IK}}{\lambda_{IK}} + \frac{d_{ds}}{\lambda_{ds}} + \frac{d_{is}}{\lambda_{is}}}$	2,15	12,945	8,275	6	27,2	$\frac{q_y * (d_{IK} + d_{ds} + d_{is}) * l}{T_{iy} - T_{dy}}$	0,6	2,37
Yalıtımsız, parapet betonarme	Sıvalı	290	281,41	8,59	-10,56	-22,81	-28,2	21,5	$\frac{1}{a_i + \frac{1}{\alpha_d} + \frac{d_{IK}}{\lambda_{IK}} + \frac{d_{ds}}{\lambda_{ds}} + \frac{d_{is}}{\lambda_{is}}}$	$\frac{1}{a_i + \frac{1}{\alpha_d} + \frac{d_{IK}}{\lambda_{IK}} + \frac{d_{ds}}{\lambda_{ds}} + \frac{d_{is}}{\lambda_{is}}}$	2,15	14,128	8,77	6,12	29,0	$\frac{q_y * (d_{IK} + d_{ds} + d_{is}) * l}{T_{iy} - T_{dy}}$	0,6	2,44
Dişardan yalıtımlı	Sıvalı	290	281,41	8,59	-10,56	-22,81	-28,2	21,5	$\frac{1}{\alpha_i + \frac{1}{\alpha_d} + \frac{0,677 * d_{yal}}{\lambda_{yal}} + \frac{d_{IK}}{\lambda_{IK}} + \frac{d_{ds}}{\lambda_{ds}} + \frac{d_{is}}{\lambda_{is}}}$	$\frac{1}{\alpha_i + \frac{1}{\alpha_d} + \frac{0,677 * d_{yal}}{\lambda_{yal}} + \frac{d_{IK}}{\lambda_{IK}} + \frac{d_{ds}}{\lambda_{ds}} + \frac{d_{is}}{\lambda_{is}}}$	0,55	17	11,13	4,62	32,8	$\frac{q_y * (d_{IK} + d_{yal} + d_{ds} + d_{is}) * l}{T_{iy} - T_{dy}}$	0,6	1,46
Dişardan ve teras üstü yalıtımlı	Sıvalı	291,88	281,12	10,8	-0,5	-7,86	-9,2	6,5	$\frac{1}{\alpha_i + \frac{1}{\alpha_d} + \frac{0,677 * d_{yal}}{\lambda_{yal}} + \frac{d_{IK}}{\lambda_{IK}} + \frac{d_{ds}}{\lambda_{ds}} + \frac{d_{is}}{\lambda_{is}}}$	$\frac{1}{\alpha_i + \frac{1}{\alpha_d} + \frac{0,677 * d_{yal}}{\lambda_{yal}} + \frac{d_{IK}}{\lambda_{IK}} + \frac{d_{ds}}{\lambda_{ds}} + \frac{d_{is}}{\lambda_{is}}}$	0,55	17	11,13	4,62	32,8	$\frac{q_y * (d_{IK} + d_{yal} + d_{ds} + d_{is}) * l}{T_{iy} - T_{dy}}$	0,6	1,46
İçerden yalıtımlı	Sıvalı	292,17	281,14	11,03	-6,83	-7,05	-7,5	7,1	$\frac{1}{\alpha_i + \frac{1}{\alpha_d} + \frac{0,57 * d_{yal}}{\lambda_{yal}} + \frac{d_{IK}}{\lambda_{IK}} + \frac{d_{ds}}{\lambda_{ds}} + \frac{d_{is}}{\lambda_{is}}}$	$\frac{1}{\alpha_i + \frac{1}{\alpha_d} + \frac{0,57 * d_{yal}}{\lambda_{yal}} + \frac{d_{IK}}{\lambda_{IK}} + \frac{d_{ds}}{\lambda_{ds}} + \frac{d_{is}}{\lambda_{is}}}$	0,58	6,55	3,85	1,83	12,2	$\frac{q_y * (d_{IK} + d_{yal} + d_{ds} + d_{is}) * l}{T_{iy} - T_{dy}}$	0,6	0,76
İçerden ve teras üstü yalıtımlı	Sıvalı	292,05	281,21	10,84	-19,96	-10,5	-8,71	12,3	$\frac{1}{\alpha_i + \frac{1}{\alpha_d} + \frac{0,411 * d_{yal}}{\lambda_{yal}} + \frac{d_{IK}}{\lambda_{IK}} + \frac{d_{ds}}{\lambda_{ds}} + \frac{d_{is}}{\lambda_{is}}}$	$\frac{1}{\alpha_i + \frac{1}{\alpha_d} + \frac{0,411 * d_{yal}}{\lambda_{yal}} + \frac{d_{IK}}{\lambda_{IK}} + \frac{d_{ds}}{\lambda_{ds}} + \frac{d_{is}}{\lambda_{is}}}$	0,95	1,01	-2,5	0,29	3,8	$\frac{q_y * (d_{IK} + d_{yal} + d_{ds} + d_{is}) * l}{T_{iy} - T_{dy}}$	0,6	0,70
Cift duvar arası yalıtımlı	Sıvalı	290,89	281,15	9,74	-9,43	-7,3	-7,51	7,9	$\frac{1}{\alpha_i + \frac{1}{\alpha_d} + \frac{d_{IK}}{\lambda_{IK}} + \frac{d_{ds}}{\lambda_{ds}} + \frac{d_{is}}{\lambda_{is}}}$	$\frac{1}{\alpha_i + \frac{1}{\alpha_d} + \frac{d_{IK}}{\lambda_{IK}} + \frac{d_{ds}}{\lambda_{ds}} + \frac{d_{is}}{\lambda_{is}}}$	0,71	7,34	0,91	1,3	9,55	$\frac{q_y * (d_{IK} + d_{ds} + d_{is}) * l}{T_{iy} - T_{dy}}$	0,6	0,81
Cift duvar arası ve teras arası yalıtımlı	Sıvalı	290,17	281,33	8,84	-10,68	-22,73	-27,5	21,3	$\frac{1}{\alpha_i + \frac{1}{\alpha_d} + \frac{d_{IK}}{\lambda_{IK}} + \frac{d_{ds}}{\lambda_{ds}} + \frac{d_{is}}{\lambda_{is}}}$	$\frac{1}{\alpha_i + \frac{1}{\alpha_d} + \frac{d_{IK}}{\lambda_{IK}} + \frac{d_{ds}}{\lambda_{ds}} + \frac{d_{is}}{\lambda_{is}}}$	2,14603	12,89	7,73	4,07	24,69	$\frac{q_y * (d_{IK} + d_{ds} + d_{is}) * l}{T_{iy} - T_{dy}}$	0,6	2,23723
Cift duvar arası, teras ve kiriş iç yüzü yalıtımlı	Sıvalı	291,46	281,39	10,07	-22,5	-25,32	-27,86	25,5	$\frac{1}{\alpha_i + \frac{1}{\alpha_d} + \frac{0,276 * d_{yal}}{\lambda_{yal}} + \frac{d_{IK}}{\lambda_{IK}} + \frac{d_{ds}}{\lambda_{ds}} + \frac{d_{is}}{\lambda_{is}}}$	$\frac{1}{\alpha_i + \frac{1}{\alpha_d} + \frac{0,276 * d_{yal}}{\lambda_{yal}} + \frac{d_{IK}}{\lambda_{IK}} + \frac{d_{ds}}{\lambda_{ds}} + \frac{d_{is}}{\lambda_{is}}}$	2,14603	5,1	2,78	2,88	10,76	$\frac{q_y * (d_{IK} + d_{yal} + d_{ds} + d_{is}) * l}{T_{iy} - T_{dy}}$	0,6	1,65091
Cift duvar arası, teras ve kiriş iç yüzü yalıtımlı	Sıvalı	291,85	281,27	10,58	-20,12	-12,76	-16,168	15,7	$\frac{1}{\alpha_i + \frac{1}{\alpha_d} + \frac{d_{IK}}{\lambda_{IK}} + \frac{d_{ds}}{\lambda_{ds}} + \frac{d_{is}}{\lambda_{is}}}$	$\frac{1}{\alpha_i + \frac{1}{\alpha_d} + \frac{d_{IK}}{\lambda_{IK}} + \frac{d_{ds}}{\lambda_{ds}} + \frac{d_{is}}{\lambda_{is}}}$	1,18716	1,6	0,33	6,17	8,1	$\frac{q_y * (d_{IK} + d_{yal} + d_{ds} + d_{is}) * l}{T_{iy} - T_{dy}}$	0,6	1,00705

Ek 1.2. Teras kat dösemelerinde betonun ıslı iletkenliği 1,2 W/mK, Duvar ıslı iletkenliği 0,30 W/mK ve yalıtım ıslı iletkenliğinin 0,03 W/mK olması durumundası köprüsüne ait parametrelerin hesaplanması ($R_i = 0,13 \text{ m}^2\text{K/W}$, $Re = 0,04 \text{ m}^2\text{K/W}$).

Teras kat	T_{by} K	T_{gy} K	ΔT , °C	Yalın ısı akışı, W/m ²			Değer	Düşey ısı akışı, W/m ²	ξ , W/mK	Formül	Değer
				Üst	Orta	Alt					
Yalıtımsız, parapet tuğla Sivali	289,71	281,5	8,21	-11	-23	-28	21,5			$\frac{1}{\alpha_i + \frac{1}{\alpha_d} + \frac{d_{IK}}{\lambda_{IK}} + \frac{d_{ds}}{\lambda_{ds}} + \frac{d_{is}}{\lambda_{is}}}$	b * $U_{ik} + \xi$
Yalıtımsız, parapet betonarme Sivali	289,7	281,5	8,2	-11	-23	-28	21,5			$\frac{1}{\alpha_i + \frac{1}{\alpha_d} + \frac{d_{IK}}{\lambda_{IK}} + \frac{d_{ds}}{\lambda_{ds}} + \frac{d_{is}}{\lambda_{is}}}$	b * $U_{ik} + \xi$
Dişardan yalıtımlı Sivali	291,79	281,17	10,6	-0,1	-8,4	-9,4	6,7			$\frac{1}{\alpha_i + \frac{1}{\alpha_d} + \frac{0,674 * d_{yal}}{\lambda_{yal}} + \frac{d_{ik}}{\lambda_{ik}} + \frac{d_{ds}}{\lambda_{ds}} + \frac{d_{is}}{\lambda_{is}}}$	b * $U_{ik} + \xi$
Dişardan ve teras üstü yalıtımlı Sivali	292,07	281,15	10,92	-7,9	-7,8	-7,5	7,7			$\frac{1}{\alpha_i + \frac{1}{\alpha_d} + \frac{0,676 * d_{yal}}{\lambda_{yal}} + \frac{d_{ik}}{\lambda_{ik}} + \frac{d_{ds}}{\lambda_{ds}} + \frac{d_{is}}{\lambda_{is}}}$	b * $U_{ik} + \xi$
İçerden yalıtımlı Sivali	291,99	281,23	10,76	-20	-10	-8,5	12,1			$\frac{1}{\alpha_i + \frac{1}{\alpha_d} + \frac{0,574 * d_{yal}}{\lambda_{yal}} + \frac{d_{ik}}{\lambda_{ik}} + \frac{d_{ds}}{\lambda_{ds}} + \frac{d_{is}}{\lambda_{is}}}$	b * $U_{ik} + \xi$
İçerden ve teras üstü yalıtımlı Sivali	290,85	281,17	9,68	-9,4	-7,3	-7,4	7,8			$\frac{1}{\alpha_i + \frac{1}{\alpha_d} + \frac{0,411 * d_{yal}}{\lambda_{yal}} + \frac{d_{ik}}{\lambda_{ik}} + \frac{d_{ds}}{\lambda_{ds}} + \frac{d_{is}}{\lambda_{is}}}$	b * $U_{ik} + \xi$
Çift duvar arası yalıtımlı Sivali	290,1	281,35	8,75	-11	-23	-28	21,4			$\frac{1}{\alpha_i + \frac{1}{\alpha_d} + \frac{d_{IK}}{\lambda_{IK}} + \frac{d_{ds}}{\lambda_{ds}} + \frac{d_{is}}{\lambda_{is}}}$	b * $U_{ik} + \xi$
Çift duvar arası, teras vekins. iç yüzü yalıtımlı Sivali	291,38	281,41	9,97	-22	-25	-28	25,4			$\frac{1}{\alpha_i + \frac{1}{\alpha_d} + \frac{0,274 * d_{yal}}{\lambda_{yal}} + \frac{d_{ik}}{\lambda_{ik}} + \frac{d_{ds}}{\lambda_{ds}} + \frac{d_{is}}{\lambda_{is}}}$	b * $U_{ik} + \xi$

Ek 1.3. Teras kat dösemelerinde betonun ıslı iletkenliği 1,2 W/mK, Duvar ıslı iletkenliğinin 0,30 W/mK ve yahtum ıslı iletkenliğinin 0,04 W/mK olmasının durumundası köprüsüne ait parametrelerin hesaplaması ($R_i = 0,13 \text{ m}^2\text{K/W}$, $\text{Re} = 0,04 \text{ m}^2\text{K/W}$).

Teras kat	T_y K	T_{oy} K	ΔT	°C	Yatay ıslı akışı, W/m^2			U _{ik} V/m ² K	Düsey ıslı akışı, W/m^2			ξ_y W/mK	Formül	b, m	Değer
					Üst	Orta	Alt		Bilesk	Formül					
Yalıtımsız, parapet tugja	Sıvalı	289,71	281,5	8,21	-11	-23	-28	21,5	$\frac{1}{\alpha_i + \frac{1}{\alpha_d} + \frac{d_{IK}}{i_{IK}} + \frac{d_{ds}}{\lambda_{ds}} + \frac{d_{is}}{\lambda_{is}}}$	$\frac{q_y * (d_{IK} + d_{ds} + d_{is}) * l}{T_{iy} - T_{dy}}$	$\frac{q_y * (d_{IK} + d_{ds} + d_{is}) * l}{T_{iy} - T_{dy}}$	$b * U_{ik} + \xi$	$b * U_{ik} + \xi$	0,6	2,43
Yalıtımsız, parapet betonarme	Sıvalı	289,7	281,5	8,2	-11	-23	-28	21,5	$\frac{1}{\alpha_i + \frac{1}{\alpha_d} + \frac{d_{IK}}{i_{IK}} + \frac{d_{ds}}{\lambda_{ds}} + \frac{d_{is}}{\lambda_{is}}}$	$\frac{q_y * (d_{IK} + d_{ds} + d_{is}) * l}{T_{iy} - T_{dy}}$	$\frac{q_y * (d_{IK} + d_{ds} + d_{is}) * l}{T_{iy} - T_{dy}}$	$b * U_{ik} + \xi$	$b * U_{ik} + \xi$	0,6	2,43
Dişardan yalıtımlı	Sıvalı	291,68	281,16	10,5	-0,9	-9,3	-10	7,5	$\frac{1}{\alpha_i + \frac{1}{\alpha_d} + \frac{0,669 * d_{yal}}{\lambda_{yal}} + \frac{d_{ik}}{\lambda_{ik}} + \frac{d_{ds}}{\lambda_{ds}} + \frac{d_{is}}{\lambda_{is}}}$	$\frac{q_y * (d_{IK} + d_{yal} + d_{ds} + d_{is}) * l}{T_{iy} - T_{dy}}$	$\frac{q_y * (d_{IK} + d_{yal} + d_{ds} + d_{is}) * l}{T_{iy} - T_{dy}}$	$b * U_{ik} + \xi$	$b * U_{ik} + \xi$	0,6	2,49
Dişardan ve teras üstü yalıtımlı	Sıvalı	291,91	281,18	10,73	-8,5	-8,7	-9	8,8	$\frac{1}{\alpha_i + \frac{1}{\alpha_d} + \frac{0,679 * d_{yal}}{\lambda_{yal}} + \frac{d_{ik}}{\lambda_{ik}} + \frac{d_{ds}}{\lambda_{ds}} + \frac{d_{is}}{\lambda_{is}}}$	$\frac{q_y * (d_{IK} + d_{yal} + d_{ds} + d_{is}) * l}{T_{iy} - T_{dy}}$	$\frac{q_y * (d_{IK} + d_{yal} + d_{ds} + d_{is}) * l}{T_{iy} - T_{dy}}$	$b * U_{ik} + \xi$	$b * U_{ik} + \xi$	0,6	1,51
İçerden yalıtımlı	Sıvalı	291,85	281,25	10,6	-19	-11	-9,8	12,7	$\frac{1}{\alpha_i + \frac{1}{\alpha_d} + \frac{0,57 * d_{yal}}{\lambda_{yal}} + \frac{d_{ik}}{\lambda_{ik}} + \frac{d_{ds}}{\lambda_{ds}} + \frac{d_{is}}{\lambda_{is}}}$	$\frac{q_y * (d_{IK} + d_{yal} + d_{ds} + d_{is}) * l}{T_{iy} - T_{dy}}$	$\frac{q_y * (d_{IK} + d_{yal} + d_{ds} + d_{is}) * l}{T_{iy} - T_{dy}}$	$b * U_{ik} + \xi$	$b * U_{ik} + \xi$	0,6	1,02
İçerden ve teras üstü yalıtımlı	Sıvalı	290,76	281,19	9,57	-9,5	-8,1	-8,8	8,7	$\frac{1}{\alpha_i + \frac{1}{\alpha_d} + \frac{0,415 * d_{yal}}{\lambda_{yal}} + \frac{d_{ik}}{\lambda_{ik}} + \frac{d_{ds}}{\lambda_{ds}} + \frac{d_{is}}{\lambda_{is}}}$	$\frac{q_y * (d_{IK} + d_{yal} + d_{ds} + d_{is}) * l}{T_{iy} - T_{dy}}$	$\frac{q_y * (d_{IK} + d_{yal} + d_{ds} + d_{is}) * l}{T_{iy} - T_{dy}}$	$b * U_{ik} + \xi$	$b * U_{ik} + \xi$	0,6	0,76
Cift duvar arası yalıtımlı	Sıvalı	290,06	281,36	8,7	-11	-23	-28	21,3	$\frac{1}{\alpha_i + \frac{1}{\alpha_d} + \frac{d_{IK}}{i_{IK}} + \frac{d_{ds}}{\lambda_{ds}} + \frac{d_{is}}{\lambda_{is}}}$	$\frac{q_y * (d_{IK} + d_{ds} + d_{is}) * l}{T_{iy} - T_{dy}}$	$\frac{q_y * (d_{IK} + d_{ds} + d_{is}) * l}{T_{iy} - T_{dy}}$	$b * U_{ik} + \xi$	$b * U_{ik} + \xi$	0,6	0,91
Cift duvar arası teras yalıtımlı	Sıvalı	291,27	281,42	9,85	-22	-25	-28	25,2	$\frac{1}{\alpha_i + \frac{1}{\alpha_d} + \frac{0,274 * d_{yal}}{\lambda_{yal}} + \frac{d_{ik}}{\lambda_{ik}} + \frac{d_{ds}}{\lambda_{ds}} + \frac{d_{is}}{\lambda_{is}}}$	$\frac{q_y * (d_{IK} + d_{yal} + d_{ds} + d_{is}) * l}{T_{iy} - T_{dy}}$	$\frac{q_y * (d_{IK} + d_{yal} + d_{ds} + d_{is}) * l}{T_{iy} - T_{dy}}$	$b * U_{ik} + \xi$	$b * U_{ik} + \xi$	0,6	2,277838
Cift duvar arası, teras ve kinisiç yüzü yalıtımlı	Sıvalı	291,66	281,31	10,35	-20	12,5	-17	15,7	$\frac{1}{\alpha_i + \frac{1}{\alpha_d} + \frac{0,274 * d_{yal}}{\lambda_{yal}} + \frac{d_{ik}}{\lambda_{ik}} + \frac{d_{ds}}{\lambda_{ds}} + \frac{d_{is}}{\lambda_{is}}}$	$\frac{q_y * (d_{IK} + d_{yal} + d_{ds} + d_{is}) * l}{T_{iy} - T_{dy}}$	$\frac{q_y * (d_{IK} + d_{yal} + d_{ds} + d_{is}) * l}{T_{iy} - T_{dy}}$	$b * U_{ik} + \xi$	$b * U_{ik} + \xi$	0,6	1,10476

Ek 1.4 Teras kat düşemelerinde betonun ıslı iletkenliği 1,2 W/mK, Duvar ıslı iletkenliği 0,30 W/mK ve yalıtmı ıslı iletkenliğimin 0,05 W/mK olması durumundası köprüsüne ait parametrelerin hesaplanması ($R_i = 0,13 \text{ m}^2\text{K/W}$, $Re = 0,04 \text{ m}^2\text{K/W}$).

Teras kat	T_y K	$T_{\text{öp}}$ K	ΔT , °C	Yatay ısı akışı, W/m ²	U_{IK} , W/m ² K	Düşey ısı akışı, W/m ²			$\xi_y \cdot ?W/mK$	Formül	Değer	U _e W/mK
						Üst	Orta	Alt				
Yalıtımsız, parapet tuğla	289,71	281,5	8,21	-11	-23	-28	21,5		$\frac{1}{\alpha_i + \frac{1}{\alpha_d} + \frac{d}{\lambda_{IK}} + \frac{d_{ds}}{\lambda_{ds}} + \frac{d_{is}}{\lambda_{is}}}$	$\frac{q_y * (d_{IK} + d_{ds} + d_{is}) * 1}{T_{iy} - T_{dy}}$	1,14	0,6
Yalıtımsız, parapet belonarme	289,7	281,5	8,2	-11	-23	-28	21,5		$\frac{1}{\alpha_i + \frac{1}{\alpha_d} + \frac{d}{\lambda_{IK}} + \frac{d_{ds}}{\lambda_{ds}} + \frac{d_{is}}{\lambda_{is}}}$	$\frac{q_y * (d_{IK} + d_{ds} + d_{is}) * 1}{T_{iy} - T_{dy}}$	1,14	0,6
Disardan yalıtımı	291,59	281,24	10,4	-1,6	-9,7	-11	8,2		$\frac{1}{\alpha_i * \alpha_d + \frac{0,669 * d_{yal}}{\lambda_{yal}} + \frac{d_{ik}}{\lambda_{ik}} + \frac{d_{ds}}{\lambda_{ds}} + \frac{d_{is}}{\lambda_{is}}}$	$\frac{q_y * (d_{IK} + d_{yal} + d_{ds} + d_{is}) * 1}{T_{iy} - T_{dy}}$	1,20	0,6
Disardan ve teras üstü yalıtımı	291,77	281,26	10,51	-9	-9,7	-10	9,7		$\frac{1}{\alpha_i * \alpha_d + \frac{0,679 * d_{yal}}{\lambda_{yal}} + \frac{d_{ik}}{\lambda_{ik}} + \frac{d_{ds}}{\lambda_{ds}} + \frac{d_{is}}{\lambda_{is}}}$	$\frac{q_y * (d_{IK} + d_{yal} + d_{ds} + d_{is}) * 1}{T_{iy} - T_{dy}}$	1,20	0,6
İçerden yalıtımı	291,73	281,27	10,46	-19	-12	-11	13,3		$\frac{1}{\alpha_i * \alpha_d + \frac{0,57 * d_{yal}}{\lambda_{yal}} + \frac{d_{ik}}{\lambda_{ik}} + \frac{d_{ds}}{\lambda_{ds}} + \frac{d_{is}}{\lambda_{is}}}$	$\frac{q_y * (d_{IK} + d_{yal} + d_{ds} + d_{is}) * 1}{T_{iy} - T_{dy}}$	0,62	0,6
İçerden ve teras üstü yalıtımı	290,68	281,21	9,47	-9,5	-8,9	-10	9,4		$\frac{1}{\alpha_i * \alpha_d + \frac{0,415 * d_{yal}}{\lambda_{yal}} + \frac{d_{ik}}{\lambda_{ik}} + \frac{d_{ds}}{\lambda_{ds}} + \frac{d_{is}}{\lambda_{is}}}$	$\frac{q_y * (d_{IK} + d_{yal} + d_{ds} + d_{is}) * 1}{T_{iy} - T_{dy}}$	0,18	0,6
Çift duvar arası ve teras yalıtımı	290,02	281,38	8,64	-11	-23	-28	21,3		$\frac{1}{\alpha_i * \alpha_d + \frac{d}{\lambda_{IK}} + \frac{d_{ds}}{\lambda_{ds}} + \frac{d_{is}}{\lambda_{is}}}$	$\frac{q_y * (d_{IK} + d_{ds} + d_{is}) * 1}{T_{iy} - T_{dy}}$	0,49	0,6
Çift duvar arası, teras ve kiriş iç yüzü yalıtımlı	291,18	281,43	9,75	-21	-25	-28	25,0		$\frac{1}{\alpha_i * \alpha_d + \frac{0,274 * d_{yal}}{\lambda_{yal}} + \frac{d_{ik}}{\lambda_{ik}} + \frac{d_{ds}}{\lambda_{ds}} + \frac{d_{is}}{\lambda_{is}}}$	$\frac{q_y * (d_{IK} + d_{yal} + d_{ds} + d_{is}) * 1}{T_{iy} - T_{dy}}$	0,9952083	0,6
Çift duvar arası, teras ve kiriş iç yüzü yalıtımlı	291,55	281,32	10,23	-19	-13	-17	15,9		$\frac{1}{\alpha_i * \alpha_d + \frac{0,274 * d_{yal}}{\lambda_{yal}} + \frac{d_{ik}}{\lambda_{ik}} + \frac{d_{ds}}{\lambda_{ds}} + \frac{d_{is}}{\lambda_{is}}}$	$\frac{q_y * (d_{IK} + d_{yal} + d_{ds} + d_{is}) * 1}{T_{iy} - T_{dy}}$	0,4707692	0,6

Ek 1.5. Teras kat düşemelerinde betonun ıslı iletkenliği 1,2 W/mK, Duvar ıslı iletkenliği 0,45 W/mK ve yalıtım ıslı iletkenliğimin 0,03 W/mK olması durumundası köprüsüne ait parametrelerin hesaplanması (Ri= 0,13 m²K/W, Re= 0,04 m²K/W).

Teras kat	T _b K	T _{dy} K	ΔT, °C	Yatay ısı akışı, W/m ²			U _{IK} , W/m ² K	Düşey ısı akışı, W/m ²	Üst Değer	Formül	ξ, ?W/mK	b, m Değer	
				Üst	Orta	Alt							
Yalıtımsız, parapet tırqlı Sıvalar dahil	289,48	281,57	7,91	-11	-23	-28	21,5	$\frac{1}{\alpha_i + \frac{1}{\alpha_d} + \frac{d}{\lambda_{IK}} + \frac{d_{ds}}{\lambda_{ds}} + \frac{d_{is}}{\lambda_{is}}}$	2,15	$\frac{q_y * (d_{IK} + d_{ds} + d_{is}) * 1}{T_{iy} - T_{dy}}$	1,20	0,6	2,49
Yalıtımsız, parapet betonarme	289,48	281,57	7,91	-11	-23	-28	21,4	$\frac{1}{\alpha_i + \frac{1}{\alpha_d} + \frac{d}{\lambda_{IK}} + \frac{d_{ds}}{\lambda_{ds}} + \frac{d_{is}}{\lambda_{is}}}$	2,15	$\frac{q_y * (d_{IK} + d_{ds} + d_{is}) * 1}{T_{iy} - T_{dy}}$	1,24	0,6	2,53
Disardan yalıtımlı Sıvalar dahil	291,74	281,14	10,6	-0,7	-8,1	-8,7	6,4	$\frac{1}{\alpha_i + \frac{1}{\alpha_d} + \frac{0,667 * d_{yal}}{\lambda_{yal}} + \frac{d_{ik}}{\lambda_{ik}} + \frac{d_{ds}}{\lambda_{ds}} + \frac{d_{is}}{\lambda_{is}}}$	0,55	$\frac{q_y * (d_{IK} + d_{yal} + d_{ds} + d_{is}) * 1}{T_{iy} - T_{dy}}$	1,26	0,6	1,59
Disardan ve teras üstü yalıtımlı Sıvalar dahil	292	281,19	10,81	-8,7	-7,9	-7,5	8,0	$\frac{1}{\alpha_i + \frac{1}{\alpha_d} + \frac{0,679 * d_{yal}}{\lambda_{yal}} + \frac{d_{ik}}{\lambda_{ik}} + \frac{d_{ds}}{\lambda_{ds}} + \frac{d_{is}}{\lambda_{is}}}$	0,65	$\frac{q_y * (d_{IK} + d_{yal} + d_{ds} + d_{is}) * 1}{T_{iy} - T_{dy}}$	0,67	0,6	1,07
İçerden yalıtımlı Sıvalar dahil	291,96	281,23	10,73	-20	-10	-8,3	11,9	$\frac{1}{\alpha_i + \frac{1}{\alpha_d} + \frac{0,57 * d_{yal}}{\lambda_{yal}} + \frac{d_{ik}}{\lambda_{ik}} + \frac{d_{ds}}{\lambda_{ds}} + \frac{d_{is}}{\lambda_{is}}}$	0,93	$\frac{q_y * (d_{IK} + d_{yal} + d_{ds} + d_{is}) * 1}{T_{iy} - T_{dy}}$	0,16	0,6	0,72
İçerden ve teras üstü yalıtımlı Sıvalar dahil	290,82	281,17	9,65	-9,4	-7,2	-7,2	7,8	$\frac{1}{\alpha_i + \frac{1}{\alpha_d} + \frac{0,415 * d_{yal}}{\lambda_{yal}} + \frac{d_{ik}}{\lambda_{ik}} + \frac{d_{ds}}{\lambda_{ds}} + \frac{d_{is}}{\lambda_{is}}}$	0,71	$\frac{q_y * (d_{IK} + d_{yal} + d_{ds} + d_{is}) * 1}{T_{iy} - T_{dy}}$	0,38	0,6	0,80
Cift duvar arası yalıtımlı Sıvalar dahil	290,36	281,36	9	-11	-23	-28	21,4	$\frac{1}{\alpha_i + \frac{1}{\alpha_d} + \frac{d}{\lambda_{IK}} + \frac{d_{ds}}{\lambda_{ds}} + \frac{d_{is}}{\lambda_{is}}}$	2,146	$\frac{q_y * (d_{IK} + d_{ds} + d_{is}) * 1}{T_{iy} - T_{dy}}$	0,97844	0,6	2,3
Cift duvar arası ve teras yalıtımlı Sıvalar dahil	291,33	281,42	9,91	-22	-25	-28	25,3	$\frac{1}{\alpha_i + \frac{1}{\alpha_d} + \frac{0,274 * d_{yal}}{\lambda_{yal}} + \frac{d_{ik}}{\lambda_{ik}} + \frac{d_{ds}}{\lambda_{ds}} + \frac{d_{is}}{\lambda_{is}}}$	2,146	$\frac{q_y * (d_{IK} + d_{yal} + d_{ds} + d_{is}) * 1}{T_{iy} - T_{dy}}$	0,48135	0,6	1,8
Cift duvar arası, teras ve kinış iç yüzü yalıtımlı Sıvalar dahil	291,73	281,3	10,43	-20	-12	-17	15,5	$\frac{1}{\alpha_i + \frac{1}{\alpha_d} + \frac{0,274 * d_{yal}}{\lambda_{yal}} + \frac{d_{ik}}{\lambda_{ik}} + \frac{d_{ds}}{\lambda_{ds}} + \frac{d_{is}}{\lambda_{is}}}$	1,1848	$\frac{q_y * (d_{IK} + d_{yal} + d_{ds} + d_{is}) * 1}{T_{iy} - T_{dy}}$	0,40161	0,6	1,1

Ek 1.6. Teras kat düşemelerinde betonun ıslı iletkenliği 1,5 W/mK, Duvar ıslı iletkenliği 0,15 W/mK ve yalıtım ıslı iletkenliğinin 0,03 W/mK olması durumunda ıslı köprüsüne ait parametrelerin hesaplanması (Ri= 0,13 m²K/W, Re= 0,04 m²K/W).

Teras kat	T _{fp}	K _{T_{fp}}	K _{ΔT_f}	Bileşik Ortalı	Alt	Bileske	Formül	Değer	Düsey ıslı akışı, W/m ²			ξ, W/mK	U _{fp} , W/mK	U _{fp} , W/mK			
									a	U _{IK} , W/m ² K	Üst	Orta	Alt	Toplam	Formül	b, m	Değer
Yalıtımsız, parapet migla	289,92	281,36	8,56	-12,2	-25,3	-31,2	24,0	1	$\frac{1}{\alpha_i + \frac{1}{\alpha_d} + \frac{d_{IK}}{\lambda_{IK}} + \frac{d_{ds}}{\lambda_{ds}} + \frac{d_{is}}{\lambda_{is}}}$	2,40	14,3	9,01	4,9	28,2	$\frac{q_y * (d_{IK} + d_{ds} + d_{is}) * 1}{T_{iy} - T_{dy}}$	b * U _{IK} + ξ	2,56
Yalıtımsız, parapet betonarme	289,74	281,44	8,3	-12,2	-25,3	-31,2	24,0	1	$\frac{1}{\alpha_i + \frac{1}{\alpha_d} + \frac{d_{IK}}{\lambda_{IK}} + \frac{d_{ds}}{\lambda_{ds}} + \frac{d_{is}}{\lambda_{is}}}$	2,40	14,3	9,01	4,9	28,2	$\frac{q_y * (d_{IK} + d_{ds} + d_{is}) * 1}{T_{iy} - T_{dy}}$	b * U _{IK} + ξ	2,60
Disardan yalıtımlı	291,79	281,12	10,7	-1,49	-8,24	-10,2	7,2	1	$\frac{1}{\alpha_i + \frac{1}{\alpha_d} + \frac{0,67 * d_{yal}}{\lambda_{yal}} + \frac{d_{IK}}{\lambda_{IK}} + \frac{d_{ds}}{\lambda_{ds}} + \frac{d_{is}}{\lambda_{is}}}$	0,60	19,13	13,15	5,68	38,0	$\frac{q_y * (d_{IK} + d_{yal} + d_{ds} + d_{is}) * 1}{T_{iy} - T_{dy}}$	b * U _{IK} + ξ	1,33
Disardan ve teras üstü yalıtımlı	292,15	281,14	11,01	-7,21	-7,3	-7,91	7,5	1	$\frac{1}{\alpha_i + \frac{1}{\alpha_d} + \frac{0,675 * d_{yal}}{\lambda_{yal}} + \frac{d_{IK}}{\lambda_{IK}} + \frac{d_{ds}}{\lambda_{ds}} + \frac{d_{is}}{\lambda_{is}}}$	0,61	6,87	4,15	2,014	13,0	$\frac{q_y * (d_{IK} + d_{yal} + d_{ds} + d_{is}) * 1}{T_{iy} - T_{dy}}$	b * U _{IK} + ξ	0,44
İçerden yalıtımlı	291,98	281,24	10,74	-23,6	-11,8	-9,46	14,0	1	$\frac{1}{\alpha_i + \frac{1}{\alpha_d} + \frac{0,566 * d_{yal}}{\lambda_{yal}} + \frac{d_{IK}}{\lambda_{IK}} + \frac{d_{ds}}{\lambda_{ds}} + \frac{d_{is}}{\lambda_{is}}}$	1,06	0,59	-3,4	0,008	3,9976	$\frac{q_y * (d_{IK} + d_{yal} + d_{ds} + d_{is}) * 1}{T_{iy} - T_{dy}}$	b * U _{IK} + ξ	0,14
İçerden ve teras üstü yalıtımlı	290,75	281,16	9,59	-10,9	-7,85	-7,9	8,6	1	$\frac{1}{\alpha_i + \frac{1}{\alpha_d} + \frac{0,408 * d_{yal}}{\lambda_{yal}} + \frac{d_{IK}}{\lambda_{IK}} + \frac{d_{ds}}{\lambda_{ds}} + \frac{d_{is}}{\lambda_{is}}}$	0,78	7,7	0,74	1,3	9,74	$\frac{q_y * (d_{IK} + d_{ds} + d_{is}) * 1}{T_{iy} - T_{dy}}$	b * U _{IK} + ξ	0,39
Cift duvar arası yalıtımlı	289,92	281,36	8,56	-12,2	-25,3	-31,2	24,0	1	$\frac{1}{\alpha_i + \frac{1}{\alpha_d} + \frac{d_{IK}}{\lambda_{IK}} + \frac{d_{ds}}{\lambda_{ds}} + \frac{d_{is}}{\lambda_{is}}}$	2,40398	14,3	9,01	4,9	28,213	$\frac{q_y * (d_{IK} + d_{ds} + d_{is}) * 1}{T_{iy} - T_{dy}}$	b * U _{IK} + ξ	1,12061
Cift duvar arası ve teras yalıtımlı	291,31	281,44	9,87	-26,4	-28,6	-31,7	29,1	1	$\frac{1}{\alpha_i + \frac{1}{\alpha_d} + \frac{0,278 * d_{yal}}{\lambda_{yal}} + \frac{d_{IK}}{\lambda_{IK}} + \frac{d_{ds}}{\lambda_{ds}} + \frac{d_{is}}{\lambda_{is}}}$	2,40398	5,38	2,95	3,31	11,64	$\frac{q_y * (d_{IK} + d_{yal} + d_{ds} + d_{is}) * 1}{T_{iy} - T_{dy}}$	b * U _{IK} + ξ	0,400973
Cift duvar arası, teras ve kiriş yüzü yalıtımlı	291,76	281,3	10,46	-23,8	-13,7	-18,3	17,7	1	$\frac{1}{\alpha_i + \frac{1}{\alpha_d} + \frac{0,158 * d_{yal}}{\lambda_{yal}} + \frac{d_{IK}}{\lambda_{IK}} + \frac{d_{ds}}{\lambda_{ds}} + \frac{d_{is}}{\lambda_{is}}}$	1,31581	1,36	0,023	6,83	8,213	$\frac{q_y * (d_{IK} + d_{yal} + d_{ds} + d_{is}) * 1}{T_{iy} - T_{dy}}$	b * U _{IK} + ξ	0,30295

Ek 1.7. Teras kat döşemelerinde betonun ıslı iletkenliği 1,5 W/mK, Duvar ıslı iletkenliği 0,30 W/mK ve yalıtım ıslı iletkenliğinin 0,03 W/mK olması durumunda ısı köprüsüne ait parametrelerin hesaplanması ($R_i=0,13 \text{ m}^2\text{K/W}$, $\text{Re}=0,04 \text{ m}^2\text{K/W}$).

Teras kat	T_{by} K	T_{by} K	ΔT , °C	Yatay ısı akışı, W/m ²	U_{IK} , W/m ² K	Düşey ısı akısı, W/m ²			U_e , W/mK	Formül	Değer	Formül	U_e , W/mK
						Üst	Orta	Alt					
Yalıtımsız, parametrik betonarme	Sıvah	289,47	281,53	7,94,-12,3 -25,-31,8	24,3	$\frac{1}{\alpha_i + \frac{1}{\alpha_d} + \frac{d}{\lambda_{IK}} + \frac{d_{ds}}{\lambda_{ds}} + \frac{d_{is}}{\lambda_{is}}}$				$\frac{q_y * (d_{IK} + d_{ds} + d_{is}) * l}{T_{iy} - T_{dy}}$	b * U _{IK} + ξ	0,6	2,80
Yalıtımsız, parametrik betonarme	Sıvah	289,45	281,54	7,91,-12,1 -25,4,-31,8	24,2	$\frac{1}{\alpha_i + \frac{1}{\alpha_d} + \frac{d}{\lambda_{IK}} + \frac{d_{ds}}{\lambda_{ds}} + \frac{d_{is}}{\lambda_{is}}}$				$\frac{q_y * (d_{IK} + d_{ds} + d_{is}) * l}{T_{iy} - T_{dy}}$	b * U _{IK} + ξ	0,6	2,86
Disardan yalıtılım	Sıvah	291,7	281,14	10,6,0,74 -8,41,-9,92	7,0	$\frac{1}{\alpha_i + \frac{1}{\alpha_d} + \frac{0,674 * d_{yal}}{\lambda_{yal}} + \frac{d_{ik}}{\lambda_{ik}} + \frac{d_{ds}}{\lambda_{ds}} + \frac{d_{is}}{\lambda_{is}}}$				$\frac{q_y * (d_{IK} + d_{yal} + d_{ds} + d_{is}) * l}{T_{iy} - T_{dy}}$	b * U _{IK} + ξ	0,6	2,90
Disardan ve teras üstü yalıtılım	Sıvah	292,04	281,15	10,89,-8,5 -7,87,-8,06	8,1	$\frac{1}{\alpha_i + \frac{1}{\alpha_d} + \frac{0,676 * d_{yal}}{\lambda_{yal}} + \frac{d_{ik}}{\lambda_{ik}} + \frac{d_{ds}}{\lambda_{ds}} + \frac{d_{is}}{\lambda_{is}}}$				$\frac{q_y * (d_{IK} + d_{yal} + d_{ds} + d_{is}) * l}{T_{iy} - T_{dy}}$	b * U _{IK} + ξ	0,6	2,94
İçerden yalıtılım	Sıvah	291,92	281,25	-10,67,-23,5 -11,6,-9,24	13,8	$\frac{1}{\alpha_i + \frac{1}{\alpha_d} + \frac{0,574 * d_{yal}}{\lambda_{yal}} + \frac{d_{ik}}{\lambda_{ik}} + \frac{d_{ds}}{\lambda_{ds}} + \frac{d_{is}}{\lambda_{is}}}$				$\frac{q_y * (d_{IK} + d_{yal} + d_{ds} + d_{is}) * l}{T_{iy} - T_{dy}}$	b * U _{IK} + ξ	0,6	1,76
İcerden ve teras üstü yalıtılım	Sıvah	291,17	281,2	-9,97,-10,9 -7,8,-7,8	8,6	$\frac{1}{\alpha_i + \frac{1}{\alpha_d} + \frac{0,411 * d_{yal}}{\lambda_{yal}} + \frac{d_{ik}}{\lambda_{ik}} + \frac{d_{ds}}{\lambda_{ds}} + \frac{d_{is}}{\lambda_{is}}}$				$\frac{q_y * (d_{IK} + d_{yal} + d_{ds} + d_{is}) * l}{T_{iy} - T_{dy}}$	b * U _{IK} + ξ	0,6	0,80
Cift duvar arası yalıtlımlı	Sıvah	289,85	281,38	8,47,-12,2 -25,3,-31,3	24,0	$\frac{1}{\alpha_i + \frac{1}{\alpha_d} + \frac{d}{\lambda_{IK}} + \frac{d_{ds}}{\lambda_{ds}} + \frac{d_{is}}{\lambda_{is}}}$				$\frac{q_y * (d_{IK} + d_{ds} + d_{is}) * l}{T_{iy} - T_{dy}}$	b * U _{IK} + ξ	0,6	0,83
Cift duvar arası ve teras yalıtlımlı	Sıvah	291,23	281,46	9,77,-26,1 -23,7,-13,6	29,0	$\frac{1}{\alpha_i + \frac{1}{\alpha_d} + \frac{d}{\lambda_{IK}} + \frac{d_{ds}}{\lambda_{ds}} + \frac{d_{is}}{\lambda_{is}}}$				$\frac{q_y * (d_{IK} + d_{ds} + d_{is}) * l}{T_{iy} - T_{dy}}$	b * U _{IK} + ξ	0,6	2,669
Cift duvar arası, teras ve kirş iç yüzü yalıtlımlı	Sıvah	291,68	281,32	10,36,-23,7 -18,4	17,7	$\frac{1}{\alpha_i + \frac{1}{\alpha_d} + \frac{0,274 * d_{yal}}{\lambda_{yal}} + \frac{d_{ik}}{\lambda_{ik}} + \frac{d_{ds}}{\lambda_{ds}} + \frac{d_{is}}{\lambda_{is}}}$				$\frac{q_y * (d_{IK} + d_{yal} + d_{ds} + d_{is}) * l}{T_{iy} - T_{dy}}$	b * U _{IK} + ξ	0,6	1,91846
													0,3690203
													0,6 1,16409

Ek 1.8. Teras kat dösemelerinde betonun ıslı iletkenliği $1,5 \text{ W/mK}$, Duvar ıslı iletkenliğinin $0,30 \text{ W/mK}$, Duvar ıslı iletkenliğin $0,04 \text{ W/mK}$ olması durumunda ıslı köprüsüne ait parametrelerin hesaplanması ($R_i = 0,13 \text{ m}^2\text{K/W}$, $\text{Re} = 0,04 \text{ m}^2\text{K/W}$).

Teras kat	T_{by} K	T_{dp}	KAT.	α_d	Yatay ıslı akısı, W/m^2			U _{ik} , $\text{W/m}^2\text{K}$	Değer	Düsey ıslı akısı, W/m^2			U _{ik} , $\text{W/m}^2\text{K}$	Değer	Formül	b, m	Değer	
					Üst	Orta	Alt			Üst	Orta	Alt						
Yalıtımsız, paramet suyaşı	289,47	281,53			7,94	-12,3	-25	-31,8	24,3	2,40	14,74	9,8	7,14	31,7	b * $U_{ik} + \xi$		2,80	
Yalıtımsız, paramet betonarme	289,45	281,54			7,91	-12,1	-25,4	-31,77	24,2	2,40	16,11	10,4	7,3	33,8	b * $U_{ik} + \xi$		2,90	
Dışardan yalıtımlı	291,6	281,17	10,4	-0,1	-9,36	-11,19	7,7		1	0,65	19,6	13,44	6,03	39,1	$q_y * (d_{ik} + d_{yal} + d_{ds} + d_{is}) * 1$	$T_{iy} - T_{dy}$		
Dışardan ve teras ılısı yalıtımlı	291,87	281,19	10,68	-9,2	-9,1	-9,6	9,3		1	0,76	9,64	5,78	2,9	18,3	$q_y * (d_{ik} + d_{yal} + d_{ds} + d_{is}) * 1$	$T_{iy} - T_{dy}$		
İçerdən yalıtımlı	291,78	281,27	10,51	-23,01	-12,3	-10,66	14,4		1	1,11	1,87	-2,52	0,4	4,79	$q_y * (d_{ik} + d_{yal} + d_{ds} + d_{is}) * 1$	$T_{iy} - T_{dy}$		
İçerdən ve teras ılısı yalıtımlı	290,61	281,2			9,41	-10,96	-8,71	-9,35	9,5		0,86	8,25	1,34	1,66	11,25	$q_y * (d_{ik} + d_{yal} + d_{ds} + d_{is}) * 1$	$T_{iy} - T_{dy}$	
Cift duvar arası yalıtımlı	289,81	281,4			8,41	-12,22	-25,33	-31,26	24,0	2,40	14,66	9,18	5,13	28,97	$q_y * (d_{ik} + d_{yal} + d_{ds} + d_{is}) * 1$	$T_{iy} - T_{dy}$		
Cift duvar arası ve teras yalıtımlı	291,13	281,47			9,66	-25,55	-28,38	-31,71	28,8	1	0,274 * d_{yal} + d_{ik} + d_{ds} + d_{is}			$q_y * (d_{ik} + d_{yal} + d_{ds} + d_{is}) * 1$	$T_{iy} - T_{dy}$			
Cift duvar arası, teras yalıtımlı yazılı	291,56	281,34			10,22	-23,16	-14,06	-18,9	17,9		2,40	6,9	3,67	3,65	14,22	$q_y * (d_{ik} + d_{yal} + d_{ds} + d_{is}) * 1$	$T_{iy} - T_{dy}$	

Ek 1.9. Teras kat döşemelerinde betonun ıslı iletkenliği 1.5 W/mK , Duvar ıslı iletkenliği $0,30 \text{ W/mK}$ ve yalıtım ıslı iletkenliğinin $0,05 \text{ W/mK}$ olması durumunda ıslı köprüsüne ait parametrelerin hesaplanması ($R_i = 0,13 \text{ m}^2\text{K/W}$, $\text{Re} = 0,04 \text{ m}^2\text{K/W}$).

Teras kat	T_{by}	$K_{T_{by}}$	$K_{\Delta T}$	$^{\circ}\text{C}$	Yatay ısı akışı, W/m^2				U _{IK} , $\text{W/m}^2\text{K}$	Düşey ısı akışı, W/m^2				E_{by} , W/mK	U _{ic} , W/mK	Formül	b_{m}	Değer	
					Üst	Orta	Alt	Bileşik Formül		Değer	Üst	Orta	Alt	Toplam					
Yalıtımsız, parapet tuga betonarme	289,47	281,53	7,94	-12,3	-25	-3,8	24,3	$\frac{1}{\alpha_i + \frac{1}{\alpha_d} + \frac{d_{IK}}{\lambda_{IK}} + \frac{d_{ds}}{\lambda_{ds}} + \frac{d_{is}}{\lambda_{is}}}$	2,40	14,74	9,8	7,14	31,7	$\frac{q_y * (d_{IK} + d_{ds} + d_{is}) * 1}{T_{iy} - T_{dy}}$	$b * U_{IK} + \xi$	$b * U_{IK} + \xi$	$b * U_{IK} + \xi$	0,6	2,80
Yalıtımsız, parapet betonarme	289,45	281,54	7,91	-12,1	-25,4	-3,8	24,2	$\frac{1}{\alpha_i + \frac{1}{\alpha_d} + \frac{d_{IK}}{\lambda_{IK}} + \frac{d_{ds}}{\lambda_{ds}} + \frac{d_{is}}{\lambda_{is}}}$	2,40	16,11	10,4	7,3	33,8	$\frac{q_y * (d_{IK} + d_{ds} + d_{is}) * 1}{T_{iy} - T_{dy}}$	$b * U_{IK} + \xi$	$b * U_{IK} + \xi$	$b * U_{IK} + \xi$	0,6	2,90
Dişardan yalıtlımlı	291,49	281,19	10,3	-0,85	-10,2	-12,3	8,6	$\frac{1}{\alpha_i + \frac{1}{\alpha_d} + \frac{0,662 * d_{yal}}{\lambda_{yal}} + \frac{d_{IK}}{\lambda_{IK}} + \frac{d_{ds}}{\lambda_{ds}} + \frac{d_{is}}{\lambda_{is}}}$	0,73	19,32	13,21	6,03	38,6	$\frac{q_y * (d_{IK} + d_{yal} + d_{ds} + d_{is}) * 1}{T_{iy} - T_{dy}}$	$b * U_{IK} + \xi$	$b * U_{IK} + \xi$	$b * U_{IK} + \xi$	0,6	1,83
Dişardan ve teras üstü yalıtlımlı	291,73	281,22	10,51	-9,78	-10,2	-11	10,4	$\frac{1}{\alpha_i + \frac{1}{\alpha_d} + \frac{0,679 * d_{yal}}{\lambda_{yal}} + \frac{d_{IK}}{\lambda_{IK}} + \frac{d_{ds}}{\lambda_{ds}} + \frac{d_{is}}{\lambda_{is}}}$	0,84	9,83	6	3,067	18,9	$\frac{q_y * (d_{IK} + d_{yal} + d_{ds} + d_{is}) * 1}{T_{iy} - T_{dy}}$	$b * U_{IK} + \xi$	$b * U_{IK} + \xi$	$b * U_{IK} + \xi$	0,6	1,87
İçerden yalıtlımlı	291,66	281,29	10,37	-22,6	-12,9	-11,9	15,0	$\frac{1}{\alpha_i + \frac{1}{\alpha_d} + \frac{0,57 * d_{yal}}{\lambda_{yal}} + \frac{d_{IK}}{\lambda_{IK}} + \frac{d_{ds}}{\lambda_{ds}} + \frac{d_{is}}{\lambda_{is}}}$	1,16	2,4	-1,9	0,83	5,13	$\frac{q_y * (d_{IK} + d_{yal} + d_{ds} + d_{is}) * 1}{T_{iy} - T_{dy}}$	$b * U_{IK} + \xi$	$b * U_{IK} + \xi$	$b * U_{IK} + \xi$	0,6	1,18
İçerden ve teras üstü yalıtlımlı	290,53	281,22	9,31	-11	-9,53	-10,7	10,3	$\frac{1}{\alpha_i + \frac{1}{\alpha_d} + \frac{0,412 * d_{yal}}{\lambda_{yal}} + \frac{d_{IK}}{\lambda_{IK}} + \frac{d_{ds}}{\lambda_{ds}} + \frac{d_{is}}{\lambda_{is}}}$	0,93	8,64	1,86	2,06	12,56	$\frac{q_y * (d_{IK} + d_{ds} + d_{is}) * 1}{T_{iy} - T_{dy}}$	$b * U_{IK} + \xi$	$b * U_{IK} + \xi$	$b * U_{IK} + \xi$	0,6	0,89
Cift duvar arası yalıtlımlı	289,73	281,44	8,29	-12,2	-25,3	-31,2	24,0	$\frac{1}{\alpha_i + \frac{1}{\alpha_d} + \frac{d}{\lambda_{IK}} + \frac{d_{ds}}{\lambda_{ds}} + \frac{d_{is}}{\lambda_{is}}}$	2,40398	14,66	9,2	5,11	28,97	$\frac{q_y * (d_{IK} + d_{ds} + d_{is}) * 1}{T_{iy} - T_{dy}}$	$b * U_{IK} + \xi$	$b * U_{IK} + \xi$	$b * U_{IK} + \xi$	0,6	2,6303418
Cift duvar arası ve teras yalıtlımlı	291,03	281,48	9,55	-25	-28,3	-31,7	28,6	$\frac{1}{\alpha_i + \frac{1}{\alpha_d} + \frac{0,274 * d_{yal}}{\lambda_{yal}} + \frac{d_{IK}}{\lambda_{IK}} + \frac{d_{ds}}{\lambda_{ds}} + \frac{d_{is}}{\lambda_{is}}}$	2,40398	7,15	3,9	3,7	14,75	$\frac{q_y * (d_{IK} + d_{yal} + d_{ds} + d_{is}) * 1}{T_{iy} - T_{dy}}$	$b * U_{IK} + \xi$	$b * U_{IK} + \xi$	$b * U_{IK} + \xi$	0,6	1,9675183
Cift duvar arası, teras ve kiriş iç yüzü yalıtlımlı	291,46	281,35	10,11	-22,7	-14,5	-19,4	18,2	$\frac{1}{\alpha_i + \frac{1}{\alpha_d} + \frac{d}{\lambda_{IK}} + \frac{d_{ds}}{\lambda_{ds}} + \frac{d_{is}}{\lambda_{is}}}$	1,37682	3,07	1,13	7,1	11,3	$\frac{q_y * (d_{IK} + d_{yal} + d_{ds} + d_{is}) * 1}{T_{iy} - T_{dy}}$	$b * U_{IK} + \xi$	$b * U_{IK} + \xi$	$b * U_{IK} + \xi$	0,6	1,2564105

Ek 1.10. Teras kat dösemelerinde betonun ıslı iletkenliği 1,5 W/mK, Duvar ıslı iletkenliği 0,45 W/mK ve yalıtmı ıslı iletkenliğinin 0,03 W/mK olması durumunda ısı köprüsüne ait parametrelerin hesaplanması ($R_i = 0,13 \text{ m}^2\text{K/W}$, $\text{Re} = 0,04 \text{ m}^2\text{K/W}$).

Teras kat	T_b K	$T_{b''}$ K	ΔT °C	Yatay ısı akışı, W/m ²			U_{IK} W/m ² K Formül	Düşey ısı akışı, W/m ² Formül	U_b W/mK Değer							
				Üst	Orta	Alt	Bileşik L _{eff} mason, d _{s,ıslım}	d _{ıslım} /d _{ıslım}								
Yalıtımsız, parapet rugia	289,24	281,61		7,63	12,29	-2,5	-31,6	24,2	3,17	0,404	1,347	$\frac{1}{\alpha_i + \frac{1}{\alpha_d} + \frac{d_{IK}}{\lambda_{IK}} + \frac{d_{ds}}{\lambda_{ds}} + \frac{d_{is}}{\lambda_{is}}}$	$b * U_{IK} + \zeta$	0,6	2,87	
Yalıtımsız, parapet betonarme	289,23	281,61		7,62	-12,1	25,37	-31,6	24,1	3,16	0,405	1,350	$\frac{1}{\alpha_i + \frac{1}{\alpha_d} + \frac{d_{IK}}{\lambda_{IK}} + \frac{d_{ds}}{\lambda_{ds}} + \frac{d_{is}}{\lambda_{is}}}$	$b * U_{IK} + \zeta$	0,6	2,95	
Dişardan yalıtımlı	291,64	281,1										$\frac{1}{\alpha_i + \frac{1}{\alpha_d} + \frac{0,665 * d_{yal}}{\lambda_{yal}} + \frac{d_{IK}}{\lambda_{IK}} + \frac{d_{ds}}{\lambda_{ds}} + \frac{d_{is}}{\lambda_{is}}}$	$b * U_{IK} + \zeta$	0,6	1,81	
Dişardan ve teras üstü yalıtımlı	291,97	281,16		10,81	-9,42	-8,26	-8,06	8,5	0,78	0,040	0,790	$\frac{1}{\alpha_i + \frac{1}{\alpha_d} + \frac{0,675 * d_{yal}}{\lambda_{yal}} + \frac{d_{IK}}{\lambda_{IK}} + \frac{d_{ds}}{\lambda_{ds}} + \frac{d_{is}}{\lambda_{is}}}$	$b * U_{IK} + \zeta$	0,6	1,15	
İçerden yalıtımlı	291,9	281,25		10,65	-23,3	-11,4	-9,02	13,6	1,28	0,016	0,324	$\frac{1}{\alpha_i + \frac{1}{\alpha_d} + \frac{0,574 * d_{yal}}{\lambda_{yal}} + \frac{d_{IK}}{\lambda_{IK}} + \frac{d_{ds}}{\lambda_{ds}} + \frac{d_{is}}{\lambda_{is}}}$	$b * U_{IK} + \zeta$	0,6	0,81	
İçerden ve teras üstü yalıtımlı	290,68	281,18			9,5	-11	-7,75	-7,66	8,5	0,90	0,026	0,523	$\frac{1}{\alpha_i + \frac{1}{\alpha_d} + \frac{0,415 * d_{yal}}{\lambda_{yal}} + \frac{d_{IK}}{\lambda_{IK}} + \frac{d_{ds}}{\lambda_{ds}} + \frac{d_{is}}{\lambda_{is}}}$	$b * U_{IK} + \zeta$	0,6	0,86
Cift duvar arası yalıtımlı	289,81	281,4		8,41	-12,2	-25,3	-31,4	24,1	2,86	0,455	1,516	$\frac{1}{\alpha_i + \frac{1}{\alpha_d} + \frac{d_{IK}}{\lambda_{IK}} + \frac{d_{ds}}{\lambda_{ds}} + \frac{d_{is}}{\lambda_{is}}}$	$b * U_{IK} + \zeta$	0,6	2,64	
Cift duvar arası ve teras yalıtımlı	291,18	281,47		9,71	-25,9	-28,4	-31,9	28,9	2,98	0,434	1,448	$\frac{1}{\alpha_i + \frac{1}{\alpha_d} + \frac{0,274 * d_{yal}}{\lambda_{yal}} + \frac{d_{IK}}{\lambda_{IK}} + \frac{d_{ds}}{\lambda_{ds}} + \frac{d_{is}}{\lambda_{is}}}$	$b * U_{IK} + \zeta$	0,6	1,98	
Cift duvar arası, teras ve kiriş iç yüzü yalıtımlı	291,63	281,33		10,3	-23,6	-13,5	-18,6	17,7	1,72	0,10	0,205	$\frac{1}{\alpha_i + \frac{1}{\alpha_d} + \frac{0,274 * d_{yal}}{\lambda_{yal}} + \frac{d_{IK}}{\lambda_{IK}} + \frac{d_{ds}}{\lambda_{ds}} + \frac{d_{is}}{\lambda_{is}}}$	$b * U_{IK} + \zeta$	0,6	1,22	

Ek 1.11. Teras kat döşemelerinde betonun ıslı iletkenliği 2,1 W/mK, Duvar ıslı iletkenliği 0,15 W/mK ve yalıtım ıslı iletkenliğinin 0,03 W/mK olması durumunda köprüsüne ait parametrelerin hesaplanması ($R_i=0,13 \text{ m}^2\text{K/W}$, $Re=0,04 \text{ m}^2\text{K/W}$).

Teras kat	T_{sp}	K	T_{dy}	$K \Delta T, ^\circ\text{C}$	a	$U_{ik}, \text{W/m}^2\text{K}$		Dışçı ıslı akışı, W/m^2				$\xi, \text{W/mK}$					
						Üst	Orta	Alt	Bileşik Formül	Değer	Üst	Orta	Alt				
Yalıtımsız, parapet tırgıla	Sıvıaltı	289,4	281,5	7,9	-14,8	-29,4	-37,9	28,6	$\frac{1}{\alpha_i} + \frac{1}{\alpha_d} + \frac{d/K}{\lambda_{IK}} + \frac{d_{ds}}{\lambda_{ds}} + \frac{d_{is}}{\lambda_{is}}$	2,79	16,63	12,09	9,86	38,6	1,06	0,6	3,33
Yalıtımsız, parapet betonarme	Sıvıaltı	289,38	281,49	7,89	-14,7	-29,3	-37,8	28,5	$\frac{1}{\alpha_i} + \frac{1}{\alpha_d} + \frac{d/K}{\lambda_{IK}} + \frac{d_{ds}}{\lambda_{ds}} + \frac{d_{is}}{\lambda_{is}}$	2,79	19,54	13,26	9,3	42,1	1,81	0,6	3,49
Disardan yalıtılmı	Sıvıaltı	291,63	281,12	10,5	3,46	-8,7	-11,8	8,4	$\frac{1}{\alpha_i} + \frac{1}{\alpha_d} + \frac{0,675 * d_{yal}}{\lambda_{yal}} + \frac{d_{ik}}{\lambda_{ik}} + \frac{d_{ds}}{\lambda_{ds}} + \frac{d_{is}}{\lambda_{is}}$	0,70	22,5	16,63	7,6	46,7	1,06	0,6	2,08
Disardan ve teras üstü yalıtılmı	Sıvıaltı	292,13	281,15	10,98	-7,72	-7,6	-8,47	7,9	$\frac{1}{\alpha_i} + \frac{1}{\alpha_d} + \frac{0,675 * d_{yal}}{\lambda_{yal}} + \frac{d_{ik}}{\lambda_{ik}} + \frac{d_{ds}}{\lambda_{ds}} + \frac{d_{is}}{\lambda_{is}}$	0,64	7,3	4,6	2,3	14,2	0,48	0,6	0,87
İçerden yalıtılmı	Sıvıaltı	291,87	281,27	10,6	-30	-14	-10,8	16,9	$\frac{1}{\alpha_i} + \frac{1}{\alpha_d} + \frac{0,566 * d_{yal}}{\lambda_{yal}} + \frac{d_{ik}}{\lambda_{ik}} + \frac{d_{ds}}{\lambda_{ds}} + \frac{d_{is}}{\lambda_{is}}$	1,26	-0,271	-5,11	-0,61	5,9911	0,22	0,6	0,97
İçerden ve teras üstü yalıtılmı	Sıvıaltı	290,55	281,17	9,38	-13,5	-8,77	-8,51	9,9	$\frac{1}{\alpha_i} + \frac{1}{\alpha_d} + \frac{0,408 * d_{yal}}{\lambda_{yal}} + \frac{d_{ik}}{\lambda_{ik}} + \frac{d_{ds}}{\lambda_{ds}} + \frac{d_{is}}{\lambda_{is}}$	0,89	8,106	0,36	1,19	9,656	0,40	0,6	0,93
Cift duvar arası yalıtılmı	Sıvıaltı	289,56	281,42	8,14	-14,7	-29	-36,8	28,1	$\frac{1}{\alpha_i} + \frac{1}{\alpha_d} + \frac{d/K}{\lambda_{IK}} + \frac{d_{ds}}{\lambda_{ds}} + \frac{d_{is}}{\lambda_{is}}$	2,7868	16,49	11	6,35	34,023	1,42	0,6	3,09
Cift duvar arası ve teras yalıtılmı	Sıvıaltı	291,08	281,51	9,57	-33,1	-34	-38	34,9	$\frac{1}{\alpha_i} + \frac{1}{\alpha_d} + \frac{0,278 * d_{yal}}{\lambda_{yal}} + \frac{d_{ik}}{\lambda_{ik}} + \frac{d_{ds}}{\lambda_{ds}} + \frac{d_{is}}{\lambda_{is}}$	2,7868	5,742	3,032	3,95	12,724	0,45	0,6	2,12
Cift duvar arası, teras ve körüş yüzü yalıtılmı	Sıvıaltı	291,6	281,36	10,24	-30,2	-16,3	-21,6	21,6	$\frac{1}{\alpha_i} + \frac{1}{\alpha_d} + \frac{0,278 * d_{yal}}{\lambda_{yal}} + \frac{d_{ik}}{\lambda_{ik}} + \frac{d_{ds}}{\lambda_{ds}} + \frac{d_{is}}{\lambda_{is}}$	1,55013	0,826	-0,68	9	10,50077	0,39	0,6	1,32

Ek 1.12. Teras kat dösemelerinde betonun ıslı iletkenliği 2,1 W/mK, Duvar ıslı iletkenliği 0,30 W/mK ve yalıtım ıslı iletkenliğinin 0,03 W/mK olması durumundaşı köprüsüne ait parametrelerin hesaplanması ($R_i = 0,13 \text{ m}^2\text{K/W}$, $Re = 0,04 \text{ m}^2\text{K/W}$)

Teras kat	T_{kp}	K	T_{dy}	K	ΔT	°C	Yatay ısı akışı, W/m ²			U _{IK} , W/m ² K			Düşey ısı akışı, W/m ²			ξ_s , W/mK			U _b , W/mK	Formül	b, m	Değer	
							Üst	Orta	Alt	Bileşik	Formül	Değer	Üst	Orta	Alt	Toplam	Formül	Değer	Üst	Orta	Alt		
Yalıtımsız, parapet tırgıla	Sıvıaltı	289,11	281,6	7,51	-14,8	-29	-37,6	28,5		$\frac{1}{\alpha_i + \frac{1}{\alpha_d} + \frac{d}{\lambda_{IK}} + \frac{d_{ds}}{\lambda_{ds}} + \frac{d_{is}}{\lambda_{is}}}$	1						$\frac{q_y * (d_{IK} + d_{ds} + d_{is}) * 1}{T_{iy} - T_{dy}}$						
Yalıtımsız, parapet betonarme	Sıvıaltı	289,09	281,59	7,5	-14,7	-29,5	-37,6	28,5		$\frac{1}{\alpha_i + \frac{1}{\alpha_d} + \frac{d}{\lambda_{IK}} + \frac{d_{ds}}{\lambda_{ds}} + \frac{d_{is}}{\lambda_{is}}}$	1						$\frac{q_y * (d_{IK} + d_{ds} + d_{is}) * 1}{T_{iy} - T_{dy}}$						
Disardan yalıtılmış	Sıvıaltı	291,54	281,14	10,4	2,57	-8,91	-11,6	8,2		$\frac{1}{\alpha_i + \frac{1}{\alpha_d} + \frac{0,674 * d_{yal}}{\lambda_{yal}} + \frac{d_{IK}}{\lambda_{IK}} + \frac{d_{ds}}{\lambda_{ds}} + \frac{d_{is}}{\lambda_{is}}}$	1						$\frac{q_y * (d_{IK} + d_{yal} + d_{ds} + d_{is}) * 1}{T_{iy} - T_{dy}}$						
İçerdan ve teras üstü yalıtılmış	Sıvıaltı	292	281,16	10,84	-9,3	-8,3	-8,75	8,7		$\frac{1}{\alpha_i + \frac{1}{\alpha_d} + \frac{0,676 * d_{yal}}{\lambda_{yal}} + \frac{d_{IK}}{\lambda_{IK}} + \frac{d_{ds}}{\lambda_{ds}} + \frac{d_{is}}{\lambda_{is}}}$	1						$\frac{q_y * (d_{IK} + d_{yal} + d_{ds} + d_{is}) * 1}{T_{iy} - T_{dy}}$						
İçerden yalıtıltırı	Sıvıaltı	291,81	281,28	10,53	-29,9	-13,7	-10,5	16,7		$\frac{1}{\alpha_i + \frac{1}{\alpha_d} + \frac{0,574 * d_{yal}}{\lambda_{yal}} + \frac{d_{IK}}{\lambda_{IK}} + \frac{d_{ds}}{\lambda_{ds}} + \frac{d_{is}}{\lambda_{is}}}$	1						$\frac{q_y * (d_{IK} + d_{yal} + d_{ds} + d_{is}) * 1}{T_{iy} - T_{dy}}$						
İçerdan ve teras üstü yalıtıltırı	Sıvıaltı	290,5	281,19	9,31	-13,6	-8,72	-8,4	9,8		$\frac{1}{\alpha_i + \frac{1}{\alpha_d} + \frac{0,411 * d_{yal}}{\lambda_{yal}} + \frac{d_{IK}}{\lambda_{IK}} + \frac{d_{ds}}{\lambda_{ds}} + \frac{d_{is}}{\lambda_{is}}}$	1						$\frac{q_y * (d_{IK} + d_{yal} + d_{ds} + d_{is}) * 1}{T_{iy} - T_{dy}}$						
Cift duvar arası yalıtıltırı	Sıvıaltı	289,49	281,44	8,05	-14,7	-29,2	-37	28,2		$\frac{1}{\alpha_i + \frac{1}{\alpha_d} + \frac{d}{\lambda_{IK}} + \frac{d_{ds}}{\lambda_{ds}} + \frac{d_{is}}{\lambda_{is}}}$	1						$\frac{q_y * (d_{IK} + d_{ds} + d_{is}) * 1}{T_{iy} - T_{dy}}$						
Cift duvar arası ve teras yalıtıltırı	Sıvıaltı	291	281,53	9,47	-32,8	-33,6	-37,8	34,8		$\frac{1}{\alpha_i + \frac{1}{\alpha_d} + \frac{d}{\lambda_{IK}} + \frac{d_{ds}}{\lambda_{ds}} + \frac{d_{is}}{\lambda_{is}}}$	1						$\frac{q_y * (d_{IK} + d_{yal} + d_{ds} + d_{is}) * 1}{T_{iy} - T_{dy}}$						
Cift duvar arası, teras ve kiriş iş yüzü yalıtıltırı	Sıvıaltı	291,52	281,37	10,15	-30,1	-16,3	-21,7	21,5		$\frac{1}{\alpha_i + \frac{1}{\alpha_d} + \frac{0,274 * d_{yal}}{\lambda_{yal}} + \frac{d_{IK}}{\lambda_{IK}} + \frac{d_{ds}}{\lambda_{ds}} + \frac{d_{is}}{\lambda_{is}}}$	1						$\frac{q_y * (d_{IK} + d_{yal} + d_{ds} + d_{is}) * 1}{T_{iy} - T_{dy}}$						

Ek 1.13. Teras kat dösemelerinde betonun ıslı iletkenliği 2,1 W/mK, Duvar ıslı iletkenliği 0,30 W/mK ve yalıtmı ıslı iletkenliğinin 0,04 W/mK olması durumundası köprüsüne ait parametrelerin hesaplanması ($R_i = 0,13 \text{ m}^2\text{K/W}$, $\text{Re} = 0,04 \text{ m}^2\text{K/W}$).

Teras kat	T_{by} K	T_{ik} K	ΔT_b °C	Yalay ıslı akısı, W/m ²		Bileşke Formül	Değer	Dışey ıslı akısı, W/m ²		Toplam Formül	ξ_s W/mK	Değer	Formül	h, m	Değer	
				Üst	Orta			Üst	Orta							
Yalıtmaz, parapet hügla	Sıvah	289,11	281,6	7,51	-14,8	-29	-37,64	28,5						b * $U_{ik} + \xi_s$		
Yalıtmaz, parapet betonarme	Sıvah	289,09	281,59	7,5	-14,66	-29,45	-37,6	28,5						b * $U_{ik} + \xi_s$		
Dişardan yalıtmı	Sıvah	291,43	281,17	10,3	1,57	-9,92	-12,88	8,8						b * $U_{ik} + \xi_s$		
Dişardan ve teras üstü yalıtmı	Sıvah	291,83	281,19	10,64	-10,11	-9,63	-10,45	10,0						b * $U_{ik} + \xi_s$		
İçerden yalıtmı	Sıvah	291,67	281,31	10,36	-29,45	-14,48	-11,997	17,4						b * $U_{ik} + \xi_s$		
İçerden ve teras üstü yalıtmı	Sıvah	290,4	281,22	9,18	-13,566	-9,67	-10,066	10,8						b * $U_{ik} + \xi_s$		
Cift duvar arası yalıtmı	Sıvah	289,45	281,45	8	-14,725	-29,2	-36,924	28,2						b * $U_{ik} + \xi_s$		
Cift duvar arası ve teras yalıtmı	Sıvah	290,89	281,54	9,35	-32,1	-33,46	-37,68	34,5						b * $U_{ik} + \xi_s$		
Cift duvar arası, teras ve kiriş iç yüzü yalıtmı	Sıvah	291,4	281,39	10,01	-29,505	-16,72	-22,28	21,8						b * $U_{ik} + \xi_s$		

Ek 1.14. Teras kat dösemelerinde betonun ıslı iletkenliği 2,1 W/mK, Duvar ıslı iletkenliği 0,30 W/mK ve yahtum ıslı iletkenliğinin 0,05 W/mK olması durumundaysı köprüsüne ait parametrelerin hesaplanması (Ri= 0,13 m²K/W, Re= 0,04 m²K/W).

Teras kat	T _y K	T _{0e} K	KΔT, °C	Yatay ıslı akışı, W/m ²			U _{IK} , W/m ² K Bileşik Formül	Düzenli ıslı akışı, W/m ² Üst Ortalı Alt Toplam	Eser Formül	U _e , W/mK b, m	Değer	Değer		
				Üst Orta Alt	Bileşik Formül	Deger								
Yalıtımsız, parapet tuğla	Sıvah	289,11	281,16	7,51	-14,8	-29	-37,6	28,5	$\frac{1}{\alpha_i + \frac{1}{\alpha_d} + \frac{d}{\lambda_{IK}} + \frac{d_{ds}}{\lambda_{ds}} + \frac{d_{is}}{\lambda_{is}}}$	2,79	17,1	12,3	9,07	38,4
Yalıtımsız, parapet betonarme	Sıvah	289,09	281,59	7,5	-14,7	-29,5	-37,6	28,5	$\frac{1}{\alpha_i + \frac{1}{\alpha_d} + \frac{d}{\lambda_{IK}} + \frac{d_{ds}}{\lambda_{ds}} + \frac{d_{is}}{\lambda_{is}}}$	2,79	19,5	13,3	9,36	42,2
Disardan yahtumlu	Sıvah	291,33	281,19	10,1	0,68	-10,8	-14,1	9,4	$\frac{1}{\alpha_i + \frac{1}{\alpha_d} + \frac{0,669 * d_{yal}}{\lambda_{yal}} + \frac{d_{ik}}{\lambda_{ik}} + \frac{d_{ds}}{\lambda_{ds}} + \frac{d_{is}}{\lambda_{is}}}$	0,80	22,8	16,7	7,99	47,5
Disardan ve teras ıslı yalıtımlı	Sıvah	291,68	281,22	10,46	-10,8	-10,8	-12	11,2	$\frac{1}{\alpha_i + \frac{1}{\alpha_d} + \frac{0,679 * d_{yal}}{\lambda_{yal}} + \frac{d_{ik}}{\lambda_{ik}} + \frac{d_{ds}}{\lambda_{ds}} + \frac{d_{is}}{\lambda_{is}}}$	0,91	10,7	6,75	3,56	21,0
İçerdən yalıtımlı	Sıvah	291,54	281,33	10,21	-28,8	-15,1	-13,3	18,0	$\frac{1}{\alpha_i + \frac{1}{\alpha_d} + \frac{0,57 * d_{yal}}{\lambda_{yal}} + \frac{d_{ik}}{\lambda_{ik}} + \frac{d_{ds}}{\lambda_{ds}} + \frac{d_{is}}{\lambda_{is}}}$	1,35	1,72	-3,35	0,41	5,48
İçerdən ve teras ıslı yalıtımlı	Sıvah	290,32	281,24	9,08	-13,6	-10,5	-11,5	11,6	$\frac{1}{\alpha_i + \frac{1}{\alpha_d} + \frac{0,415 * d_{yal}}{\lambda_{yal}} + \frac{d_{ik}}{\lambda_{ik}} + \frac{d_{ds}}{\lambda_{ds}} + \frac{d_{is}}{\lambda_{is}}}$	1,05	9,19	1,7	2,15	13,037
Cift duvar arası yalıtımlı	Sıvah	289,41	281,46	7,95	-14,7	-29,2	-36,9	28,1	$\frac{1}{\alpha_i + \frac{1}{\alpha_d} + \frac{d}{\lambda_{IK}} + \frac{d_{ds}}{\lambda_{ds}} + \frac{d_{is}}{\lambda_{is}}}$	2,79	16,9	11,4	6,63	34,96
Cift duvar arası ve teras yalıtımlı	Sıvah	290,8	281,55	9,25	-31,5	-33,3	-37,6	34,3	$\frac{1}{\alpha_i + \frac{1}{\alpha_d} + \frac{d}{\lambda_{IK}} + \frac{d_{ds}}{\lambda_{ds}} + \frac{d_{is}}{\lambda_{is}}}$	2,79	7,71	4,17	4,44	16,32
Cift duvar arası, teras ve kiriş iç yüzü yalıtımlı	Sıvah	291,3	281,4	9,9	-28,9	-17,2	-22,8	22,0	$\frac{1}{\alpha_i + \frac{1}{\alpha_d} + \frac{0,274 * d_{yal}}{\lambda_{yal}} + \frac{d_{ik}}{\lambda_{ik}} + \frac{d_{ds}}{\lambda_{ds}} + \frac{d_{is}}{\lambda_{is}}}$	2,83	2,75	0,66	8,12	11,53
Cift duvar arası, teras ve kiriş iç yüzü yalıtımlı	Sıvah	290,8	281,55	9,25	-31,5	-33,3	-37,6	34,3	$\frac{1}{\alpha_i + \frac{1}{\alpha_d} + \frac{d}{\lambda_{IK}} + \frac{d_{ds}}{\lambda_{ds}} + \frac{d_{is}}{\lambda_{is}}}$	2,79	7,71	4,17	4,44	16,32

Ek 1.15. Teras kat döşemelerinde betonun ıslı iletkenliği 2,1 W/mK, Duvar ıslı iletkenliğinin 0,45 W/mK ve yalıtmın ıslı iletkenliğinin 0,03 W/mK olması durumundası köprüsüne ait parametrelerin hesaplanması (Ri= 0,13 m²K/W, Re= 0,04 m²K/W).

Teras kat	T _{sp}	K T _{dp}	K ΔT	°C	Yatay ısı akışı, W/m ²				U _{IK} , W/m ² K				Disleyi ısı akışı, W/m ²				U _f , W/mK			
					Üst	Orta	Alt	Bileşik Formül	1	Üst	Orta	Alt	Toplam	Formül	b, m	Değer	Formül	b, m	Değer	
Yalıtsız, parapet tüğü	Sıvah	288,88	281,66		7,22	-14,8	-29	-37,4	28,4	$\frac{1}{\alpha_i + \frac{1}{\alpha_d} + \frac{d_{IK}}{\lambda_{IK}} + \frac{d_{ds}}{\lambda_{ds}} + \frac{d_{is}}{\lambda_{is}}}$					$q_y * (\frac{d_{IK} + d_{ds} + d_{is}}{T_{iy} - T_{dy}}) * 1$		$b * U_{ik} + \xi$		0,6	3,51
Yalıtsız, parapet betonarme	Sıvah	288,87	281,66		7,21	-14,7	-29,2	-37,3	28,3	$\frac{1}{\alpha_i + \frac{1}{\alpha_d} + \frac{d_{IK}}{\lambda_{IK}} + \frac{d_{ds}}{\lambda_{ds}} + \frac{d_{is}}{\lambda_{is}}}$					$q_y * (\frac{d_{IK} + d_{ds} + d_{is}}{T_{iy} - T_{dy}}) * 1$		$b * U_{ik} + \xi$		0,6	3,66
Dişardan yalıtlımlı	Sıvah	291,38	281,14		10,2	1,87	-9,06	-11,3	8,0	$\frac{1}{\alpha_i + \frac{1}{\alpha_d} + \frac{0,669 * d_{yal}}{\lambda_{yal}} + \frac{d_{ik}}{\lambda_{ik}} + \frac{d_{ds}}{\lambda_{ds}} + \frac{d_{is}}{\lambda_{is}}}$					$q_y * (\frac{d_{IK} + d_{yal} + d_{ds} + d_{is}}{T_{iy} - T_{dy}}) * 1$		$b * U_{ik} + \xi$		0,6	3,66
Dişardan ve teras üstü yalıtlımlı	Sıvah	291,92	281,16		10,76	-10,4	-8,76	-8,86	9,2	$\frac{1}{\alpha_i + \frac{1}{\alpha_d} + \frac{0,679 * d_{yal}}{\lambda_{yal}} + \frac{d_{ik}}{\lambda_{ik}} + \frac{d_{ds}}{\lambda_{ds}} + \frac{d_{is}}{\lambda_{is}}}$					$q_y * (\frac{d_{IK} + d_{yal} + d_{ds} + d_{is}}{T_{iy} - T_{dy}}) * 1$		$b * U_{ik} + \xi$		0,6	2,26
İçerden yalıtlımlı	Sıvah	291,78	281,29		10,49	-29,8	-13,6	-10,3	16,5	$\frac{1}{\alpha_i + \frac{1}{\alpha_d} + \frac{0,57 * d_{yal}}{\lambda_{yal}} + \frac{d_{ik}}{\lambda_{ik}} + \frac{d_{ds}}{\lambda_{ds}} + \frac{d_{is}}{\lambda_{is}}}$					$q_y * (\frac{d_{IK} + d_{yal} + d_{ds} + d_{is}}{T_{iy} - T_{dy}}) * 1$		$b * U_{ik} + \xi$		0,6	1,27
İçerden ve teras üstü yalıtlımlı	Sıvah	290,48	281,19		9,29	-13,6	-8,86	-8,3	9,9	$\frac{1}{\alpha_i + \frac{1}{\alpha_d} + \frac{0,415 * d_{yal}}{\lambda_{yal}} + \frac{d_{ik}}{\lambda_{ik}} + \frac{d_{ds}}{\lambda_{ds}} + \frac{d_{is}}{\lambda_{is}}}$					$q_y * (\frac{d_{IK} + d_{yal} + d_{ds} + d_{is}}{T_{iy} - T_{dy}}) * 1$		$b * U_{ik} + \xi$		0,6	0,99
Cift duvar arası yalıtlımlı	Sıvah	289,45	281,45		8	-14,8	-29,2	-37,1	28,2	$\frac{1}{\alpha_i + \frac{1}{\alpha_d} + \frac{d_{IK}}{\lambda_{IK}} + \frac{d_{ds}}{\lambda_{ds}} + \frac{d_{is}}{\lambda_{is}}}$					$q_y * (\frac{d_{IK} + d_{ds} + d_{is}}{T_{iy} - T_{dy}}) * 1$		$b * U_{ik} + \xi$		0,6	0,95
Cift duvar arası ve teras yalıtlımlı	Sıvah	290,94	281,54		9,4	-32,5	-33,5	-37,9	34,7	$\frac{1}{\alpha_i + \frac{1}{\alpha_d} + \frac{0,274 * d_{yal}}{\lambda_{yal}} + \frac{d_{ik}}{\lambda_{ik}} + \frac{d_{ds}}{\lambda_{ds}} + \frac{d_{is}}{\lambda_{is}}}$					$q_y * (\frac{d_{IK} + d_{yal} + d_{ds} + d_{is}}{T_{iy} - T_{dy}}) * 1$		$b * U_{ik} + \xi$		0,6	3,20
Cift duvar arası ve teras yalıtlımlı ve karışık yüzü yalıtlımlı	Sıvah	291,47	281,38		10,09	-30	-16,2	-21,9	21,6	$\frac{1}{\alpha_i + \frac{1}{\alpha_d} + \frac{d_{IK}}{\lambda_{IK}} + \frac{d_{ds}}{\lambda_{ds}} + \frac{d_{is}}{\lambda_{is}}}$					$q_y * (\frac{d_{IK} + d_{yal} + d_{ds} + d_{is}}{T_{iy} - T_{dy}}) * 1$		$b * U_{ik} + \xi$		0,6	2,29

ÖZGEÇMİŞ

Adem BAKIŞ 11.05.1983 tarihinde İğdır' da doğdu.1999 yılında İstanbul Pendik Lisesini bitirdi. 2002 tarihinde Niğde Üniversitesi Mimarlık Mühendislik Fakültesi İnşaat Mühendisliği Bölümü'nde okudu, 2003 tarihinde Trakya Üniversitesi Çorlu Mühendislik Fakültesi İnşaat Mühendisliği Bölümü'ne yatay geçiş yaptı. 2007 tarihlerinde Trakya Üniversitesi Çorlu Mühendislik Fakültesi İnşaat Mühendisliği Bölümü'nü bitirdi. Tekirdağ Namık Kemal Üniversitesi Fen Bilimleri Enstitüsü İnşaat Mühendisliği Bölümü Yüksek Lisans çalışması devam etmekte. Halen Milli Savunma Bakanlığı'nda İnceleme Kontrol Subayı olarak çalışmaktadır. Evli ve bir çocuk babasıdır.

İLETİŞİM

Esertepe Mah. Barışyolu Cad. Alımlı Sokak. Etlik Keçiören Ankara.

adembakis76@hotmail.com